

Arhivele Electronice Los Alamos
<http://xxx.lanl.gov/physics/0003106>

ELEMENTE DE MECANICĂ CUANTICĂ

HARET C. ROSU

e-mail: rosu@ifug3.ugto.mx
fax: 0052-47187611
phone: 0052-47183089


$$\mathbf{h / 2\pi}$$

Pentru toți cei atrași de Științele Fizice
și se află în dificilii ani ai începutului de facultate.

.

Primul curs de mecanică cuantică în românește în Internet.
Acest curs a fost scris în Instituto de Física,
Universidad de Guanajuato, León, Guanajuato, México.

Copyright ©2000 de către autor. Orice drept comercial este rezervat.

Martie 2000

English Abstract

This is the first graduate course on elementary quantum mechanics in Internet written in Romanian for the benefit of Romanian speaking students (Romania and Moldova). It is a translation (with corrections) of the Spanish version of the course, which I did at the suggestion of Ovidiu Cioroianu, a student of physics in Bucharest. The topics included refer to the postulates of quantum mechanics, one-dimensional barriers and wells, angular momentum and spin, WKB method, harmonic oscillator, hydrogen atom, quantum scattering, and partial waves.

Abstract Românesc

Acesta este un curs internetizat de mecanică cuantică elementară pe care l-am tradus cu îmbunătățiri din spaniolă (limba în care l-am predat) la rugămintea studentului Ovidiu Cioroianu din București. Este destinat în principal acelor studenți care se află la primele contacte cu această disciplină de studiu obligatorie, deși ar putea să fie de un oarecare folos și pentru alte categorii de cititori. Sursele de ‘inspirație’ le-am găsit în multe din excelentele manuale de mecanică cuantică care au fost publicate de-a lungul anilor.

CUPRINS

0. Forward - Cuvînt înainte	... 5
1. Postulate cuantice	... 7
2. Bariere și gropi rectangulare unidimensionale	... 25
3. Moment cinetic și spin	... 47
4. Metoda WKB	... 75
5. Oscilatorul armonic	... 89
6. Atomul de hidrogen	... 111
7. Ciocniri cuantice	... 133
8. Unde parțiale	... 147

Include aproximativ 25 de probleme ilustrative.

Unitățile atomice nerelativiste de spațiu și timp

$$a_H = \hbar^2/m_e e^2 = 0.529 \cdot 10^{-8} \text{cm}$$

$$t_H = \hbar^3/m_e e^4 = 0.242 \cdot 10^{-16} \text{sec}$$

Unitățile Planck relativiste de spațiu și timp

$$l_P = \hbar/m_P c = 1.616 \cdot 10^{-33} \text{cm}$$

$$t_P = \hbar/m_P c^2 = 5.390 \cdot 10^{-44} \text{sec}$$

0 (E). FORWARD

The energy quanta occurred in 1900 in the work of Max Planck (Nobel prize, 1918) on the black body electromagnetic radiation. Planck's "quanta of light" have been used by Einstein (Nobel prize, 1921) to explain the photoelectric effect, but the first "quantization" of a quantity having units of action (the angular momentum) belongs to Niels Bohr (Nobel Prize, 1922). This opened the road to the universalization of quanta, since the action is the basic functional to describe any type of motion. However, only in the 1920's the formalism of quantum mechanics has been developed in a systematic manner. The remarkable works of that decade contributed in a decisive way to the rising of quantum mechanics at the level of fundamental theory of the universe, with successful technological applications. Moreover, it is quite probable that many of the cosmological mysteries may be disentangled by means of various quantization procedures of the gravitational field, advancing our understanding of the origins of the universe. On the other hand, in recent years, there is a strong surge of activity in the information aspect of quantum mechanics. This aspect, which was generally ignored in the past, aims at a very attractive "quantum computer" technology.

At the philosophical level, the famous paradoxes of quantum mechanics, which are perfect examples of the difficulties of 'quantum' thinking, are actively pursued ever since they have been first posed. Perhaps the most famous of them is the EPR paradox (Einstein, Podolsky, Rosen, 1935) on the existence of elements of physical reality, or in EPR words: "If, without in any way disturbing a system, we can predict with certainty (i.e., with probability equal to unity) the value of a physical quantity, then there exists an element of physical reality corresponding to this physical quantity." Another famous paradox is that of Schrödinger's cat which is related to the fundamental quantum property of entanglement and the way we understand and detect it. What one should emphasize is that all these delicate points are the source of many interesting and innovative experiments (such as the so-called "teleportation" of quantum states) pushing up the technology.

Here, I present eight elementary topics in nonrelativistic quantum mechanics from a course in Spanish ("castellano") on quantum mechanics that I taught in the Instituto de Física, Universidad de Guanajuato (IFUG), León, Mexico, during the semesters of 1998.

Haret C. Rosu

0 (R). CUVÎNT ÎNAINTE

Cuantele de energie au apărut în 1900 ca o consecință a lucrărilor lui Max Planck (premiul Nobel 1918) asupra problemei radiației de corp negru. “Cuantele de lumină” planckiene au fost folosite de către Albert Einstein (premiul Nobel 1921) pentru a explica efectul fotoelectric, dar prima “cuantificare” a unei mărimi cu unități de acțiune (momentul cinetic) se datorează lui Niels Bohr (premiul Nobel 1922). Aceasta a deschis drumul universalității cuantelor pentru că acțiunea este funcțională fundamentală pentru descrierea oricărui tip de mișcare. Chiar și în aceste condiții, numai anii 1920 se consideră ca adevăratul început pentru formalismul cuantic, care a fost capabil să ridice mecanica cuantică la nivelul unei teorii fundamentale a universului și să o transforme într-o sursă de numeroase succese tehnologice. Este foarte posibil ca multe dintre misteriile cosmologice să se ascundă în spatele diferitelor proceduri de cuantificare ale câmpului nelinier gravitațional și eventualele progrese în această direcție ar putea contribui la o mai bună înțelegere a istoriei și evoluției universului. Pe de alta parte, aspectul informatic al mecanicii cuantice, care nu a fost mult investigat în trecut, cunoaște în prezent o perioadă explozivă de cercetări în ideea construirii așa-numitelor “calculatoare cuantice”.

În domeniul filosofic este de menționat că în mecanica cuantică există paradoxuri faimoase, care încă se mențin în polemică și care reflectă dificultățile de logică pe care le crează modul de “gîndire cuantică” (sau probabilistică cuantică). Unul dintre cele mai cunoscute paradoxuri este cel al lui Einstein (care nu a acceptat în mod total mecanica cuantică), Podolsky și Rosen (EPR, 1935) în legătură cu problema dacă există sau nu “elemente adevărate de realitate fizică” în microcosmosul studiat cu metode cuantice (după Einstein, mecanica cuantică interzice existența independentă a actului de măsurare de sistemele fizice măsurate). Alt paradox, de același rang de celebritate, este al “pisicii lui Schrödinger”. Ceea ce trebuie subliniat în legătură cu toate aceste puncte teoretice și metateoretice delicate este că ele generează experimente foarte interesante (cum ar fi, de exemplu, cele referitoare la așa-numita “teleportare” ale stărilor cuantice) care impulsează dezvoltarea tehnologică. Ceea ce urmează sunt câteva teme introductive în mecanica cuantică nerelativistă care au servit ca bază pentru cursul de graduară în mecanica cuantică pe care l-am predat în Institutul de Fizică al Universității Statale Guanajuato din Mexic în 1998.

Haret C. Rosu

1. POSTULATE CUANTICE

Următoarele 6 postulate se pot considera ca bază pentru teorie și experiment în mecanica cuantică în varianta sa cea mai folosită (standard).

- P1.-** Fiecarei mărimi fizice ‘bine definită clasic’ L îi corespunde un operator hermitic \hat{L} .
- P2.-** Fiecărei stări fizice staționare în care se poate găsi un sistem fizic cuantic îi corespunde o funcție de undă normalizată ψ ($\|\psi\|_{\mathcal{L}^2}^2 = 1$).
- P3.-** Mărimea fizică L poate să ‘ia’ experimental numai valorile proprii ale \hat{L} . De aceea, valorile proprii trebuie să fie reale, ceea ce are loc pentru operatori hermitici.
- P4.-** Rezultatul unei măsurători pentru determinarea mărimii L este întotdeauna valoarea medie \bar{L} a operatorului \hat{L} în starea ψ_n , care în teorie este elementul de matrice diagonal
- $$\langle \psi_n | \hat{L} | \psi_n \rangle = \bar{L}.$$
- P5.-** Elementele de matrice ale operatorilor coordonată și moment carteziene \hat{x}_i și \hat{p}_k , calculate între funcțiile de undă f și g satisfac ecuațiile de mișcare Hamilton din mecanica clasică în forma:

$$\frac{d}{dt} \langle f | \hat{p}_i | g \rangle = - \langle f | \frac{\partial \hat{H}}{\partial \hat{x}_i} | g \rangle$$
$$\frac{d}{dt} \langle f | \hat{x}_i | g \rangle = \langle f | \frac{\partial \hat{H}}{\partial \hat{p}_i} | g \rangle ,$$

unde \hat{H} este operatorul hamiltonian, iar derivatele în raport cu operatori se definesc în punctul 3 al acestui capitol.

- P6.-** Operatorii \hat{p}_i și \hat{x}_k au următorii comutatori:

$$[\hat{p}_i, \hat{x}_k] = -i\hbar\delta_{ik},$$
$$[\hat{p}_i, \hat{p}_k] = 0,$$
$$[\hat{x}_i, \hat{x}_k] = 0$$

$$\hbar = h/2\pi = 1.0546 \times 10^{-27} \text{ erg.sec.}$$

1.- Corespondența cu o mărime fizică L care are analog clasic $L(x_i, p_k)$

Aceasta se face substituind x_i, p_k cu \hat{x}_i, \hat{p}_k . Funcția L se presupune că se poate dezvolta în serie de puteri pentru orice valoare a argumentelor sale, adică este analitică. Dacă funcția nu conține produse $x_k p_k$, operatorul \hat{L} este hermitic în mod automat.

Exemplu:

$$T = (\sum_i^3 p_i^2)/2m \longrightarrow \hat{T} = (\sum_i^3 \hat{p}_i^2)/2m.$$

Dacă L conține produse mixte $x_i p_i$ și puteri ale acestora, \hat{L} nu este hermitic, în care caz L se substituie cu \hat{L} , partea hermitică a lui \hat{L} (\hat{L} este un operator autoadjunct).

Exemplu:

$$w(x_i, p_i) = \sum_i p_i x_i \longrightarrow \hat{w} = 1/2 \sum_i^3 (\hat{p}_i \hat{x}_i + \hat{x}_i \hat{p}_i).$$

Rezultă deasemenea că timpul nu este un operator fiind doar un parametru (care se poate introduce în multe feluri). Aceasta pentru că timpul nu depinde de variabilele canonice ci din contră.

2.- Probabilitate în spectrul discret și continuu

Dacă ψ_n este funcție proprie a operatorului \hat{M} , atunci:

$$\bar{L} = \langle n | \hat{L} | n \rangle = \langle n | \lambda_n | n \rangle = \lambda_n \langle n | n \rangle = \delta_{nn} \lambda_n = \lambda_n.$$

Deasemenea, se poate demonstra că $\bar{L}^k = (\lambda_n)^k$.

Dacă funcția ϕ nu este funcție proprie a lui \hat{L} se folosește dezvoltarea în sistem complet de f.p. ale lui \hat{L} și deci:

$$\hat{L}\psi_n = \lambda_n \psi_n, \quad \phi = \sum_n a_n \psi_n$$

combinînd aceste două relații obținem:

$$\hat{L}\phi = \sum_n \lambda_n a_n \psi_n.$$

Putem astfel calcula elementele de matrice ale operatorului L :

$$\langle \phi | \hat{L} | \phi \rangle = \sum_{n,m} a_m^* a_n \lambda_n \langle m | n \rangle = \sum_m |a_m|^2 \lambda_m,$$

ceea ce ne spune că rezultatul experimentului este λ_m cu o probabilitate $|a_m|^2$.

Dacă spectrul este discret: de acord cu **P4** înseamnă că $|a_m|^2$, deci coeficienții dezvoltării într-un sistem complet de f.p., determină probabilitățile de observare a valorii proprii λ_n .

Dacă spectrul este continuu: folosind următoarea definiție

$$\phi(\tau) = \int a(\lambda) \psi(\tau, \lambda) d\lambda,$$

se calculează elementele de matrice pentru spectrul continuu

$$\begin{aligned} \langle \phi | \hat{L} | \phi \rangle &= \int d\tau \int a^*(\lambda) \psi^*(\tau, \lambda) d\lambda \int \mu a(\mu) \psi(\tau, \mu) d\mu \\ &= \int \int a^*(\lambda) \mu \int \psi^*(\tau, \lambda) \psi(\tau, \mu) d\lambda d\mu d\tau \\ &= \int \int a^*(\lambda) a(\mu) \mu \delta(\lambda - \mu) d\lambda d\mu \\ &= \int a^*(\lambda) a(\lambda) \lambda d\lambda \\ &= \int |a(\lambda)|^2 \lambda d\lambda. \end{aligned}$$

În cazul continuu se spune că $|a(\lambda)|^2$ este densitatea de probabilitate de a observa v.p. λ din spectrul continuu. Deasemenea, se satisface

$$\bar{L} = \langle \phi | \hat{L} | \phi \rangle.$$

Este comun să se spună că $\langle \mu | \Phi \rangle$ este (reprezentarea lui) $|\Phi\rangle$ în reprezentarea μ , unde $|\mu\rangle$ este un vector propriu al lui \hat{M} .

3.- Definiția unei derivate în raport cu un operator

$$\frac{\partial F(\hat{L})}{\partial \hat{L}} = \lim_{\epsilon \rightarrow 0} \frac{F(\hat{L} + \epsilon \hat{I}) - F(\hat{L})}{\epsilon}.$$

4.- Operatorii de impuls cartezian

Care este forma concretă a lui \hat{p}_1 , \hat{p}_2 y \hat{p}_3 , dacă argumentele funcțiilor de undă sunt coordonatele carteziene x_i ?

Vom considera următorul comutator:

$$\begin{aligned} [\hat{p}_i, \hat{x}_i^2] &= \hat{p}_i \hat{x}_i^2 - \hat{x}_i^2 \hat{p}_i \\ &= \hat{p}_i \hat{x}_i \hat{x}_i - \hat{x}_i \hat{p}_i \hat{x}_i + \hat{x}_i \hat{p}_i \hat{x}_i - \hat{x}_i \hat{x}_i \hat{p}_i \\ &= (\hat{p}_i \hat{x}_i - \hat{x}_i \hat{p}_i) \hat{x}_i + \hat{x}_i (\hat{p}_i \hat{x}_i - \hat{x}_i \hat{p}_i) \\ &= [\hat{p}_i, \hat{x}_i] \hat{x}_i + \hat{x}_i [\hat{p}_i, \hat{x}_i] \\ &= -i\hbar \hat{x}_i - i\hbar \hat{x}_i = -2i\hbar \hat{x}_i. \end{aligned}$$

În general, se satisfac:

$$\hat{p}_i \hat{x}_i^n - \hat{x}_i^n \hat{p}_i = -ni\hbar \hat{x}_i^{n-1}.$$

Atunci, pentru toate funcțiile analitice avem:

$$\hat{p}_i \psi(x) - \psi(x) \hat{p}_i = -i\hbar \frac{\partial \psi}{\partial x_i}.$$

Acum, fie $\hat{p}_i \phi = f(x_1, x_2, x_3)$ modul în care acționează \hat{p}_i asupra lui $\phi(x_1, x_2, x_3) = 1$. Atunci:

$$\hat{p}_i \psi = -i\hbar \frac{\partial \psi}{\partial x_i} + f_i \psi \text{ și există relații analoage pentru } x_2 \text{ y } x_3.$$

Din comutatorul $[\hat{p}_i, \hat{p}_k] = 0$ se obține $\nabla \times \vec{f} = 0$, și deci,

$$f_i = \nabla_i F.$$

Forma cea mai generală a lui \hat{p}_i este $\hat{p}_i = -i\hbar \frac{\partial}{\partial x_i} + \frac{\partial F}{\partial x_i}$, unde F este orice funcție. Funcția F se poate elimina folosind o transformare unitară $\hat{U}^\dagger = \exp(\frac{i}{\hbar} F)$.

$$\begin{aligned}
\hat{p}_i &= \hat{U}^\dagger \left(-i\hbar \frac{\partial}{\partial x_i} + \frac{\partial F}{\partial x_i} \right) \hat{U} \\
&= \exp^{\frac{i}{\hbar} F} \left(-i\hbar \frac{\partial}{\partial x_i} + \frac{\partial F}{\partial x_i} \right) \exp^{-\frac{i}{\hbar} F} \\
&= -i\hbar \frac{\partial}{\partial x_i}
\end{aligned}$$

rezultînd $\hat{p}_i = -i\hbar \frac{\partial}{\partial x_i} \longrightarrow \hat{p} = -i\hbar \nabla$.

5.- Calculul constantei de normalizare

Orice funcție de undă $\psi(x) \in \mathcal{L}^2$ de variabilă x se poate scrie în forma:

$$\psi(x) = \int \delta(x - \xi) \psi(\xi) d\xi$$

și se poate considera această expresie ca dezvoltare a lui ψ în f.p. ale operatorului coordonată $\hat{x}\delta(x - \xi) = \xi\delta(x - \xi)$. Atunci, $|\psi(x)|^2$ este densitatea de probabilitate a coordonatei în starea $\psi(x)$. De aici rezultă interpretarea normei

$$\|\psi(x)\|^2 = \int |\psi(x)|^2 dx = 1.$$

Intuitiv, această relație ne spune că sistemul descris de către funcția $\psi(x)$ trebuie să se găsească într-un 'loc' pe axa reală, chiar dacă vom ști doar aproximativ unde.

Funcțiile proprii ale operatorului impuls sunt:

$-i\hbar \frac{\partial \psi}{\partial x_i} = p_i \psi$, integrînd se obține $\psi(x_i) = A \exp^{\frac{i}{\hbar} p_i x_i}$, x și p au spectru continuu și deci normalizarea se face cu 'funcția delta'.

Cum se obține constanta de normalizare ?

Se poate obține utilizînd următoarele transformări Fourier:

$$f(k) = \int g(x) \exp^{-ikx} dx, \quad g(x) = \frac{1}{2\pi} \int f(k) \exp^{ikx} dk.$$

Deasemenea se obține cu următoarea procedură :

Fie funcția de undă nenormalizată a particulei libere

$$\phi_p(x) = A \exp^{\frac{ipx}{\hbar}} \text{ și formula}$$

$$\delta(x - x') = \frac{1}{2\pi} \int_{-\infty}^{\infty} \exp^{ik(x-x')} dx$$

Se vede că

$$\begin{aligned}
 & \int_{-\infty}^{\infty} \phi_{p'}^*(x) \phi_p(x) dx \\
 &= \int_{-\infty}^{\infty} A^* \exp\left(\frac{-ip'x}{\hbar}\right) A \exp\left(\frac{ipx}{\hbar}\right) dx \\
 &= \int_{-\infty}^{\infty} |A|^2 \exp\left(\frac{ix(p-p')}{\hbar}\right) dx \\
 &= |A|^2 \hbar \int_{-\infty}^{\infty} \exp\left(\frac{ix(p-p')}{\hbar}\right) \frac{dx}{\hbar} \\
 &= 2\pi\hbar |A|^2 \delta(p-p')
 \end{aligned}$$

și deci constanta de normalizare este:

$$A = \frac{1}{\sqrt{2\pi\hbar}}.$$

Deasemenea rezultă că f.p. ale operatorului impuls formează un sistem complet (în sensul cazului continuu) pentru funcțiile de clasă \mathcal{L}^2 .

$$\begin{aligned}
 \psi(x) &= \frac{1}{\sqrt{2\pi\hbar}} \int a(p) \exp\left(\frac{ipx}{\hbar}\right) dp \\
 a(p) &= \frac{1}{\sqrt{2\pi\hbar}} \int \psi(x) \exp\left(\frac{-ipx}{\hbar}\right) dx.
 \end{aligned}$$

Aceste formule stabilesc legătura între reprezentările x și p .

6.- Reprezentarea p (de impuls)

Forma explicită a operatorilor \hat{p}_i și \hat{x}_k se poate obține din relațiile de comutare, dar și folosind nucleele

$$x(p, \beta) = U^\dagger x U = \frac{1}{2\pi\hbar} \int \exp\left(\frac{-ipx}{\hbar}\right) x \exp\left(\frac{i\beta x}{\hbar}\right) dx$$

$$= \frac{1}{2\pi\hbar} \int \exp\frac{-ipx}{\hbar} (-i\hbar \frac{\partial}{\partial\beta} \exp\frac{i\beta x}{\hbar}).$$

Integrala are forma următoare: $M(\lambda, \lambda') = \int U^\dagger(\lambda, x) \widehat{M} U(\lambda', x) dx$, și folosind $\hat{x}f = \int x(x, \xi) f(\xi) d\xi$, acțiunea lui \hat{x} asupra lui $a(p) \in \mathcal{L}^2$ este:

$$\begin{aligned} \hat{x}a(p) &= \int x(p, \beta) a(\beta) d\beta \\ &= \int (\frac{1}{2\pi\hbar} \int \exp\frac{-ipx}{\hbar} (-i\hbar \frac{\partial}{\partial\beta} \exp\frac{i\beta x}{\hbar}) dx) a(\beta) d\beta \\ &= \frac{-i}{2\pi} \int \int \exp\frac{-ipx}{\hbar} \frac{\partial}{\partial\beta} \exp\frac{i\beta x}{\hbar} a(\beta) dx d\beta \\ &= \frac{-i\hbar}{2\pi} \int \int \exp\frac{-ipx}{\hbar} \frac{\partial}{\partial\beta} \exp\frac{i\beta x}{\hbar} a(\beta) d\frac{x}{\hbar} d\beta \\ &= \frac{-i\hbar}{2\pi} \int \int \exp\frac{ix(\beta-p)}{\hbar} \frac{\partial}{\partial\beta} a(\beta) d\frac{x}{\hbar} d\beta \\ &= -i\hbar \int \frac{\partial a(p)}{\partial\beta} \delta(\beta - p) d\beta = -i\hbar \frac{\partial a(p)}{\partial p}, \end{aligned}$$

unde
$$\delta(\beta - p) = \frac{1}{2\pi} \int \exp\frac{ix(\beta-p)}{\hbar} d\frac{x}{\hbar}.$$

Operatorul impuls în reprezentarea p se caracterizează prin nucleul:

$$\begin{aligned} p(p, \beta) &= \widehat{U}^\dagger p \widehat{U} \\ &= \frac{1}{2\pi\hbar} \int \exp\frac{-ipx}{\hbar} (-i\hbar \frac{\partial}{\partial x}) \exp\frac{i\beta x}{\hbar} dx \\ &= \frac{1}{2\pi\hbar} \int \exp\frac{-ipx}{\hbar} \beta \exp\frac{i\beta x}{\hbar} dx = \beta \lambda(p - \beta) \end{aligned}$$

rezultând $\hat{p}a(p) = pa(p)$.

Ceea ce se întâmplă cu \hat{x} și \hat{p} este că deși sunt operatori hermitici pentru toate $f(x) \in L^2$ nu sunt hermitici exact pentru funcțiile lor proprii. Dacă $\hat{p}a(p) = p_0 a(p)$ și $\hat{x} = \hat{x}^\dagger$ $\hat{p} = \hat{p}^\dagger$, atunci

$$\langle a | \hat{p}\hat{x} | a \rangle - \langle a | \hat{x}\hat{p} | a \rangle = -i\hbar \langle a | a \rangle$$

$$p_o[\langle a | \hat{x} | a \rangle - \langle a | \hat{x} | a \rangle] = -i\hbar \langle a | a \rangle$$

$$p_o[\langle a | \hat{x} | a \rangle - \langle a | \hat{x} | a \rangle] = 0$$

Partea stîngă este zero, în timp ce dreapta este indefinită, ceea ce este o contradicție.

7.- Reprezentările Schrödinger și Heisenberg

Ecuțiile de mișcare date prin **P5** au diferite interpretări, datorită faptului că în expresia $\frac{d}{dt} \langle f | \hat{L} | f \rangle$ se poate considera dependența temporală ca aparținînd fie funcțiilor de undă fie operatorilor, fie atît funcțiilor de undă cît și operatorilor. Vom considera numai primele două cazuri.

- Pentru un operator ce depinde de timp $\hat{O} = \widehat{O}(t)$ avem:

$$\hat{p}_i = -\frac{\partial \hat{H}}{\partial \hat{x}_i}, \quad \hat{x}_i = \frac{\partial \hat{H}}{\partial \hat{p}_i}$$

$$[\hat{p}, f] = \hat{p}f - f\hat{p} = -i\hbar \frac{\partial f}{\partial \hat{x}_i}$$

$$[\hat{x}, f] = \hat{x}f - f\hat{x} = -i\hbar \frac{\partial f}{\partial \hat{p}_i}$$

și se obțin ecuațiile de mișcare Heisenberg:

$$\dot{\hat{p}}_i = \frac{-i}{\hbar} [\hat{p}, \hat{H}], \quad \dot{\hat{x}}_i = \frac{-i}{\hbar} [\hat{x}, \hat{H}].$$

- Dacă funcțiile de undă depind de timp, încă se poate folosi $\dot{\hat{p}}_i = \frac{-i}{\hbar} [\hat{p}_i, \hat{H}]$, pentru că este o consecință numai a relațiilor de comutare care nu depind de reprezentare

$$\frac{d}{dt} \langle f | \hat{p}_i | g \rangle = \frac{-i}{\hbar} \langle f | [\hat{p}, \hat{H}] | g \rangle.$$

Dacă acum \hat{p}_i și \hat{H} nu depind de timp și se ține cont de hermiticitate se obține:

$$\begin{aligned} & \left(\frac{\partial f}{\partial t}, \hat{p}_i g\right) + \left(\hat{p}_i f, \frac{\partial g}{\partial t}\right) \\ &= \frac{-i}{\hbar}(f, \hat{p}_i \hat{H} g) + \frac{i}{\hbar}(f, \hat{H} \hat{p}_i g) \\ &= \frac{-i}{\hbar}(\hat{p}_i f, \hat{H} g) + \frac{i}{\hbar}(\hat{H} f, \hat{p}_i g) \\ & \left(\frac{\partial f}{\partial t} + \frac{i}{\hbar} \hat{H} f, \hat{p}_i g\right) + \left(\hat{p}_i f, \frac{\partial g}{\partial t} - \frac{i}{\hbar} \hat{H} g\right) = 0 \end{aligned}$$

Ultima relație se îndeplinește pentru orice pereche de funcții $f(x)$ și $g(x)$ în momentul inițial dacă fiecare satisface ecuația

$$i\hbar \frac{\partial \psi}{\partial t} = H\psi.$$

Aceasta este ecuația Schrödinger și descrierea sistemului cu ajutorul operatorilor independenți de timp se cunoaște ca reprezentarea Schrödinger.

În ambele reprezentări evoluția temporală a sistemului se caracterizează prin operatorul \hat{H} , care se obține din funcția Hamilton din mecanica clasică .

Exemplu: \hat{H} pentru o particulă în potențial $U(x_1, x_2, x_3)$ este:

$$\hat{H} = \frac{\hat{p}^2}{2m} + U(x_1, x_2, x_3), \text{ și în reprezentarea } x \text{ este:}$$

$$\hat{H} = -\frac{\hbar^2}{2m} \nabla_x^2 + U(x_1, x_2, x_3).$$

8.- Legătura între reprezentările S și H

P5 este corect în reprezentările Schrödinger și Heisenberg. De aceea, valoarea medie a oricărei observabile coincide în cele două reprezentări, și deci, există o transformare unitară cu care se poate trece de la o reprezentare la alta. O astfel de transformare este de forma $\hat{s}^\dagger = \exp \frac{-i\hat{H}t}{\hbar}$. Pentru a trece la reprezentarea Schrödinger trebuie folosită transformata Heisenberg $\psi = \hat{s}^\dagger f$ cu f și \hat{L} , și pentru a trece la reprezentarea Heisenberg se folosește transformarea Schrödinger $\hat{\Lambda} =$

$\hat{s}^\dagger \hat{L} \hat{s}$ cu ψ și $\hat{\Lambda}$. Se poate obține ecuația Schrödinger după cum urmează : cum în transformarea $\psi = \hat{s}^\dagger f$ funcția f nu depinde de timp, vom deriva transformarea în raport cu timpul pentru a obține:

$$\frac{\partial \psi}{\partial t} = \frac{\partial \hat{s}^\dagger}{\partial t} f = \frac{\partial}{\partial t} (\exp \frac{-i\hat{H}t}{\hbar}) f = \frac{-i}{\hbar} \hat{H} \exp \frac{-i\hat{H}t}{\hbar} f = \frac{-i}{\hbar} \hat{H} \hat{s}^\dagger f = \frac{-i}{\hbar} \hat{H} \psi.$$

și deci, avem:

$$i\hbar \frac{\partial \psi}{\partial t} = \hat{H} \psi.$$

În continuare obținem ecuația Heisenberg: punînd transformarea Schrödinger în următoarea formă $\hat{s} \hat{\Lambda} \hat{s}^\dagger = \hat{L}$ și derivînd în raport cu timpul se obține ecuația Heisenberg

$$\begin{aligned} \frac{\partial \hat{L}}{\partial t} &= \frac{\partial \hat{s}}{\partial t} \hat{\Lambda} \hat{s}^\dagger + \hat{s} \hat{\Lambda} \frac{\partial \hat{s}^\dagger}{\partial t} = \frac{i}{\hbar} \hat{H} \exp \frac{i\hat{H}t}{\hbar} \hat{\Lambda} \hat{s}^\dagger - \frac{i}{\hbar} \hat{s} \hat{\Lambda} \exp \frac{-i\hat{H}t}{\hbar} \hat{H} \\ &= \frac{i}{\hbar} (\hat{H} \hat{s} \hat{\Lambda} \hat{s}^\dagger - \hat{s} \hat{\Lambda} \hat{s}^\dagger \hat{H}) = \frac{i}{\hbar} (\hat{H} \hat{L} - \hat{L} \hat{H}) = \frac{i}{\hbar} [\hat{H}, \hat{L}]. \end{aligned}$$

Prin urmare, avem:

$$\frac{\partial \hat{L}}{\partial t} = \frac{i}{\hbar} [\hat{H}, \hat{L}].$$

Deasemenea, ecuația Heisenberg se poate scrie în forma următoare:

$$\frac{\partial \hat{L}}{\partial t} = \frac{i}{\hbar} \hat{s} [\hat{H}, \hat{\Lambda}] \hat{s}^\dagger.$$

\hat{L} se cunoaște ca integrală de mișcare dacă $\frac{d}{dt} \langle \psi | \hat{L} | \psi \rangle = 0$ și se caracterizează prin următorii comutatori:

$$[\hat{H}, \hat{L}] = 0, \quad [\hat{H}, \hat{\Lambda}] = 0.$$

9.- Stări staționare

Stările unui sistem descris prin f.p. ale lui \hat{H} se numesc stări staționare ale sistemului, în timp ce setul de v.p. corespunzătoare se numește spectrul de energie (spectrul energetic) al sistemului. În astfel de cazuri, ecuația Schrödinger este :

$$i\hbar \frac{\partial \psi_n}{\partial t} = E_n \psi_n = \hat{H} \psi_n.$$

Soluțiile sunt de forma: $\psi_n(x, t) = \exp \frac{-iE_n t}{\hbar} \phi_n(x)$.

- Probabilitatea este următoarea:

$$\begin{aligned} \delta(x) &= |\psi_n(x, t)|^2 = \left| \exp \frac{-iE_n t}{\hbar} \phi_n(x) \right|^2 \\ &= \exp \frac{iE_n t}{\hbar} \exp \frac{-iE_n t}{\hbar} |\phi_n(x)|^2 = |\phi_n(x)|^2. \end{aligned}$$

Rezultă că probabilitatea este constantă în timp.

- În stările staționare, valoarea medie a oricărui comutator de forma $[\hat{H}, \hat{A}]$ este zero, unde \hat{A} este un operator arbitrar:

$$\begin{aligned} \langle n | \hat{H}\hat{A} - \hat{A}\hat{H} | n \rangle &= \langle n | \hat{H}\hat{A} | n \rangle - \langle n | \hat{A}\hat{H} | n \rangle \\ &= \langle n | E_n \hat{A} | n \rangle - \langle n | \hat{A} E_n | n \rangle \\ &= E_n \langle n | \hat{A} | n \rangle - E_n \langle n | \hat{A} | n \rangle = 0. \end{aligned}$$

- Teorema de virial (virialului) în mecanica cuantică - dacă \hat{H} este un operator hamiltonian al unei particule în câmpul $U(r)$, folosind $\hat{A} = 1/2 \sum_{i=1}^3 (\hat{p}_i \hat{x}_i - \hat{x}_i \hat{p}_i)$ se obține:

$$\begin{aligned} \langle \psi | [\hat{A}, \hat{H}] | \psi \rangle &= 0 = \langle \psi | \hat{A}\hat{H} - \hat{H}\hat{A} | \psi \rangle \\ &= \sum_{i=1}^3 \langle \psi | \hat{p}_i \hat{x}_i \hat{H} - \hat{H} \hat{p}_i \hat{x}_i | \psi \rangle \\ &= \sum_{i=1}^3 \langle \psi | [\hat{H}, \hat{x}_i] \hat{p}_i + \hat{x}_i [\hat{H}, \hat{p}_i] | \psi \rangle. \end{aligned}$$

folosind de mai multe ori comutatorii și $\hat{p}_i = -i\hbar\nabla_i$, $\hat{H} = \hat{T} + U(r)$, se poate obține:

$$\begin{aligned} & \langle \psi | [\hat{A}, \hat{H}] | \psi \rangle = 0 \\ & = -i\hbar(2 \langle \psi | \hat{T} | \psi \rangle - \langle \psi | \vec{r} \cdot \nabla U(r) | \psi \rangle). \end{aligned}$$

Aceasta este teorema virialului. Dacă potențialul este $U(r) = U_0 r^n$, atunci se obține o formă a teoremei de virial ca în mecanica clasică cu unica diferență că se referă la valori medii

$$\overline{T} = \frac{n}{2} \overline{U}.$$

- Pentru un Hamiltonian $\hat{H} = -\frac{\hbar^2}{2m}\nabla^2 + U(r)$ și $[\vec{r}, H] = \frac{i\hbar}{m}\vec{p}$, calculând elementele de matrice se obține:

$$(E_k - E_n) \langle n | \vec{r} | k \rangle = \frac{i\hbar}{m} \langle n | \hat{p} | k \rangle.$$

10.- Densitate de curent de probabilitate Schrödinger

Următoarea integrală :

$$\int |\psi_n(x)|^2 dx = 1,$$

este normalizarea unei f.p. din spectrul discret în reprezentarea de coordonată , și apare ca o condiție asupra mișcării microscopice într-o regiune finită .

Pentru f.p. ale spectrului continuu $\psi_\lambda(x)$ nu se poate da în mod direct o interpretare probabilistică .

Să presupunem o funcție dată $\phi \in \mathcal{L}^2$, pe care o scriem ca o combinație lineară de f.p. în continuu:

$$\phi = \int a(\lambda)\psi_\lambda(x)dx.$$

Se spune că ϕ corespunde unei mișcări infinite.

În multe cazuri, funcția $a(\lambda)$ este diferită de zero numai într-o vecinătate a unui punct $\lambda = \lambda_0$. În acest caz ϕ se cunoaște ca pachet de unde.

Vom calcula acum viteza de schimbare a probabilității de a găsi sistemul în segmentul (volumul) Ω (generalizarea 3D se face trivial și se va presupune, chiar dacă notația este 1D).

$$P = \int_{\Omega} |\psi(x, t)|^2 dx = \int_{\Omega} \psi^*(x, t)\psi(x, t)dx.$$

Derivând integrala în raport cu timpul găsim:

$$\frac{dP}{dt} = \int_{\Omega} (\psi \frac{\partial \psi^*}{\partial t} + \psi^* \frac{\partial \psi}{\partial t}) dx.$$

Utilizând ecuația Schrödinger în integrala din partea dreaptă se obține:

$$\frac{dP}{dt} = \frac{i}{\hbar} \int_{\Omega} (\psi \hat{H} \psi^* - \psi^* \hat{H} \psi) dx.$$

Folosind identitatea $f \nabla^2 g - g \nabla^2 f = \text{div}[(f) \text{grad}(g) - (g) \text{grad}(f)]$ precum și ecuația Schrödinger în forma:

$$\hat{H} \psi = \frac{\hbar^2}{2m} \nabla^2 \psi + V \psi$$

și substituind în integrală se obține:

$$\begin{aligned} \frac{dP}{dt} &= \frac{i}{\hbar} \int_{\Omega} [\psi (-\frac{\hbar^2}{2m} \nabla^2 \psi^*) - \psi^* (-\frac{\hbar^2}{2m} \nabla^2 \psi)] dx \\ &= - \int_{\Omega} \frac{i\hbar}{2m} (\psi \nabla^2 \psi^* - \psi^* \nabla^2 \psi) dx \\ &= - \int_{\Omega} \text{div} \frac{i\hbar}{2m} (\psi \nabla^2 \psi^* - \psi^* \nabla^2 \psi) dx. \end{aligned}$$

Folosind teorema divergenței pentru a transforma integrala de volum în una de suprafață obținem:

$$\frac{dP}{dt} = - \oint \frac{i\hbar}{2m} (\psi \nabla \psi^* - \psi^* \nabla \psi) dx.$$

Mărima $\vec{J}(\psi) = \frac{i\hbar}{2m}(\psi\nabla\psi^* - \psi^*\nabla\psi)$ se cunoaște ca densitate de curent de probabilitate, pentru care imediat se obține o ecuație de continuitate,

$$\frac{d\rho}{dt} + \text{div}(\vec{J}) = 0.$$

- Dacă $\psi(x) = AR(x)$, unde $R(x)$ este o funcție reală, atunci: $\vec{J}(\psi) = 0$.

- Pentru f.p. ale impulsului $\psi(x) = \frac{1}{(2\pi\hbar)^{3/2}} \exp \frac{i\vec{p}\vec{x}}{\hbar}$ se obține:

$$\begin{aligned} J(\psi) &= \frac{i\hbar}{2m} \left(\frac{1}{(2\pi\hbar)^{3/2}} \exp \frac{i\vec{p}\vec{x}}{\hbar} \left(\frac{i\vec{p}}{\hbar(2\pi\hbar)^{3/2}} \exp \frac{-i\vec{p}\vec{x}}{\hbar} \right) \right. \\ &\quad \left. - \left(\frac{1}{(2\pi\hbar)^{3/2}} \exp \frac{-i\vec{p}\vec{x}}{\hbar} \frac{i\vec{p}}{\hbar(2\pi\hbar)^{3/2}} \exp \frac{i\vec{p}\vec{x}}{\hbar} \right) \right) \\ &= \frac{i\hbar}{2m} \left(-\frac{2i\vec{p}}{\hbar(2\pi\hbar)^3} \right) = \frac{\vec{p}}{m(2\pi\hbar)^3}, \end{aligned}$$

ceea ce ne indică o densitatea de curent de probabilitate independentă de coordonată.

11.- Operator de transport spațial

Dacă \hat{H} este invariant la translații de vector arbitrar \vec{a} ,

$$\hat{H}(\vec{r} + \vec{a}) = \hat{H}(\vec{r}),$$

atunci există un $\hat{T}(\vec{a})$ unitar $\hat{T}^\dagger(\vec{a})\hat{H}(\vec{r})\hat{T}(\vec{a}) = \hat{H}(\vec{r} + \vec{a})$.

Din cauza comutativității translațiilor

$$\hat{T}(\vec{a})\hat{T}(\vec{b}) = \hat{T}(\vec{b})\hat{T}(\vec{a}) = \hat{T}(\vec{a} + \vec{b}),$$

rezultă că \hat{T} are forma $\hat{T} = \exp^{i\vec{k}\vec{a}}$, unde $\hat{k} = \frac{\hat{p}}{\hbar}$.

În cazul infinitesimal:

$$\hat{T}(\delta\vec{a})\hat{H}\hat{T}(\delta\vec{a}) \approx (\hat{I} + i\hat{k}\delta\vec{a})\hat{H}(\hat{I} - i\hat{k}\delta\vec{a}),$$

$$\hat{H}(\vec{r}) + i[\hat{K}, \hat{H}]\delta\vec{a} = \hat{H}(\vec{r}) + (\nabla\hat{H})\delta\vec{a}.$$

Deasemenea $[\hat{p}, \hat{H}] = 0$, unde \hat{p} este o integrală de mișcare. Sistemul are funcții de undă de forma $\psi(\vec{p}, \vec{r}) = \frac{1}{(2\pi\hbar)^3/2} \exp\frac{i\vec{p}\vec{r}}{\hbar}$ și transformarea unitară face ca $\exp\frac{i\vec{p}\vec{a}}{\hbar} \psi(\vec{r}) = \psi(\vec{r} + \vec{a})$. Operatorul de transport spațial $\hat{T}^\dagger = \exp\frac{-i\vec{p}\vec{a}}{\hbar}$ este analogul lui $\hat{s}^\dagger = \exp\frac{-i\hat{H}t}{\hbar}$, operatorul de ‘transport’ temporal.

12.- Exemplu: Hamiltonian cristalin

Dacă \hat{H} este invariant pentru o translație discretă (de exemplu într-o rețea cristalină) $\hat{H}(\vec{r} + \vec{a}) = \hat{H}(\vec{r})$, unde $\vec{a} = \sum_i \vec{a}_i n_i$, $n_i \in \mathbb{N}$ și a_i sunt vectorii barici, atunci:

$$\hat{H}(\vec{r})\psi(\vec{r}) = E\psi(\vec{r}),$$

$$\hat{H}(\vec{r} + \vec{a})\psi(\vec{r} + \vec{a}) = E\psi(\vec{r} + \vec{a}) = \hat{H}(\vec{r})\psi(\vec{r} + \vec{a}).$$

Rezultă că $\psi(\vec{r})$ și $\psi(\vec{r} + \vec{a})$ sunt funcții de undă pentru aceeași v.p. a lui \hat{H} . Relația între $\psi(\vec{r})$ și $\psi(\vec{r} + \vec{a})$ se poate căuta în forma $\psi(\vec{r} + \vec{a}) = \hat{c}(\vec{a})\psi(\vec{r})$ unde $\hat{c}(\vec{a})$ este o matrice g \times g (g este gradul de degenerare al nivelului E). Două matrici de tip coloană, $\hat{c}(\vec{a})$ $\hat{c}(\vec{b})$ comută și atunci sunt diagonalizabili simultan.

În plus, pentru elementele diagonale se respectă $c_{ii}(\vec{a})c_{ii}(\vec{b}) = c_{ii}(\vec{a} + \vec{b})$, $i=1,2,\dots,g$, cu soluții de tipul $c_{ii}(a) = \exp^{ik_i a}$. Rezultă că $\psi_k(\vec{r}) = U_k(\vec{r}) \exp^{i\vec{k}\vec{a}}$, unde \vec{k} este un vector real arbitrar și funcția $U_k(\vec{r})$ este periodică de perioadă \vec{a} , $U_k(\vec{r} + \vec{a}) = U_k(\vec{r})$.

Afirmația că funcțiile proprii ale unui \hat{H} periodic cristalin $\hat{H}(\vec{r} + \vec{a}) = \hat{H}(\vec{r})$ se pot scrie $\psi_k(\vec{r}) = U_k(\vec{r}) \exp^{i\vec{k}\vec{a}}$ cu $U_k(\vec{r} + \vec{a}) = U_k(\vec{r})$ se cunoaște ca teorema lui Bloch. În cazul continuu, U_k trebuie să fie constant, pentru că o constantă este unica funcție periodică pentru orice \vec{a} . Vectorul $\vec{p} = \hbar\vec{k}$ se numește cuasi-impuls (prin analogie cu cazul continuu). Vectorul \vec{k} nu este determinat în mod univoc, pentru că i se poate adăuga orice vector \vec{g} pentru care $g a = 2\pi n$ unde $n \in \mathbb{N}$. Vectorul \vec{g} se poate scrie $\vec{g} = \sum_{i=1}^3 \vec{b}_i m_i$ unde m_i sunt numere întregi și b_i sunt dați de

$$\vec{b}_i = 2\pi \frac{\vec{a}_j \times \vec{a}_k}{\vec{a}_i \cdot (\vec{a}_j \times \vec{a}_k)}$$

pentru $i \neq j \neq k$. \vec{b}_i sunt vectorii barici ai rețelei cristaline.

Referințe recomandate

1. E. Farhi, J. Goldstone, S. Gutmann, “How probability arises in quantum mechanics”, *Annals of Physics* **192**, 368-382 (1989)
2. N.K. Tyagi în *Am. J. Phys.* **31**, 624 (1963) dă o demonstrație foarte scurtă pentru principiul de incertitudine Heisenberg, pe baza căruia se afirmă că măsurarea simultană a doi operatori hermitici care nu comută produce o incertitudine relaționată cu valoarea comutatorului lor.
3. H.N. Núñez-Yépez et al., “Simple quantum systems in the momentum representation”, physics/0001030 (*Europ. J. Phys.*, 2000).
4. J.C. Garrison, “Quantum mechanics of periodic systems”, *Am. J. Phys.* **67**, 196 (1999).
5. F. Gieres, “Dirac’s formalism and mathematical surprises in quantum mechanics”, quant-ph/9907069 (în engleză); quant-ph/9907070 (în franceză).

1N. Note

1. Pentru “crearea mecanicii cuantice...”, Werner Heisenberg a fost distins cu premiul Nobel în 1932 (primit în 1933). Articolul “Zür Quantenmechanik. II”, [“Asupra mecanicii cuantice.II”, *Zf. f. Physik* **35**, 557-615 (1926) (ajuns la redacție în ziua de 16 Noiembrie 1925) de M. Born, W. Heisenberg și P. Jordan, se cunoaște ca “lucrarea celor trei (oameni)” și este considerat ca cel care a deschis cu adevărat vastele orizonturi ale mecanicii cuantice.
2. Pentru “interpretarea statistică a funcției de undă ” Max Born a primit premiul Nobel în 1954.

1P. Probleme

Problema 1.1: Se consideră doi operatori A și B care prin ipoteză comută. În acest caz se poate deduce relația:

$$e^A e^B = e^{(A+B)} e^{(1/2)[A,B]}.$$

Soluție

Definim un operator F(t), ca funcție de variabilă reală t, prin: $F(t) = e^{(At)} e^{(Bt)}$.

Atunci: $\frac{dF}{dt} = Ae^{At}e^{Bt} + e^{At}Be^{Bt} = (A + e^{At}Be^{-At})F(t)$.

Acum, aplicînd formula $[A, F(B)] = [A, B]F'(B)$, avem $[e^{At}, B] = t[A, B]e^{At}$, și deci: $e^{At}B = Be^{At} + t[A, B]e^{At}$, multiplicînd ambele părți ale ecuației ultime cu \exp^{-At} și substituind în prima ecuație, obținem:

$$\frac{dF}{dt} = (A + B + t[A, B])F(t).$$

Operatorii A , B și $[A, B]$ comută prin ipoteză. Deci, putem integra ecuația diferențială ca și cum $A + B$ și $[A, B]$ ar fi numere (scalare). Vom avea deci:

$$F(t) = F(0)e^{(A+B)t+1/2[A, B]t^2}.$$

Punînd $t = 0$, se vede că $F(0) = 1$, și :

$$F(t) = e^{(A+B)t+1/2[A, B]t^2}.$$

Punînd acum $t = 1$, obținem rezultatul dorit.

Problema 1.2: Să se calculeze comutatorul $[X, D_x]$.

Soluție

Calculul se face aplicînd comutatorul unei funcții arbitrare $\psi(\vec{r})$:

$$\begin{aligned} [X, D_x]\psi(\vec{r}) &= (x\frac{\partial}{\partial x} - \frac{\partial}{\partial x}x)\psi(\vec{r}) = x\frac{\partial}{\partial x}\psi(\vec{r}) - \frac{\partial}{\partial x}[x\psi(\vec{r})] \\ &= x\frac{\partial}{\partial x}\psi(\vec{r}) - \psi(\vec{r}) - x\frac{\partial}{\partial x}\psi(\vec{r}) = -\psi(\vec{r}). \end{aligned}$$

Cum această relație se satisface pentru orice $\psi(\vec{r})$, se poate deduce că : $[X, D_x] = -1$.

Problema 1.3: Să se verifice că urma de matrice este invariantă la schimbări de baze ortonormale discrete.

Soluție

Suma elementelor diagonale ale unei reprezentări matriceale de un operator (cuantic) A într-o bază arbitrară nu depinde de bază.

Se va obține această proprietate pentru cazul schimbării dintr-o bază ortonormală discretă $|u_i\rangle$ în alta ortonormală discretă $|t_k\rangle$. Avem:

$$\sum_i \langle u_i | A | u_i \rangle = \sum_i \langle u_i | (\sum_k | t_k \rangle \langle t_k |) A | u_i \rangle$$

(unde s-a folosit relația de completitudine pentru starea t_k). Partea dreaptă este egală cu:

$$\sum_{i,j} \langle u_i | t_k \rangle \langle t_k | A | u_i \rangle = \sum_{i,j} \langle t_k | A | u_i \rangle \langle u_i | t_k \rangle,$$

(este posibilă schimbarea ordinii în produsul de două numere scalare). Astfel, putem înlocui $\sum_i | u_i \rangle \langle u_i |$ cu unu (relația de completitudine pentru stările $| u_i \rangle$), pentru a obține în final:

$$\sum_i \langle u_i | A | u_i \rangle = \sum_k \langle t_k | A | t_k \rangle .$$

Așadar, s-a demonstrat proprietatea cerută de invarianță pentru urmele matriceale.

Problema 1.4: Dacă pentru operatorul hermitic N există operatorii hermitici L și M astfel că : $[M, N] = 0$, $[L, N] = 0$, $[M, L] \neq 0$, atunci funcțiile proprii ale lui N sunt degenerate.

Soluție

Fie $\psi(x; \mu, \nu)$ funcțiile proprii comune ale lui M și N (fiind de comutator nul sunt observabile simultane). Fie $\psi(x; \lambda, \nu)$ funcțiile proprii comune ale lui L și N (fiind de comutator nul sunt observabile simultane). Parametrii greci indică valorile proprii ale operatorilor corespunzători. Considerăm, pentru a simplifica, că N are spectru discret. Atunci:

$$f(x) = \sum_{\nu} a_{\nu} \psi(x; \mu, \nu) = \sum_{\nu} b_{\nu} \psi(x; \lambda, \nu) .$$

Se calculează acum elementul de matrice $\langle f | ML | f \rangle$:

$$\langle f | ML | f \rangle = \int \sum_{\nu} \mu_{\nu} a_{\nu} \psi^*(x; \mu, \nu) \sum_{\nu'} \lambda_{\nu'} b_{\nu'} \psi(x; \lambda, \nu') dx .$$

Dacă toate funcțiile proprii ale lui N sunt diferite (nedegenerate) atunci $\langle f | ML | f \rangle = \sum_{\nu} \mu_{\nu} a_{\nu} \lambda_{\nu} b_{\nu}$. Dar același rezultat se obține și dacă se calculează $\langle f | LM | f \rangle$ și comutatorul ar fi zero. Prin urmare, unele funcții proprii ale lui N trebuie să fie degenerate.

2. BARIERE ȘI GROPI RECTANGULARE

Regiuni de potențial constant

În cazul unui potențial rectangular, $V(x)$ este o funcție constantă $V(x) = V$ într-o regiune oarecare în spațiu. Într-o astfel de regiune, ecuația Schrödinger poate fi scrisă :

$$\frac{d^2\psi(x)}{dx^2} + \frac{2m}{\hbar^2}(E - V)\psi(x) = 0 \quad (1)$$

Distingem mai multe cazuri:

(i) $E > V$

Introducem constanta pozitivă k , definită prin

$$k = \frac{\sqrt{2m(E - V)}}{\hbar} \quad (2)$$

Soluția ecuației (1) se poate atunci scrie:

$$\psi(x) = Ae^{ikx} + A'e^{-ikx} \quad (3)$$

unde A și A' sunt constante complexe.

(ii) $E < V$

Această condiție corespunde la regiuni de spațiu care ar fi interzise pentru particulă din punctul de vedere al mișcării mecanice clasice. În acest caz, introducem constanta pozitivă q definită prin:

$$q = \frac{\sqrt{2m(V - E)}}{\hbar} \quad (4)$$

și soluția lui (1) poate fi scrisă :

$$\psi(x) = Be^{qx} + B'e^{-qx} \quad (5)$$

unde B și B' sunt constante complexe.

(iii) $E = V$

În acest caz special, $\psi(x)$ este o funcție lineară de x .

Comportamentul lui $\psi(x)$ la o discontinuitate a potențialului

S-ar putea crede că în punctul $x = x_1$, unde potențialul $V(x)$ este discontinuu, funcția de undă $\psi(x)$ se comportă mai ciudat, poate că în mod discontinuu, de exemplu. Aceasta nu se întâmplă : $\psi(x)$ și $\frac{d\psi}{dx}$ sunt continue, și numai a doua derivată prezintă discontinuitate în $x = x_1$.

Viziune generală asupra calculului

Procedeul pentru determinarea stării staționare în potențiale rectangulare este deci următorul: în toate regiunile unde $V(x)$ este constant, scriem $\psi(x)$ în oricare dintre cele două forme (3) sau (5) în funcție de aplicație; în continuare 'lipim' aceste funcții corespunzător cerinței de continuitate pentru $\psi(x)$ și $\frac{d\psi}{dx}$ în punctele unde $V(x)$ este discontinuu.

Examinarea câtorva cazuri simple

Să facem calculul cantitativ pentru stările staționare, conform metodei descrise.

Potențial treaptă

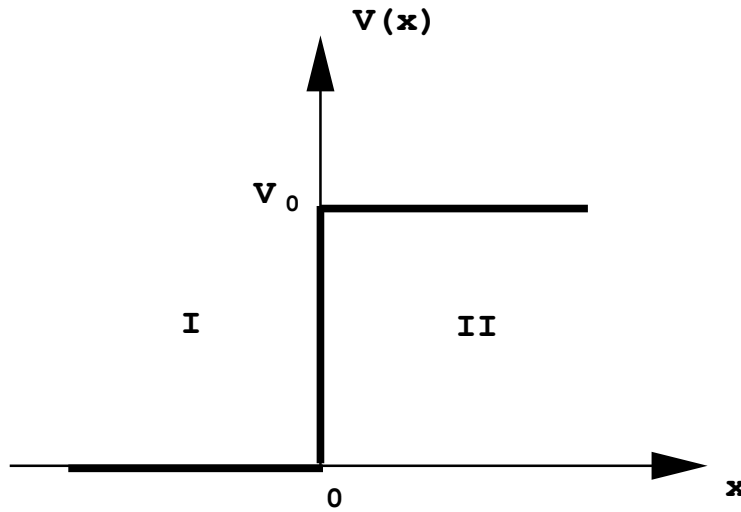


Fig. 2.1

a. Cazul $E > V_0$; reflexie parțială

Să punem ec. (2) în forma:

$$k_1 = \frac{\sqrt{2mE}}{\hbar} \quad (6)$$

$$k_2 = \frac{\sqrt{2m(E - V_0)}}{\hbar} \quad (7)$$

Soluția ec. (1) are forma din ec. (3) în regiunile $I(x < 0)$ și $II(x > 0)$:

$$\begin{aligned} \psi_I &= A_1 e^{ik_1 x} + A_1' e^{-ik_1 x} \\ \psi_{II} &= A_2 e^{ik_2 x} + A_2' e^{-ik_2 x} \end{aligned}$$

În regiunea I ec. (1) ia forma:

$$\psi''(x) + \frac{2mE}{\hbar^2} \psi(x) = \psi''(x) + k^2 \psi(x) = 0$$

iar în regiunea II:

$$\psi''(x) - \frac{2m}{\hbar^2} [V_0 - E] \psi(x) = \psi''(x) - q^2 \psi(x) = 0$$

Dacă ne limităm la cazul unei particule incidente care ‘vine’ de la $x = -\infty$, trebuie să alegem $A_2' = 0$ și putem determina raporturile A_1'/A_1 și A_2/A_1 . Condițiile de ‘lipire’ dau atunci:

- $\psi_I = \psi_{II}$, în $x = 0$:

$$A_1 + A_1' = A_2 \quad (8)$$

- $\psi_I' = \psi_{II}'$, în $x = 0$:

$$A_1 i k_1 - A_1' i k_1 = A_2 i k_2 \quad (9)$$

Substituind A_1 și A_1' din (8) în (9):

$$A_1' = \frac{A_2(k_1 - k_2)}{2k_1} \quad (10)$$

$$A_1 = \frac{A_2(k_1 + k_2)}{2k_1} \quad (11)$$

Egalarea constantei A_2 în (10) și (11) implică :

$$\frac{A_1'}{A_1} = \frac{k_1 - k_2}{k_1 + k_2} \quad (12)$$

și din (11) obținem:

$$\frac{A_2}{A_1} = \frac{2k_1}{k_1 + k_2} \quad (13)$$

$\psi(x)$ este o superpoziția de două unde. Prima (termenul în A_1) corespunde unei particule incidente, de moment $p = \hbar k_1$, în propagare de la stînga la dreapta. A doua (termenul în A'_1) corespunde unei particule reflectate, de impuls $-\hbar k_1$, în propagare în sens opus. Cum deja am ales $A'_2 = 0$, $\psi_{II}(x)$ conține o singură undă, care este asociată cu o particulă transmisă. (Se va arăta mai departe cum este posibil, folosind conceptul de curenț de probabilitate, să definim coeficientul de transmisie T precum și coeficientul de reflexie R pentru potențialul treaptă). Acești coeficienți dau probabilitatea ca o particulă, sosind de la $x = -\infty$, ar putea trece de potențialul treaptă în $x = 0$ sau se întoarce. Astfel obținem:

$$R = \left| \frac{A'_1}{A_1} \right|^2 \quad (14)$$

iar pentru T :

$$T = \frac{k_2}{k_1} \left| \frac{A_2}{A_1} \right|^2. \quad (15)$$

Ținînd cont de (12) și (13), avem:

$$R = 1 - \frac{4k_1 k_2}{(k_1 + k_2)^2} \quad (16)$$

$$T = \frac{4k_1 k_2}{(k_1 + k_2)^2}. \quad (17)$$

Este ușor de verificat că $R + T = 1$: este deci sigur că particula va fi transmisă sau reflectată. Contrar predicțiilor mecanicii clasice, particula incidentă are o probabilitate nenulă de a nu se întoarce.

Deasemenea este ușor de verificat, folosind (6), (7) și (17), că dacă $E \gg V_0$ atunci $T \simeq 1$: cînd energia particulei este suficient de mare în comparație cu înălțimea treptei, pentru particulă este ca și cum obstacolul treaptă nu ar exista.

Considerînd soluția în regiunea I:

$$\psi_I = A_1 e^{ik_1 x} + A'_1 e^{-ik_1 x}$$

$$j = -\frac{i\hbar}{2m} (\phi^* \nabla \phi - \phi \nabla \phi^*) \quad (18)$$

cu $A_1 e^{ik_1 x}$ și conjugata sa $A_1^* e^{-ik_1 x}$:

$$j = -\frac{i\hbar}{2m} [(A_1^* e^{-ik_1 x})(A_1 i k_1 e^{ik_1 x}) - (A_1 e^{ik_1 x})(-A_1^* i k_1 e^{-ik_1 x})]$$

$$j = \frac{\hbar k_1}{m} |A_1|^2$$

Acum cu $A_1' e^{-ik_1 x}$ și conjugata sa $A_1'^* e^{ik_1 x}$ rezultă :

$$j = -\frac{\hbar k_1}{m} |A_1'|^2 .$$

Dorim în continuare să verificăm proporția de curent reflectat față de curentul incident (mai precis, dorim să verificăm probabilitatea ca particula să fie returnată):

$$R = \frac{|j(\phi_-)|}{|j(\phi_+)|} = \frac{|-\frac{\hbar k_1}{m} |A_1'|^2|}{|\frac{\hbar k_1}{m} |A_1|^2|} = \left| \frac{A_1'}{A_1} \right|^2 \quad (19)$$

Similar, proporția de transmisie față de incidență (adică probabilitatea ca particula să fie transmisă) este, ținând acum cont de soluția din regiunea II:

$$T = \frac{|\frac{\hbar k_2}{m} |A_2|^2|}{|\frac{\hbar k_1}{m} |A_1|^2|} = \frac{k_2}{k_1} \left| \frac{A_2}{A_1} \right|^2 \quad (20)$$

a. Cazul $E < V_0$; *reflexie totală*

În acest caz avem:

$$k_1 = \frac{\sqrt{2mE}}{\hbar} \quad (21)$$

$$q_2 = \frac{\sqrt{2m(V_0 - E)}}{\hbar} \quad (22)$$

În regiunea I ($x < 0$), soluția ec. (1) [scrisă $\psi(x)'' + k_1^2 \psi(x) = 0$] are forma dată în ec. (3):

$$\psi_I = A_1 e^{ik_1 x} + A_1' e^{-ik_1 x} \quad (23)$$

iar în regiunea II ($x > 0$), aceeași ec. (1) [acum scrisă $\psi(x)'' - q_2^2 \psi(x) = 0$] are forma ec. (5):

$$\psi_{II} = B_2 e^{q_2 x} + B_2' e^{-q_2 x} \quad (24)$$

Pentru ca soluția să fie menținută finită când $x \rightarrow +\infty$, este necesar ca:

$$B_2 = 0 \quad (25)$$

Condițiile de ‘lipit’ în $x = 0$ dau în acest caz:

- $\psi_I = \psi_{II}$, în $x = 0$:

$$A_1 + A'_1 = B'_2 \quad (26)$$

- $\psi'_I = \psi'_{II}$, în $x = 0$:

$$A_1 ik_1 - A'_1 ik_1 = -B'_2 q_2 \quad (27)$$

Substituind A_1 și A'_1 din (26) în (27):

$$A'_1 = \frac{B'_2(ik_1 + q_2)}{2ik_1} \quad (28)$$

$$A_1 = \frac{B'_2(ik_1 - q_2)}{2ik_1} \quad (29)$$

Egalarea constantei B'_2 în (28) și (29) duce la:

$$\frac{A'_1}{A_1} = \frac{ik_1 + q_2}{ik_1 - q_2} = \frac{k_1 - iq_2}{k_1 + iq_2}, \quad (30)$$

astfel că din (29) avem:

$$\frac{B'_2}{A_1} = \frac{2ik_1}{ik_1 - q_2} = \frac{2k_1}{k_1 - iq_2} \quad (31)$$

Coeficientul de reflexie R este deci:

$$R = \left| \frac{A'_1}{A_1} \right|^2 = \left| \frac{k_1 - iq_2}{k_1 + iq_2} \right|^2 = \frac{k_1^2 + q_2^2}{k_1^2 + q_2^2} = 1 \quad (32)$$

Ca în mecanica clasică , microparticula este întotdeauna reflectată (reflexie totală). Totuși, există o diferență importantă : datorită existenței așa-numitei unde evanescente $e^{-q_2 x}$, particula are o probabilitate nenulă de a se găsi ‘prezentă ’ în regiunea din spațiu care este clasic interzisă . Această probabilitate descrește exponențial cu x și ajunge să fie neglijabilă când x depășește “zona” $1/q_2$ corespunzătoare unde evanescente. Să notăm și că A'_1/A_1 este complex. O anumită diferență de fază apare din cauza reflexiei, care, fizic, se datorează faptului că particula este ‘ frînătă’ (încetinită când intră în regiunea $x > 0$. Nu există analogie pentru aceasta în mecanica clasică , ci doar în optica fizică .

Potențiale tip barieră

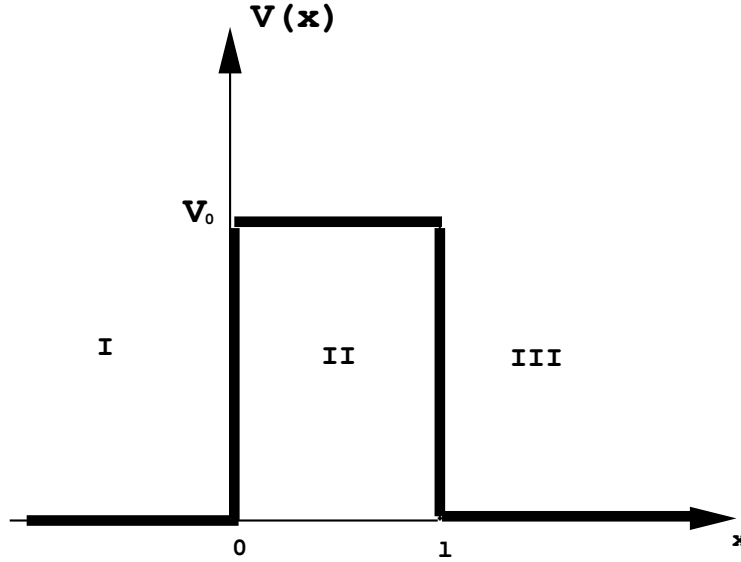


Fig. 2.2

a. Cazul $E > V_0$; rezonanțe

Să punem aici ec. (2) în forma:

$$k_1 = \frac{\sqrt{2mE}}{\hbar} \quad (33)$$

$$k_2 = \frac{\sqrt{2m(E - V_0)}}{\hbar} \quad (34)$$

Soluția ec. (1) este ca în ec. (3) în regiunile $I(x < 0)$, $II(0 < x < a)$ și $III(x > a)$:

$$\begin{aligned} \psi_I &= A_1 e^{ik_1 x} + A'_1 e^{-ik_1 x} \\ \psi_{II} &= A_2 e^{ik_2 x} + A'_2 e^{-ik_2 x} \\ \psi_{III} &= A_3 e^{ik_1 x} + A'_3 e^{-ik_1 x} \end{aligned}$$

Dacă ne limităm la cazul unei particule incidente care vine de la $x = -\infty$, trebuie să alegem $A'_3 = 0$.

- $\psi_I = \psi_{II}$, în $x = 0$:

$$A_1 + A'_1 = A_2 + A'_2 \quad (35)$$

- $\psi'_I = \psi'_{II}$, în $x = 0$:

$$A_1 i k_1 - A'_1 i k_1 = A_2 i k_2 - A'_2 i k_2 \quad (36)$$

- $\psi_{II} = \psi_{III}$, în $x = a$:

$$A_2 e^{i k_2 a} + A'_2 e^{-i k_2 a} = A_3 e^{i k_1 a} \quad (37)$$

- $\psi'_{II} = \psi'_{III}$, în $x = a$:

$$A_2 i k_2 e^{i k_2 a} - A'_2 i k_2 e^{-i k_2 a} = A_3 i k_1 e^{i k_1 a} \quad (38)$$

Condițiile de continuitate în $x = a$ dau A_2 și A'_2 în funcție de A_3 , și cele din $x = 0$ dau A_1 și A'_1 în funcție de A_2 și A'_2 (și deci în funcție de A_3). Acest procedeu este arătat în continuare.

Substituind A'_2 din ec. (37) în (38):

$$A_2 = \frac{A_3 e^{i k_1 a} (k_2 + k_1)}{2 k_2 e^{i k_2 a}} \quad (39)$$

Substituind A_2 din ec. (37) în (38):

$$A'_2 = \frac{A_3 e^{i k_1 a} (k_2 - k_1)}{2 k_2 e^{-i k_2 a}} \quad (40)$$

Substituind A_1 din ec. (35) în (36):

$$A'_1 = \frac{A_2 (k_2 - k_1) - A'_2 (k_2 + k_1)}{-2 k_1} \quad (41)$$

Substituind A'_1 din ec. (35) în (36):

$$A_1 = \frac{A_2 (k_2 + k_1) - A'_2 (k_2 - k_1)}{2 k_1} \quad (42)$$

Acum, substituind în (41) ecuațiile (39) și (40), avem:

$$A'_1 = i \frac{(k_2^2 - k_1^2)}{2 k_1 k_2} (\sin k_2 a) e^{i k_1 a} A_3 \quad (43)$$

În final, substituind în (42) ecuațiile (39) și (40):

$$A_1 = [\cos k_2 a - i \frac{k_1^2 + k_2^2}{2k_1 k_2} \sin k_2 a] e^{ik_1 a} A_3 \quad (44)$$

A'_1/A_1 și A_3/A_1 [raporturi care se obțin egalînd ecuațiile (43) și (44), și respectiv separînd în ec. (44)] ne permit calculul coeficientului de reflexie R precum și a celui de transmisie T pentru acest caz simplu de barieră, fiind aceștia dați de:

$$R = |A'_1/A_1|^2 = \frac{(k_1^2 - k_2^2)^2 \sin^2 k_2 a}{4k_1^2 k_2^2 + (k_1^2 - k_2^2)^2 \sin^2 k_2 a}, \quad (45)$$

$$T = |A_3/A_1|^2 = \frac{4k_1^2 k_2^2}{4k_1^2 k_2^2 + (k_1^2 - k_2^2)^2 \sin^2 k_2 a}, \quad (46)$$

Acum este ușor de verificat că $R + T = 1$.

b. Cazul $E < V_0$; efectul tunel

Acum, fie ecuațiile (2) și (4):

$$k_1 = \frac{\sqrt{2mE}}{\hbar} \quad (47)$$

$$q_2 = \frac{\sqrt{2m(V_0 - E)}}{\hbar} \quad (48)$$

Soluția ec. (1) are forma ec. (3) în regiunile $I(x < 0)$ și $III(x > a)$, în timp ce în regiunea $II(0 < x < a)$ are forma ec. (5):

$$\begin{aligned} \psi_I &= A_1 e^{ik_1 x} + A'_1 e^{-ik_1 x} \\ \psi_{II} &= B_2 e^{q_2 x} + B'_2 e^{-q_2 x} \\ \psi_{III} &= A_3 e^{ik_1 x} + A'_3 e^{-ik_1 x} \end{aligned}$$

Condițiile de 'lipit' în $x = 0$ și $x = a$ ne permit calculul coeficientului de transmisie al barierei. De fapt, nu este necesar a efectua încă odata calculul: este suficient de a face substituția, în ecuația obținută în primul caz din această secțiune k_2 cu $-iq_2$.

Stări legate în groapă rectangulară

a. Groapă de adâncime finită

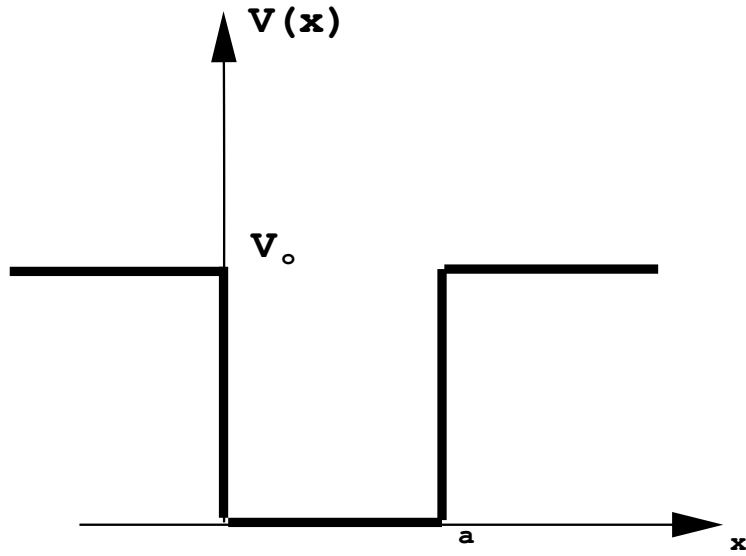


Fig. 2.3 Groapă finită

În această parte ne limităm la studiul cazului $0 < E < V_0$ (cazul $E > V_0$ este identic calculului din secțiunea precedentă, “barieră de potențial”).

Pentru regiunile exterioare I ($x < 0$) și III ($x > a$) folosim ec. (4):

$$q = \frac{\sqrt{2m(V_0 - E)}}{\hbar} \quad (49)$$

Pentru regiunea centrală II ($0 < x < a$) folosim ec. (2):

$$k = \frac{\sqrt{2m(E)}}{\hbar} \quad (50)$$

Soluția ec. (1) are forma ec. (5) în regiunile exterioare și în forma din ec. (3) în regiunea centrală :

$$\begin{aligned} \psi_I &= B_1 e^{qx} + B'_1 e^{-qx} \\ \psi_{II} &= A_2 e^{ikx} + A'_2 e^{-ikx} \end{aligned}$$

$$\psi_{III} = B_3 e^{qx} + B'_3 e^{-qx}$$

În regiunea ($0 < x < a$) ec. (1) are forma:

$$\psi(x)'' + \frac{2mE}{\hbar^2} \psi(x) = \psi(x)'' + k^2 \psi(x) = 0 \quad (51)$$

și în regiunile exterioare:

$$\psi(x)'' - \frac{2m}{\hbar^2} [V_0 - E] \psi(x) = \psi(x)'' - q^2 \psi(x) = 0 \quad (52)$$

Pentru că ψ trebuie să fie finită în regiunea I, trebuie să avem:

$$B'_1 = 0 \quad (53)$$

Condițiile de lipire dau:

$$\psi_I = \psi_{II}, \quad \text{în } x = 0 :$$

$$B_1 = A_2 + A'_2 \quad (54)$$

$$\psi'_I = \psi'_{II}, \quad \text{în } x = 0 :$$

$$B_1 q = A_2 i k - A'_2 i k \quad (55)$$

$$\psi_{II} = \psi_{III}, \quad \text{în } x = a :$$

$$A_2 e^{ika} + A'_2 e^{-ika} = B_3 e^{qa} + B'_3 e^{-qa} \quad (56)$$

$$\psi'_{II} = \psi'_{III}, \quad \text{în } x = a :$$

$$A_2 i k e^{ika} - A'_2 i k e^{-ika} = B_3 q e^{qa} - B'_3 q e^{-qa} \quad (57)$$

Substituind constantele A_2 și A'_2 din ec. (54) în ec. (55) obținem, respectiv:

$$\begin{aligned} A'_2 &= \frac{B_1(q - ik)}{-2ik} \\ A_2 &= \frac{B_1(q + ik)}{2ik} \end{aligned} \quad (58)$$

Substituind constanta A_2 și constanta A'_2 din ec. (56) în ec. (57) obținem, respectiv:

$$\begin{aligned} B'_3 e^{-qa}(ik + q) + B_3 e^{qa}(ik - q) + A'_2 e^{-ika}(-2ik) &= 0 \\ 2ik A_2 e^{ika} + B'_3 e^{-qa}(-ik + q) + B_3 e^{qa}(-ik - q) &= 0 \end{aligned} \quad (59)$$

Egalînd B'_3 din ecuațiile (59) și ținînd cont de ecuațiile (58):

$$\frac{B_3}{B_1} = \frac{e^{-qa}}{4ikq} [e^{ika}(q+ik)^2 - e^{-ika}(q-ik)^2] \quad (60)$$

Însă $\psi(x)$ trebuie să fie finită și în regiunea III. Prin urmare, este necesar ca $B_3 = 0$, și deci:

$$\left[\frac{q-ik}{q+ik}\right]^2 = \frac{e^{ika}}{e^{-ika}} = e^{2ika} \quad (61)$$

Deoarece q și k depind de E , ec. (1) poate fi satisfăcută pentru anumite valori ale lui E . Condiția ca $\psi(x)$ să fie finită în toate regiunile spațiale impune cuantizarea energiei. Și mai precis două cazuri sunt posibile:

(i) dacă :

$$\frac{q-ik}{q+ik} = -e^{ika} \quad (62)$$

Egalînd în ambii membri partea reală și cea imaginară ,respectiv, rezultă :

$$\tan\left(\frac{ka}{2}\right) = \frac{q}{k} \quad (63)$$

Punînd:

$$k_0 = \sqrt{\frac{2mV_0}{\hbar}} = \sqrt{k^2 + q^2} \quad (64)$$

obținem:

$$\frac{1}{\cos^2\left(\frac{ka}{2}\right)} = 1 + \tan^2\left(\frac{ka}{2}\right) = \frac{k^2 + q^2}{k^2} = \left(\frac{k_0}{k}\right)^2 \quad (65)$$

Ec.(63) este astfel echivalentă cu sistemul de ecuații:

$$\begin{aligned} \left|\cos\left(\frac{ka}{2}\right)\right| &= \frac{k}{k_0} \\ \tan\left(\frac{ka}{2}\right) &> 0 \end{aligned} \quad (66)$$

Nivelele de energie sunt determinate de către intersecția unei linii drepte de înclinare $\frac{1}{k_0}$ cu primul set de cosinusoide întrerupte în figura 2.4. Astfel obținem un număr de nivele de energie, ale căror funcții de undă sunt pare. Acest lucru devine mai clar dacă substituim (62) în (58) și (60). Este ușor de verificat că $B'_3 = B_1$ și $A_2 = A'_2$, astfel că $\psi(-x) = \psi(x)$.

(ii) dacă :

$$\frac{q - ik}{q + ik} = e^{ika} \quad (67)$$

Un calcul de același tip ne duce la:

$$\begin{aligned} \left| \sin\left(\frac{ka}{2}\right) \right| &= \frac{k}{k_0} \\ \tan\left(\frac{ka}{2}\right) &< 0 \end{aligned} \quad (68)$$

Nivelele de energie sunt în acest caz determinate de către intersecția aceleiași linii drepte cu al doilea set de cosinusoide întrerupte în figura 2.4. Nivelele astfel obținute se află între cele găsite în (i). Se poate arăta ușor că funcțiile de undă corespunzătoare sunt impare.

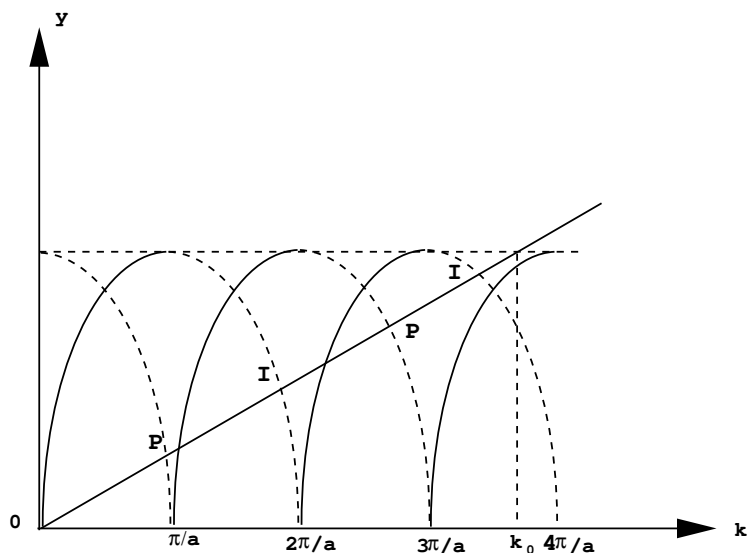


Fig. 2.4

b. Groapă de adâncime infinită

În acest caz este convenabil să se pună $V(x)$ zero pentru $0 < x < a$ și infinit în tot restul axei. Punând:

$$k = \sqrt{\frac{2mE}{\hbar^2}} \quad (69)$$

$\psi(x)$ trebuie să fie zero în afara intervalului $[0, a]$, și continuă în $x = 0$, cât și în $x = a$.

Acum, pentru $0 \leq x \leq a$:

$$\psi(x) = Ae^{ikx} + A'e^{-ikx} \quad (70)$$

Pentru că $\psi(0) = 0$, se poate deduce că $A' = -A$, ceea ce ne conduce la:

$$\psi(x) = 2iA \sin(kx) \quad (71)$$

În plus $\psi(a) = 0$, astfel că :

$$k = \frac{n\pi}{a} \quad (72)$$

unde n este un întreg pozitiv arbitrar. Dacă normalizăm funcția (71), ținând cont de (72), atunci obținem funcțiile de undă staționare:

$$\psi_n(x) = \sqrt{\frac{2}{a}} \sin\left(\frac{n\pi x}{a}\right) \quad (73)$$

cu energiile:

$$E_n = \frac{n^2 \pi^2 \hbar^2}{2ma^2} \quad (74)$$

Cuantizarea nivelelor de energie este prin urmare extrem de simplă în acest caz: energiile staționare sunt proporționale cu pătratele numerelor naturale.

2P. Probleme

Problema 2.1: Potențialul Delta atractiv

Să presupunem că avem un potențial de forma:

$$V(x) = -V_0 \delta(x); \quad V_0 > 0; \quad x \in \mathfrak{R}.$$

Funcția de undă $\psi(x)$ corespunzătoare se presupune continuă .

a) Să se obțină stările legate ($E < 0$), dacă există , localizate în acest tip de potențial.

b) Să se calculeze dispersia unei unde plane care ‘cade’ pe acest potențial și să se obțină *coeficientul de reflexie*

$$R = \frac{|\psi_{refl}|^2}{|\psi_{inc}|^2} \Big|_{x=0}$$

unde ψ_{refl} , ψ_{inc} sunt unda reflectată și respectiv cea incidentă .

Sugestie: Pentru a evalua comportamentul lui $\psi(x)$ în $x=0$, se recomandă integrarea ecuației Schrödinger în intervalul $(-\varepsilon, +\varepsilon)$, după care se aplică limita $\varepsilon \rightarrow 0$.

Soluție. a) Ecuația Schrödinger este:

$$\frac{d^2\psi(x)}{dx^2} + \frac{2m}{\hbar^2}(E + V_0\delta(x))\psi(x) = 0 \quad (75)$$

Departa de origine avem o ecuație diferențială de forma

$$\frac{d^2}{dx^2}\psi(x) = -\frac{2mE}{\hbar^2}\psi(x). \quad (76)$$

Funcțiile de undă sunt prin urmare de forma

$$\psi(x) = Ae^{-qx} + Be^{qx} \quad \text{pentru } x > 0 \quad \text{sau } x < 0, \quad (77)$$

cu $q = \sqrt{-2mE/\hbar^2} \in \mathfrak{R}$. Cum $|\psi|^2$ trebuie să fie integrabilă , nu putem accepta o parte care să crească exponențial. În plus funcția de undă trebuie să fie continuă în origine. Cu aceste condiții,

$$\begin{aligned} \psi(x) &= Ae^{qx}; & (x < 0), \\ \psi(x) &= Ae^{-qx}; & (x > 0). \end{aligned} \quad (78)$$

Întegrând ecuația Schrödinger între $-\varepsilon$ și $+\varepsilon$, obținem

$$-\frac{\hbar^2}{2m}[\psi'(\varepsilon) - \psi'(-\varepsilon)] - V_0\psi(0) = E \int_{-\varepsilon}^{+\varepsilon} \psi(x)dx \approx 2\varepsilon E\psi(0) \quad (79)$$

Introducând acum rezultatul (78) și ținând cont de limita $\varepsilon \rightarrow 0$, avem

$$-\frac{\hbar^2}{2m}(-qA - qA) - V_0A = 0 \quad (80)$$

sau $E = -m(V_0^2/2\hbar^2) [-\frac{V_0^2}{4}$ în unități $\frac{\hbar^2}{2m}]$. În mod clar există o singură energie discretă . Constanta de normalizare se găsește că este $A = \sqrt{mV_0/\hbar^2}$. Funcția de undă a stării legate se obține $\psi_o = Ae^{V_0|x|/2}$, cu V_0 în unități $\frac{\hbar^2}{2m}$.

b) Funcția de undă pentru o undă plană este după cum se știe

$$\psi(x) = Ae^{ikx}, \quad k^2 = \frac{2mE}{\hbar^2}. \quad (81)$$

Se mișcă de la stînga la dreapta și se reflectă în potențial. Dacă B sau C este amplitudinea undei reflectate sau transmise, respectiv, avem

$$\begin{aligned} \psi(x) &= Ae^{ikx} + Be^{-ikx}, & (x < 0), \\ \psi(x) &= Ce^{ikx}, & (x > 0). \end{aligned} \quad (82)$$

Condițiile de continuitate și relația $\psi'(\varepsilon) - \psi'(-\varepsilon) = -f\psi(0)$ cu $f = 2mV_0/\hbar^2$ produc

$$\begin{aligned} A + B &= C & B &= -\frac{f}{f + 2ik}A, \\ ik(C - A + B) &= -fC & C &= \frac{2ik}{f + 2ik}A. \end{aligned} \quad (83)$$

Coeficientul de reflexie cerut este prin urmare

$$R = \frac{|\psi_{refl}|^2}{|\psi_{inc}|^2} \Big|_{x=0} = \frac{|B|^2}{|A|^2} = \frac{m^2V_0^2}{m^2V_0^2 + \hbar^4k^2}. \quad (84)$$

Dacă potențialul este extrem de puternic ($V_0 \rightarrow \infty$) se vede că $R \rightarrow 1$, adică unda este reflectată în totalitate.

Coeficientul de transmisie, pe de altă parte, este

$$T = \frac{|\psi_{trans}|^2}{|\psi_{inc}|^2} \Big|_{x=0} = \frac{|C|^2}{|A|^2} = \frac{\hbar^4k^2}{m^2V_0^2 + \hbar^4k^2}. \quad (85)$$

Dacă potențialul este foarte puternic ($V_0 \rightarrow \infty$) atunci $T \rightarrow 0$, adică, unda transmisă cade rapid de cealaltă parte a potențialului.

Evident, $R + T = 1$ cum era de așteptat.

Problema 2.2: Particulă într-o groapă de potențial finită 1D

Să se rezolve ecuația Schrödinger unidimensională pentru o groapă de potențial finită descrisă prin condițiile

$$V(x) = \begin{cases} -V_0 & \text{dacă } |x| \leq a \\ 0 & \text{dacă } |x| > a . \end{cases}$$

Să se considere numai stările legate ($E < 0$).

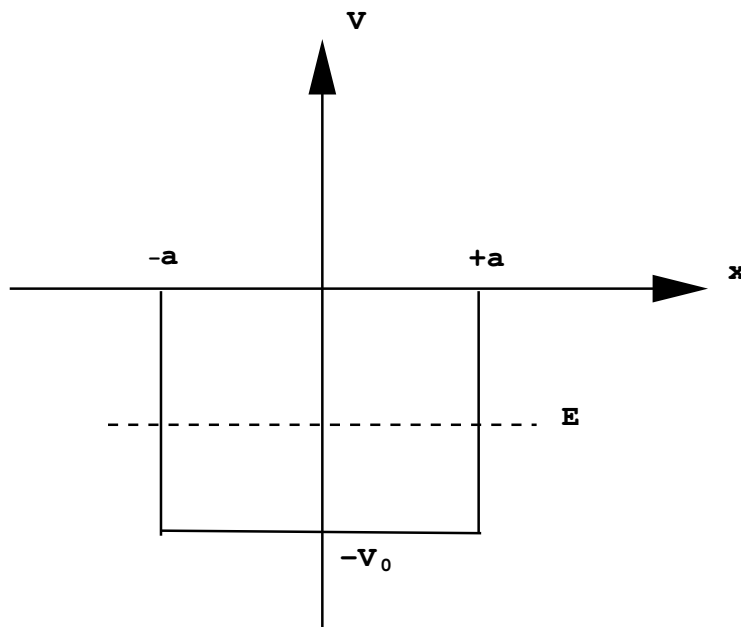


Fig. 2.5

Soluție.

a) Funcția de undă pentru $|x| < a$ și $|x| > a$.

Ecuația Schrödinger corespunzătoare este

$$-\frac{\hbar^2}{2m}\psi''(x) + V(x)\psi(x) = E\psi(x) . \quad (86)$$

Definim

$$q^2 = -\frac{2mE}{\hbar^2}, \quad k^2 = \frac{2m(E + V_0)}{\hbar^2} \quad (87)$$

și obținem:

- 1) pentru $x < -a$: $\psi_1''(x) - q^2\psi_1 = 0$, $\psi_1 = A_1e^{qx} + B_1e^{-qx}$;
- 2) pentru $-a \leq x \leq a$: $\psi_2''(x) + k^2\psi_2 = 0$, $\psi_2 = A_2 \cos(kx) + B_2 \sin(kx)$;
- 3) pentru $x > a$: $\psi_3''(x) - q^2\psi_3 = 0$, $\psi_3 = B_3e^{qx} + B_3e^{-qx}$.

b) Formularea condițiilor de frontieră .

Normalizarea stărilor legate cere ca soluția să fie zero la infinit. Aceasta înseamnă că $B_1 = A_3 = 0$. În plus, $\psi(x)$ trebuie să fie continuu diferențiabilă . Toate soluțiile particulare sunt fixate în așa fel încît ψ precum și prima sa derivată ψ' sunt continue în acea valoare a lui x corespunzînd frontierei între zona interioară și cea exterioară . A doua derivată ψ'' conține saltul (discontinuitatea) impus de către potențialul particular de tip 'cutie' al acestei ecuații Schrödinger. Toate acestea ne conduc la

$$\begin{aligned}\psi_1(-a) &= \psi_2(-a), & \psi_2(a) &= \psi_3(a), \\ \psi_1'(-a) &= \psi_2'(-a), & \psi_2'(a) &= \psi_3'(a).\end{aligned}\quad (88)$$

c) Ecuațiile de valori proprii.

Din (88) obținem patru ecuații lineare și omogene pentru coeficienții A_1 , A_2 , B_2 și B_3 :

$$\begin{aligned}A_1e^{-qa} &= A_2 \cos(ka) - B_2 \sin(ka), \\ qA_1e^{-qa} &= A_2k \sin(ka) + B_2k \cos(ka), \\ B_3e^{-qa} &= A_2 \cos(ka) + B_2 \sin(ka), \\ -qB_3e^{-qa} &= -A_2k \sin(ka) + B_2k \cos(ka).\end{aligned}\quad (89)$$

Adunînd și scăzînd obținem un sistem de ecuații mai ușor de rezolvat:

$$\begin{aligned}(A_1 + B_3)e^{-qa} &= 2A_2 \cos(ka) \\ q(A_1 + B_3)e^{-qa} &= 2A_2k \sin(ka) \\ (A_1 - B_3)e^{-qa} &= -2B_2 \sin(ka) \\ q(A_1 - B_3)e^{-qa} &= 2B_2k \cos(ka).\end{aligned}\quad (90)$$

Dacă se presupune că $A_1 + B_3 \neq 0$ și $A_2 \neq 0$, primele două ecuații dau

$$q = k \tan(ka).\quad (91)$$

care pus în ultimele două dă

$$A_1 = B_3; \quad B_2 = 0.\quad (92)$$

De aici, ca rezultat, obținem o soluție simetrică , $\psi(x) = \psi(-x)$, sau de *paritate pozitivă* .

Un calcul practic identic ne duce pentru $A_1 - B_3 \neq 0$ și pentru $B_2 \neq 0$ la

$$q = -k \cot(ka) \quad y \quad A_1 = -B_3; \quad A_2 = 0. \quad (93)$$

Funcția de undă astfel obținută este antisimetrică , corespunzând unei parități *negative*.

d) Soluție calitativă a problemei de valori proprii.

Ecuția care leagă q și k , pe care am obținut-o deja, dă condiții pentru autovalorile de energie. Folosind forma scurtă

$$\xi = ka, \quad \eta = qa, \quad (94)$$

obținem din definiția (87)

$$\xi^2 + \eta^2 = \frac{2mV_0a^2}{\hbar^2} = r^2. \quad (95)$$

Pe de altă parte, folosind (91) și (93) obținem ecuațiile

$$\eta = \xi \tan(\xi), \quad \eta = -\xi \cot(\xi).$$

Astfel autovalorile de energie căutate pot fi obținute construind intersecția acestor două curbe cu cercul definit de (95), în planul ξ - η (vezi figura 2.6).

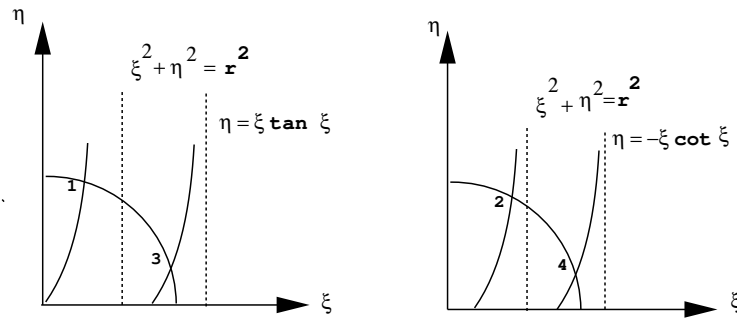


Fig. 2.6

Cel puțin o soluție există pentru valori arbitrare ale parametrului V_0 , în cazul parității pozitive, pentru că funcția tangentă intersectează originea.

Pentru paritatea negativă, raza cercului trebuie să fie mai mare decât o anumită valoare minimă astfel că cele două curbe să se poată intersecta. Potențialul trebuie să aibă o anumită adâncime relaționată cu o scală spațială dată a și o scală de masă dată m , pentru a permite o soluție de paritate negativă. Numărul de nivele de energie crește cu V_0 , a și masa m . Pentru cazul în care $mVa^2 \rightarrow \infty$, intersecțiile se află din

$$\begin{aligned} \tan(ka) &= \infty &\longrightarrow & ka = \frac{2n-1}{2}\pi, \\ -\cot(ka) &= \infty &\longrightarrow & ka = n\pi, \end{aligned} \quad (96)$$

unde $n = 1, 2, 3, \dots$
sau combinînd:

$$k(2a) = n\pi. \quad (97)$$

Pentru spectrul de energie acest lucru înseamnă că

$$E_n = \frac{\hbar^2}{2m} \left(\frac{n\pi}{2a}\right)^2 - V_0. \quad (98)$$

Lărgind groapa de potențial și/sau masa particulei m , diferența între două autovalori de energie vecine va scădea. Nivelul cel mai de jos ($n = 1$) nu este localizat în $-V_0$, ci un pic mai sus. Această diferență se numește *energia de punct zero*.

e) Formele funcțiilor de undă se arată în figura 2.7 pentru soluțiile discutate.

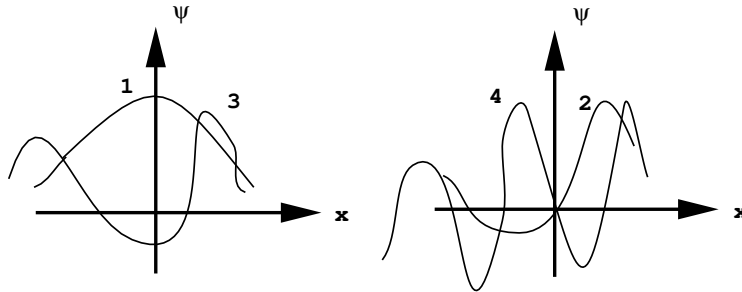


Fig. 2.7: Forme ale funcțiilor de undă

Problema 2.3: Particulă în groapă rectangulară 1D infinită

Să se rezolve ecuația Schrödinger unidimensională pentru o particulă care se află într-o groapă de potențial infinită descrisă de:

$$V(x) = \begin{cases} 0 & \text{pentru } x' < x < x' + 2a \\ \infty & \text{pentru } x' \geq x \text{ o } x \geq x' + 2a. \end{cases}$$

Soluția în formă generală este

$$\psi(x) = A \sin(kx) + B \cos(kx) \quad (99)$$

unde

$$k = \sqrt{\frac{2mE}{\hbar^2}}. \quad (100)$$

Cum ψ trebuie să îndeplinească $\psi(x') = \psi(x' + 2a) = 0$, se obține:

$$A \sin(kx') + B \cos(kx') = 0 \quad (101)$$

$$A \sin[k(x' + 2a)] + B \cos[k(x' + 2a)] = 0. \quad (102)$$

Multiplicând (101) cu $\sin[k(x' + 2a)]$ și (102) cu $\sin(kx')$ și în continuare scăzând ultimul rezultat din primul obținem:

$$B[\cos(kx') \sin[k(x' + 2a)] - \cos[k(x' + 2a)] \sin(kx')] = 0. \quad (103)$$

sau prin intermediul unei identități trigonometrice:

$$B \sin(2ak) = 0 \quad (104)$$

Multiplicând (101) cu $\cos[k(x' + 2a)]$ și scăzând (102) multiplicată cu $\cos(kx')$, se obține:

$$A[\sin(kx') \cos[k(x' + 2a)] - \sin[k(x' + 2a)] \cos(kx')] = 0, \quad (105)$$

sau folosind aceeași identitate trigonometrică :

$$A \sin[k(-2ak)] = A \sin[k(2ak)] = 0. \quad (106)$$

Cum nu se ține cont de soluția trivială $\psi = 0$, atunci pe baza ecuațiilor (104) și (106) trebuie ca $\sin(2ak) = 0$, care are loc numai dacă $2ak = n\pi$,

cu n un întreg. Conform celor anterioare $k = n\pi/2a$ și cum $k^2 = 2mE/\hbar^2$ atunci rezultă că autovalorile sunt date de către expresia:

$$E = \frac{\hbar^2 \pi^2 n^2}{8a^2 m} . \quad (107)$$

Energia este cuantizată pentru că numai pentru fiecare $k_n = n\pi/2a$ le corespunde o energie $E_n = [n^2/2m][\pi\hbar/2a]^2$.

Soluția în forma generală :

$$\psi_n = A \sin\left(\frac{n\pi x}{2a}\right) + B \cos\left(\frac{n\pi x}{2a}\right). \quad (108)$$

se poate normaliza:

$$1 = \int_{x'}^{x'+2a} \psi \psi^* dx = a(A^2 + B^2) \quad (109)$$

ceea ce ne conduce la:

$$A = \pm \sqrt{1/a - B^2} . \quad (110)$$

Substituind această valoare a lui A în (101) se obține:

$$B = \mp \frac{1}{\sqrt{a}} \sin\left(\frac{n\pi x'}{2a}\right) . \quad (111)$$

Substituind acum aceasta valoare a lui B în (110) se obține:

$$A = \pm \frac{1}{\sqrt{a}} \cos\left(\frac{n\pi x'}{2a}\right) \quad (112)$$

Folosind semnele superioare pentru A și B , prin substituirea valorilor acestora în (108) se obține:

$$\psi_n = \frac{1}{\sqrt{a}} \sin\left(\frac{n\pi}{2a}\right)(x - x') . \quad (113)$$

Utilizând semnele inferioare pentru A și B se obține:

$$\psi_n = -\frac{1}{\sqrt{a}} \sin\left(\frac{n\pi}{2a}\right)(x - x'). \quad (114)$$

3. MOMENT CINETIC ȘI SPIN

Introducere

Din *Mecanica Clasică* se știe că , *momentul cinetic* \mathbf{l} pentru particulele macroscopice este dat de

$$\mathbf{l} = \mathbf{r} \times \mathbf{p}, \quad (1)$$

unde \mathbf{r} și \mathbf{p} sunt respectiv vectorul de poziție și impulsul lineal.

Totuși, în *Mecanica Cuantică* , există operatori de tip moment cinetic (OTMC) care nu obligatoriu se exprimă (numai) prin operatorii de coordonată \hat{x}_j și impuls \hat{p}_k acționând (numai) asupra funcțiilor proprii de coordonate. Prin urmare, este foarte important să se stabilească , mai întâi de toate, relații de comutare generale pentru componentele OTMC.

În *Mecanica Cuantică* \mathbf{l} se reprezintă prin operatorul

$$\mathbf{l} = -i\hbar \mathbf{r} \times \nabla, \quad (2)$$

ale cărui componente sunt operatori care satisfac următoarele reguli de comutare

$$[l_x, l_y] = il_z, \quad [l_y, l_z] = il_x, \quad [l_z, l_x] = il_y, \quad (3)$$

și în plus, fiecare dintre ele comută cu pătratul momentului cinetic, adică

$$l^2 = l_x^2 + l_y^2 + l_z^2, \quad [l_i, l^2] = 0, \quad i = 1, 2, 3. \quad (4)$$

Aceste relații, în afară de a fi corecte pentru momentul cinetic, se satisfac pentru importanta clasă OTMC a operatorilor de spin, care sunt lipsiți de analogi în *mecanica clasică* .

Aceste relații de comutare sunt bazice pentru a obține spectrul operatorilor menționați, precum și reprezentările lor diferențiale.

Momentul cinetic orbital

Pentru un punct oarecare al unui spațiu fix (SF), se poate introduce o funcție $\psi(x, y, z)$, pentru care, să considerăm două sisteme carteziane Σ și Σ' , unde Σ' se obține prin rotația axei z a lui Σ .

În cazul general un SF se referă la un sistem de coordonate diferite de Σ și Σ' .

Acum, să comparăm valorile lui ψ în două puncte ale SF cu aceleași coordonate (x,y,z) în Σ și Σ' , ceea ce este echivalent cu rotația vectorială

$$\psi(x', y', z') = R\psi(x, y, z) \quad (5)$$

unde R este matricea de rotație în \mathbb{R}^3

$$\begin{pmatrix} x' \\ y' \\ z' \end{pmatrix} = \begin{pmatrix} \cos \phi & -\sin \phi & 0 \\ \sin \phi & \cos \phi & 0 \\ 0 & 0 & z \end{pmatrix} \begin{pmatrix} x \\ y \\ z \end{pmatrix}, \quad (6)$$

atunci

$$R\psi(x, y, z) = \psi(x \cos \phi - y \sin \phi, x \sin \phi + y \cos \phi, z). \quad (7)$$

Pe de altă parte este important de amintit că funcțiile de undă nu depind de sistemul de coordonate și că transformarea la rotații în cadrul SF se face cu ajutorul operatorilor unitari și deci pentru a stabili forma operatorului unitar $U^\dagger(\phi)$ care trece ψ în ψ' , se consideră o rotație infinitesimală $d\phi$, menținând numai termenii lineari în $d\phi$ atunci când se face dezvoltarea în serie Taylor a lui ψ' în jurul punctului x

$$\begin{aligned} \psi(x', y', z') &\approx \psi(x + yd\phi, xd\phi + y, z), \\ &\approx \psi(x, y, z) + d\phi \left(y \frac{\partial \psi}{\partial x} - x \frac{\partial \psi}{\partial y} \right), \\ &\approx (1 - id\phi l_z) \psi(x, y, z), \end{aligned} \quad (8)$$

unde am folosit notația¹

$$l_z = \hbar^{-1}(\hat{x}\hat{p}_y - \hat{y}\hat{p}_x), \quad (9)$$

care, după cum se va vedea mai târziu, corespunde operatorului de proiecție în z al momentului cinetic de acord cu definiția din (2) și adăugînd factorul \hbar^{-1} , astfel că rotațiile de unghi ϕ finit se pot reprezenta ca exponențiale de tipul:

$$\psi(x', y', z) = e^{il_z\phi} \psi(x, y, z), \quad (10)$$

unde

$$\hat{U}^\dagger(\phi) = e^{il_z\phi}. \quad (11)$$

Pentru a reafirma conceptul de rotație, să îl considerăm într-un tratament mai general cu ajutorul operatorului vectorial \vec{A} care acționează asupra lui

¹Demonstrația lui (8) se prezintă ca problema 3.1

ψ , presupunînd că $\hat{A}_x, \hat{A}_y, \hat{A}_z$ au aceeași formă în Σ și Σ' , adică, valorile medii ale lui $\vec{\hat{A}}$ calculate în Σ și Σ' trebuie să fie egale cînd se vîd din SF:

$$\begin{aligned} & \int \psi^*(\vec{r}')(\hat{A}_x \hat{i}' + \hat{A}_y \hat{j}' + \hat{A}_z \hat{k}') \psi(\vec{r}') d\vec{r}' \\ &= \int \psi^*(\vec{r})(\hat{A}_x \hat{i} + \hat{A}_y \hat{j} + \hat{A}_z \hat{k}) \psi(\vec{r}) d\vec{r}, \end{aligned} \quad (12)$$

unde

$$\hat{i}' = \hat{i} \cos \phi + \hat{j} \sin \phi, \quad \hat{j}' = \hat{i} \sin \phi + \hat{j} \cos \phi, \quad \hat{k}' = \hat{k}. \quad (13)$$

Prin urmare, dac a vom combina (10), (12) și (13) obținem

$$\begin{aligned} e^{il_z \phi} \hat{A}_x e^{-il_z \phi} &= \hat{A}_x \cos \phi - \hat{A}_y \sin \phi, \\ e^{il_z \phi} \hat{A}_y e^{-il_z \phi} &= \hat{A}_x \sin \phi + \hat{A}_y \cos \phi, \\ e^{il_z \phi} \hat{A}_z e^{-il_z \phi} &= \hat{A}_z. \end{aligned} \quad (14)$$

Din nou considerînd rotații infinitezimale și dezvoltînd p rțile din stînga în (14) se pot determina relațiile de comutare ale lui \hat{A}_x, \hat{A}_y și \hat{A}_z cu \hat{l}_z

$$[l_z, A_x] = iA_y, \quad [l_z, A_y] = -iA_x, \quad [l_z, A_z] = 0, \quad (15)$$

și în același mod pentru l_x și l_y .

Condițiile bazice pentru a obține aceste relații de comutare sunt

- ★ FP se transform  ca în (7) c nd $\Sigma \rightarrow \Sigma'$.
- ★ Componentele $\hat{A}_x, \hat{A}_y, \hat{A}_z$ au aceeași form  în Σ și Σ' .
- ★ Vectorii valorilor medii ale lui $\vec{\hat{A}}$ în Σ și Σ' coincid (sunt egale) pentru un observator din SF.

Deasemenea se poate folosi alt  reprezentare în care $\psi(x, y, z)$ nu se schimb  c nd $\Sigma \rightarrow \Sigma'$ și operatorii vectoriali se transform  ca orice vectori. Pentru a trece la o astfel de reprezentare c nd ϕ se rotește în jurul lui z se folosește operatorul $\hat{U}(\phi)$, adic 

$$e^{il_z \phi} \psi'(x, y, z) = \psi(x, y, z), \quad (16)$$

și deci

$$e^{-il_z \phi} \vec{\hat{A}} e^{il_z \phi} = \vec{\hat{A}}. \quad (17)$$

Utilizând relațiile date în (14) obținem

$$\begin{aligned}\hat{A}'_x &= \hat{A}_x \cos \phi + \hat{A}_y \sin \phi = e^{-il_z \phi} \hat{A}_x e^{il_z \phi}, \\ \hat{A}'_y &= -\hat{A}_x \sin \phi + \hat{A}_y \cos \phi = e^{-il_z \phi} \hat{A}_y e^{il_z \phi}, \\ \hat{A}'_z &= e^{-il_z \phi} \hat{A}_z e^{il_z \phi}.\end{aligned}\tag{18}$$

Pentru că transformările noii reprezentări se fac cu ajutorul operatorilor unitari, relațiile de comutare nu se schimbă .

Observații

★ Operatorul \hat{A}^2 este invariant la rotații, adică

$$e^{-il_z \phi} \hat{A}^2 e^{il_z \phi} = \hat{A}'^2 = \hat{A}^2 .\tag{19}$$

★ Rezultă că

$$[\hat{l}_i, \hat{A}^2] = 0 .\tag{20}$$

★ Dacă operatorul Hamiltonian este de forma

$$\hat{H} = \frac{1}{2m} \hat{p}^2 + U(|\vec{r}|),\tag{21}$$

atunci se menține invariant la rotații produse în oricare axă care trece prin originea de coordonate

$$[\hat{l}_i, \hat{H}] = 0 ,\tag{22}$$

unde \hat{l}_i sunt integrale de mișcare.

Definiție

Dacă \hat{A}_i sunt componentele unui operator vectorial care acționează asupra unei funcții de undă dependentă numai de coordonate și dacă există operatori \hat{l}_i care satisfac următoarele relații de comutare:

$$[\hat{l}_i, \hat{A}_j] = i\varepsilon_{ijk} \hat{A}_k, \quad [\hat{l}_i, \hat{l}_j] = i\varepsilon_{ijk} \hat{l}_k ,\tag{23}$$

atunci, \hat{l}_i se numesc *componentele operatorului moment cinetic (orbital)* și putem să deducem pe baza lui (20) și (23) că

$$[\hat{l}_i, \hat{l}^2] = 0.\tag{24}$$

Prin urmare, cele trei componente operatoriale asociate cu componentele unui moment cinetic clasic arbitrar satisfac relații de comutare de tipul (23), (24). Mai mult, se poate arăta că aceste relații conduc la proprietăți geometrice specifice ale rotațiilor într-un spațiu euclidian tridimensional. Aceasta are loc dacă adoptăm un punct de vedere mai general și definim un operator moment unghiular \mathbf{J} (nu mai punem simbolul de operator) ca orice set de trei observabile J_x , J_y și J_z care îndeplinesc relațiile de comutare:

$$[J_i, J_j] = i\varepsilon_{ijk}J_k. \quad (25)$$

În plus, să introducem operatorul

$$\mathbf{J}^2 = J_x^2 + J_y^2 + J_z^2, \quad (26)$$

pătratul scalar al momentului unghiular \mathbf{J} . Acest operator este hermitic pentru că J_x , J_y și J_z sunt hermitici și se arată ușor că \mathbf{J}^2 comută cu cele trei componente ale lui \mathbf{J}

$$[\mathbf{J}^2, J_i] = 0. \quad (27)$$

Deoarece \mathbf{J}^2 comută cu fiecare dintre componente rezultă că există un sistem complet de FP, respectiv

$$\mathbf{J}^2\psi_{\gamma\mu} = f(\gamma^2)\psi_{\gamma\mu}, \quad J_i\psi_{\gamma\mu} = g(\mu)\psi_{\gamma\mu}, \quad (28)$$

unde, așa cum se va arăta în continuare, FP-urile depind de doi subindici, care se vor determina odată cu forma funcțiilor $f(\gamma)$ și $g(\mu)$. Operatorii J_i și J_k ($i \neq k$) nu comută (între ei), adică, nu au FP în comun. Din motive atât fizice cât și matematice, suntem interesați să determinăm funcțiile proprii comune ale lui \mathbf{J}^2 și J_z , adică vom lua $i = z$ în (28).

În loc de a folosi componentele J_x și J_y ale momentului unghiular \mathbf{J} , este mai convenabil să se introducă următoarele combinații lineare

$$J_+ = J_x + iJ_y, \quad J_- = J_x - iJ_y. \quad (29)$$

Acești operatori nu sunt hermitici, așa cum sunt operatorii a și a^\dagger ai oscilatorului armonic (vezi capitolul 5), sunt numai adjuncți. Se pot deduce ușor următoarele proprietăți

$$[J_z, J_\pm] = \pm J_\pm, \quad [J_+, J_-] = 2J_z, \quad (30)$$

$$[J^2, J_+] = [J^2, J_-] = [J^2, J_z] = 0. \quad (31)$$

$$J_z(J_\pm\psi_{\gamma\mu}) = \{J_\pm J_z + [J_z, J_\pm]\}\psi_{\gamma\mu} = (\mu \pm 1)(J_\pm\psi_{\gamma\mu}). \quad (32)$$

Prin urmare $J_\pm\psi_{\gamma\mu}$ sunt FP ale lui J_z corespunzătoare autovalorilor $\mu \pm 1$, adică funcțiile respective sunt identice pînă la factorii constanți (de determinat) α_μ și β_μ :

$$\begin{aligned} J_+\psi_{\gamma\mu-1} &= \alpha_\mu\psi_{\gamma\mu}, \\ J_-\psi_{\gamma\mu} &= \beta_\mu\psi_{\gamma\mu-1}. \end{aligned} \quad (33)$$

Pe de altă parte

$$\alpha_\mu^* = (J_+\psi_{\gamma\mu-1}, \psi_{\gamma\mu}) = (\psi_{\gamma\mu-1}J_-\psi_{\gamma\mu}) = \beta_\mu, \quad (34)$$

astfel că , luînd o fază de tipul e^{ia} (cu a real) pentru funcția $\psi_{\gamma\mu}$ se poate face α_μ real și egal cu β_μ , ceea ce înseamnă

$$J_+\psi_{\gamma,\mu-1} = \alpha\mu\psi_{\gamma\mu}, J_-\psi_{\gamma\mu} = \alpha\mu\psi_{\gamma,\mu-1}, \quad (35)$$

și deci

$$\begin{aligned} \gamma &= (\psi_{\gamma\mu}, [J_x^2 + J_y^2 + J_z^2]\psi_{\gamma\mu}) = \mu^2 + a + b, \\ a &= (\psi_{\gamma\mu}, J_x^2\psi_{\gamma\mu}) = (J_x\psi_{\gamma\mu}, J_x\psi_{\gamma\mu}) \geq 0, \\ b &= (\psi_{\gamma\mu}, J_y^2\psi_{\gamma\mu}) = (J_y\psi_{\gamma\mu}, J_y\psi_{\gamma\mu}) \geq 0. \end{aligned} \quad (36)$$

Constanta de normalizare a oricărei funcții de undă nu este negativă , ceea ce implică

$$\gamma \geq \mu^2, \quad (37)$$

pentru γ fix, valoarea lui μ are limite atît superioară cît și inferioară (adică ia valori într-un interval finit).

Fie Λ și λ aceste limite (superioarăși inferiară de μ) pentru un γ dat

$$J_+\psi_{\gamma\Lambda} = 0, \quad J_-\psi_{\gamma\lambda} = 0. \quad (38)$$

Utilizînd următoarele identități operatoriale

$$\begin{aligned} J_-J_+ &= \mathbf{J}^2 - J_z^2 + J_z = \mathbf{J}^2 - J_z(J_z - 1), \\ J_+J_- &= \mathbf{J}^2 - J_z^2 + J_z = \mathbf{J}^2 - J_z(J_z + 1), \end{aligned} \quad (39)$$

acționînd asupra lui $\psi_{\gamma\Lambda}$ și $\psi_{\gamma\lambda}$ se obține

$$\begin{aligned} \gamma - \Lambda^2 - \Lambda &= 0, \\ \gamma - \lambda^2 + \lambda &= 0, \\ (\lambda - \Lambda + 1)(\lambda + \Lambda) &= 0. \end{aligned} \quad (40)$$

În plus

$$\Lambda \geq \lambda \rightarrow \Lambda = -\lambda = J \rightarrow \gamma = J(J+1). \quad (41)$$

Pentru un γ dat (fix) proiecția momentului μ ia $2J+1$ valori care diferă printr-o unitate între J și $-J$. De aceea, diferența $\Lambda - \lambda = 2J$ trebuie să fie un număr întreg și deci autovalorile lui J_z numerotate prin m sunt întregi

$$m = k, \quad k = 0, \pm 1, \pm 2, \dots, \quad (42)$$

sau semiîntregi

$$m = k + \frac{1}{2}, \quad k = 0, \pm 1, \pm 2, \dots. \quad (43)$$

O stare de $\gamma = J(J+1)$ dată indică o degenerare de grad $g = 2J+1$ față de autovalorile m (aceasta pentru că J_i, J_k comută cu J^2 dar nu comută între ele).

Prin “stare de moment unghiular J ” se înțelege în majoritatea cazurilor, o stare cu $\gamma = J(J+1)$ care are valoarea maximă a momentului proiectat, respectiv J . Este comun să se noteze aceste stări cu ψ_{jm} sau de ket Dirac $|jm\rangle$.

Să obținem acum elementele de matrice ale lui J_x, J_y în reprezentarea în care J^2 și J_z sunt diagonale. În acest caz, din (35) și (39) se obține că

$$\begin{aligned} J_- J_+ \psi_{jm-1} &= \alpha_m J_- \psi_{jm} = \alpha_m \psi_{jm-1}, \\ J(J+1) - (m-1)^2 - (m-1) &= \alpha_m^2, \\ \alpha_m &= \sqrt{(J+m)(J-m+1)}. \end{aligned} \quad (44)$$

Combinînd (44) cu (35) se obține

$$J_+ \psi_{jm-1} = \sqrt{(J+m)(J-m+1)} \psi_{jm}, \quad (45)$$

rezultă că elementul de matrice al lui J_+ este

$$\langle jm | J_+ | jm-1 \rangle = \sqrt{(J+m)(J-m+1)} \delta_{nm}, \quad (46)$$

și analog

$$\langle jm | J_- | jm \rangle = -\sqrt{(J+m)(J-m+1)} \delta_{nm-1}. \quad (47)$$

În sfîrșit, din definițiile (29) pentru J_+, J_- se obține ușor

$$\begin{aligned} \langle jm | J_x | jm-1 \rangle &= \frac{1}{2} \sqrt{(J+m)(J-m+1)}, \\ \langle jm | J_y | jm-1 \rangle &= \frac{-i}{2} \sqrt{(J+m)(J-m+1)}. \end{aligned} \quad (48)$$

Concluzii parțiale

α Proprietăți ale autovalorilor lui \mathbf{J} și J_z

Dacă $j(j+1)\hbar^2$ și $m\hbar$ sunt autovalori ale lui \mathbf{J} și J_z asociate cu autovectorii $|kjm\rangle$, atunci j și m satisfac inegalitatea

$$-j \leq m \leq j.$$

β Proprietăți ale vectorului $J_-|kjm\rangle$

Fie $|kjm\rangle$ un eigenvector al lui \mathbf{J}^2 și J_z cu autovalorile $j(j+1)\hbar^2$ și $m\hbar$

- (i) Dacă $m = -j$ atunci $J_-|kj-j\rangle = 0$.
- (ii) Dacă $m > -j$ atunci $J_-|kjm\rangle$ este un vector propriu nenul al lui J^2 și J_z cu autovalorile $j(j+1)\hbar^2$ și $(m-1)\hbar$.

γ Proprietăți ale vectorului $J_+|kjm\rangle$

Fie $|kjm\rangle$ un vector (ket) propriu al lui \mathbf{J}^2 și J_z cu autovalorile $j(j+1)\hbar^2$ și $m\hbar$

- ★ Dacă $m = j$ atunci $J_+|kjm\rangle = 0$.
- ★ Dacă $m < j$ atunci $J_+|kjm\rangle$ este un vector nenul al lui \mathbf{J}^2 și J_z cu autovalorile $j(j+1)\hbar^2$ și $(m+1)\hbar$

δ Consecințe ale proprietăților anterioare

$$\begin{aligned} J_z|kjm\rangle &= m\hbar|kjm\rangle, \\ J_+|kjm\rangle &= m\hbar\sqrt{j(j+1) - m(m+1)}|kjm+1\rangle, \\ J_-|kjm\rangle &= m\hbar\sqrt{j(j+1) - m(m-1)}|kjm+1\rangle. \end{aligned}$$

Aplicații ale momentului cinetic orbital

Am considerat pînă acum proprietățile momentului cinetic derivate numai pe baza relațiilor de comutare. Să ne întoarcem la momentul cinetic \mathbf{l} al unei particule fără rotație intrinsecă și să vedem cum se aplică teoria din secțiunea anterioară la cazul particular important

$$[\hat{l}_i, \hat{p}_j] = i\varepsilon_{ijk}\hat{p}_k. \quad (49)$$

Mai întâi, \hat{l}_z și \hat{p}_j au un sistem comun de funcții proprii. Pe de altă parte, Hamiltonianul unei particule libere

$$\hat{H} = \left(\frac{\hat{\vec{p}}}{\sqrt{2m}} \right)^2,$$

fiind pătratul unui operator vectorial are același sistem complet de FP cu \hat{l}^2 și \hat{l}_z . În plus, aceasta implică că particula liberă se poate găsi într-o stare cu E, l, m bine determinate.

Valori proprii și funcții proprii ale lui \mathbf{l}^2 și \mathbf{L}_z

Este mai convenabil să se lucreze cu coordonate sferice (sau polare), pentru că, așa cum vom vedea, diferiți operatori de moment cinetic acționează numai asupra variabilelor unghiulare θ, ϕ și nu și asupra variabilei r . În loc de a caracteriza vectorul r prin componentele carteziene x, y, z să determinăm punctul corespunzător M de rază vectorie \mathbf{r} prin coordonatele sferice tridimensionale

$$x = r \cos \phi \sin \theta, \quad y = r \sin \phi \sin \theta, \quad z = r \cos \theta, \quad (50)$$

cu

$$r \geq 0, \quad 0 \leq \theta \leq \pi, \quad 0 \leq \phi \leq 2\pi.$$

Fie $\Phi(r, \theta, \phi)$ și $\Phi'(r, \theta, \phi)$ funcțiile de undă ale unei particule în Σ și Σ' în care rotația infinitesimală este dată prin $\delta\alpha$ în jurul lui z

$$\begin{aligned} \Phi'(r, \theta, \phi) &= \Phi(r, \theta, \phi + \delta\alpha), \\ &= \Phi(r, \theta, \phi) + \delta\alpha \frac{\partial \Phi}{\partial \phi}, \end{aligned} \quad (51)$$

sau

$$\Phi'(r, \theta, \phi) = (1 + i\hat{l}_z \delta\alpha) \Phi(r, \theta, \phi). \quad (52)$$

Rezultă că

$$\frac{\partial \Phi}{\partial \phi} = i\hat{l}_z \Phi, \quad \hat{l}_z = -i \frac{\partial}{\partial \phi}. \quad (53)$$

Pentru o rotație infinitesimală în x

$$\begin{aligned} \Phi'(r, \theta, \phi) &= \Phi + \delta\alpha \left(\frac{\partial \Phi}{\partial \theta} \frac{\partial \theta}{\partial \alpha} + \frac{\partial \Phi}{\partial \phi} \frac{\partial \phi}{\partial \alpha} \right), \\ &= (1 + i\hat{l}_x \delta\alpha) \Phi(r, \theta, \phi), \end{aligned} \quad (54)$$

însă într-o astfel de rotație

$$z' = z + y\delta\alpha; \quad z' = z + y\delta\alpha; \quad x' = x \quad (55)$$

și din (50) se obține

$$\begin{aligned} r \cos(\theta + d\theta) &= r \cos \theta + r \sin \theta \sin \phi \delta\alpha, \\ r \sin \phi \sin(\theta + d\theta) &= r \sin \theta \sin \phi + r \sin \theta \sin \phi - r \cos \theta \delta\alpha, \end{aligned} \quad (56)$$

adică

$$\sin \theta d\theta = \sin \theta \sin \phi \delta\alpha \rightarrow \frac{d\theta}{d\alpha} = -\sin \phi, \quad (57)$$

și

$$\begin{aligned} \cos \theta \sin \phi d\theta + \sin \theta \cos \phi d\phi &= -\cos \theta \delta\alpha, \\ \cos \phi \sin \theta \frac{d\phi}{d\alpha} &= -\cos \theta - \cos \theta \sin \phi \frac{d\theta}{d\alpha}. \end{aligned} \quad (58)$$

Substituind (57) în (56) duce la

$$\frac{d\phi}{d\alpha} = -\cot \theta \cos \phi. \quad (59)$$

Cu (56) și (58) substituite în (51) și comparînd părțile din dreapta din (51) se obține

$$\hat{l}_x = i \left(\sin \phi \frac{\partial}{\partial \theta} + \cot \theta \cos \phi \frac{\partial}{\partial \phi} \right). \quad (60)$$

În cazul rotației în y , rezultatul este similar

$$\hat{l}_y = i \left(-\cos \phi \frac{\partial}{\partial \theta} + \cot \theta \sin \phi \frac{\partial}{\partial \phi} \right). \quad (61)$$

Folosind \hat{l}_x , \hat{l}_y se pot obține deasemenea \hat{l}_\pm , \hat{l}^2

$$\begin{aligned} \hat{l}_\pm &= \exp \left[\pm i\phi \left(\pm \frac{\partial}{\partial \theta} + i \cot \theta \frac{\partial}{\partial \phi} \right) \right], \\ \hat{l}^2 &= \hat{l}_- \hat{l}_+ + \hat{l}^2 + \hat{l}_z, \\ &= - \left[\frac{1}{\sin^2 \theta} \frac{\partial^2}{\partial \phi^2} + \frac{1}{\sin \theta} \frac{\partial}{\partial \theta} \left(\sin \theta \frac{\partial}{\partial \theta} \right) \right]. \end{aligned} \quad (62)$$

Din (62) se vede că \hat{l}^2 este identic pînă la o constantă cu partea unghiulară a operatorului Laplace la o rază fixă

$$\nabla^2 f = \frac{1}{r^2} \frac{\partial}{\partial r} \left(r^2 \frac{\partial f}{\partial r} \right) + \frac{1}{r^2} \left[\frac{1}{\sin \theta} \frac{\partial}{\partial \theta} \left(\sin \theta \frac{\partial f}{\partial \theta} \right) + \frac{1}{\sin^2 \theta} \frac{\partial^2}{\partial \phi^2} \right]. \quad (63)$$

Funcții proprii ale lui l_z

$$\begin{aligned}\hat{l}_z \Phi_m &= m\Phi = -i \frac{\partial \Phi_m}{\partial \phi}, \\ \Phi_m &= \frac{1}{\sqrt{2\pi}} e^{im\phi}.\end{aligned}\quad (64)$$

Condiții de hermiticitate ale lui \hat{l}_z

$$\int_0^{2\pi} f^* \hat{l}_z g d\phi = \left(\int_0^{2\pi} g^* \hat{l}_z f d\phi \right)^* + f^* g(2\pi) - f^* g(0). \quad (65)$$

Rezultă că \hat{l}_z este hermitic în clasa de funcții pentru care

$$f^* g(2\pi) = f^* g(0). \quad (66)$$

Funcțiile proprii Φ_m ale lui \hat{l}_z aparțin clasei integrabile $\mathcal{L}^2(0, 2\pi)$ și îndeplinesc (66), cum se întâmplă pentru orice funcție care se poate dezvolta în $\Phi_m(\phi)$

$$\begin{aligned}F(\phi) &= \sum_k^k a_k e^{ik\phi}, \quad k = 0, \pm 1, \pm 2, \dots, \\ G(\phi) &= \sum_k^k b_k e^{ik\phi}, \quad k = \pm 1/2, \pm 3/2, \pm 5/2 \dots,\end{aligned}\quad (67)$$

cu k numai întregi sau numai semiîntregi, dar nu pentru combinații de $F(\phi)$ și $G(\phi)$.

Alegerea corectă a lui m se bazează în FP comune ale lui \hat{l}_z și \hat{l}^2 .

Armonice sferice

În reprezentarea $\{\mathbf{r}\}$, funcțiile proprii asociate cu autovalorile $l(l+1)\hbar^2$, ale lui \mathbf{I}^2 și $m\hbar$ ale lui l_z sunt soluții ale ecuațiilor diferențiale parțiale

$$\begin{aligned}- \left(\frac{\partial^2}{\partial \theta^2} + \frac{1}{\tan \theta} \frac{\partial}{\partial \theta} + \frac{1}{\sin^2 \theta} \frac{\partial^2}{\partial \phi^2} \right) \psi(r, \theta, \phi) &= l(l+1)\hbar^2 \psi(r, \theta, \phi), \\ -i \frac{\partial}{\partial \phi} \psi(r, \theta, \phi) &= m\hbar \psi(r, \theta, \phi).\end{aligned}\quad (68)$$

Considerînd că rezultatele generale obținute sunt aplicabile la cazul momentului cinetic, știm că l este un întreg sau semiîntreg și că pentru l fixați m poate lua numai valorile

$$-l, -l+1, \dots, l-1, l.$$

În (68), r nu apare în operatorul diferențial, așa că se poate considera ca un parametru și se poate ține cont numai de dependența în θ , ϕ a lui ψ . Se folosește notația $Y_{lm}(\theta, \phi)$ pentru o astfel de funcție proprie comună a lui \mathbf{L}^2 și l_z , corespunzătoare autovalorilor $l(l+1)\hbar^2$, $m\hbar$ și se numește armonică sferică .

$$\begin{aligned}\mathbf{L}^2 Y_{lm}(\theta, \phi) &= l(l+1)\hbar^2 Y_{lm}(\theta, \phi), \\ l_z Y_{lm}(\theta, \phi) &= m\hbar Y_{lm}(\theta, \phi).\end{aligned}\tag{69}$$

Pentru a fi cât mai riguroși, trebuie să introducem un indice adițional cu scopul de a distinge între diferite soluții ale lui (69), care corespund aceleași perechi de valori l , m . Într-adevăr, după cum se va vedea mai departe, aceste ecuații au o soluție unică (pînă la un factor constant) pentru fiecare pereche de valori permise ale lui l , m ; aceasta pentru că subindicii l , m sunt suficienți în contextul respectiv. Soluțiile $Y_{lm}(\theta, \phi)$ au fost găsite prin metoda separării variabilelor în coordonate sferice (vezi capitolul *Atomul de hidrogen*)

$$\psi_{lm}(r, \theta, \phi) = f(r)\psi_{lm}(\theta, \phi),\tag{70}$$

unde $f(r)$ este o funcție de r , care apare ca o constantă de integrare din punctul de vedere al ecuațiilor diferențiale parțiale din (68). Faptul că $f(r)$ este arbitrară arată că \mathbf{L}^2 și l_z nu formează un set complet de observabile² în spațiul ε_r ³ al funcțiilor de \vec{r} (sau de r, θ, ϕ).

Cu obiectivul de a normaliza $\psi_{lm}(r, \theta, \phi)$, este convenabil să se normalizeze $Y_{lm}(\theta, \phi)$ și $f(r)$ în mod separat:

$$\int_0^{2\pi} d\phi \int_0^\pi \sin\theta |\psi_{lm}(\theta, \phi)|^2 d\theta = 1,\tag{71}$$

$$\int_0^\infty r^2 |f(r)|^2 dr = 1.\tag{72}$$

Valorile perechii l , m

(α): l , m trebuie să fie întregi

Folosind $l_z = \frac{\hbar}{i} \frac{\partial}{\partial \phi}$, putem scrie (69) după cum urmează

$$\frac{\hbar}{i} \frac{\partial}{\partial \phi} Y_{lm}(\theta, \phi) = m\hbar Y_{lm}(\theta, \phi),\tag{73}$$

²Prin definiție, operatorul hermitic A este o observabilă dacă acest sistem ortogonal de vectori reprezintă o bază în spațiul configurațiilor de stări.

³Fiecare stare cuantică a particulei este caracterizată printr-o stare vectorială aparținând unui spațiu vectorial abstract ε_r .

care arată că

$$Y_{lm}(\theta, \phi) = F_{lm}(\theta, \phi)e^{im\phi}. \quad (74)$$

Dacă permitem ca $0 \leq \phi < 2\pi$, atunci putem acoperi tot spațiul pentru că funcția trebuie să fie continuă în orice zonă, astfel că

$$Y_{lm}(\theta, \phi = 0) = Y_{lm}(\theta, \phi = 2\pi), \quad (75)$$

ceea ce implică

$$e^{im\pi} = 1. \quad (76)$$

Așa cum s-a văzut, m este un întreg sau semiîntreg; în cazul aplicației la momentul cinetic orbital, m trebuie să fie un întreg. ($e^{2im\pi}$ ar fi -1 dacă m ar fi semiîntreg).

(β): Pentru o valoare dată a lui l , toate armonicele sferice Y_{lm} corespunzătoare se pot obține prin metode algebrice folosind

$$l_+ Y_l(\theta, \phi) = 0, \quad (77)$$

care combinată cu ec. (62) pentru l_+ duce la

$$\left(\frac{d}{d\theta} - l \cot \theta \right) F_l(\theta) = 0. \quad (78)$$

Această ecuație poate fi integrată imediat dacă notăm relația

$$\cot \theta d\theta = \frac{d(\sin \theta)}{\sin \theta}. \quad (79)$$

Soluția sa generală este

$$F_l = c_l (\sin \theta)^l, \quad (80)$$

unde c_l este o constantă de normalizare.

Rezultă că pentru orice valoare pozitivă sau zero a lui l , există o funcție $Y_l(\theta, \phi)$ care este (cu un factor constant asociat)

$$Y^{ll}(\theta, \phi) = c_l (\sin \theta)^l e^{il\phi}. \quad (81)$$

Folosind acțiunea lui l_- în mod repetat se poate construi tot setul de funcții $Y_{l-1}(\theta, \phi), \dots, Y_{l_0}(\theta, \phi), \dots, Y_{l-l}(\theta, \phi)$. În continuare, vedem modul în care se corespund aceste funcții cu perechea de autovalori $l(l+1)\hbar, m\hbar$ (unde l este un întreg pozitiv arbitrar sau zero și m este alt întreg astfel că $l \leq m \leq l$). Pe baza lui (78) ajungem la concluzia că orice funcție proprie $Y_{lm}(\theta, \phi)$, poate fi obținută în mod neambiguu din Y_l .

Proprietăți ale armonicelor sferice

α *Relații de recurență*

Urmînd rezultatele generale avem

$$l_{\pm} Y_{lm}(\theta, \phi) = \hbar \sqrt{l(l+1) - m(m \pm 1)} Y_{l, m \pm 1}(\theta, \phi). \quad (82)$$

Folosind expresia (62) pentru l_{\pm} și faptul că $Y_{lm}(\theta, \phi)$ este produsul între o funcție dependentă numai de θ și $e^{\pm i\phi}$, obținem

$$e^{\pm i\phi} \left(\frac{\partial}{\partial \theta} - m \cot \theta \right) Y_{lm}(\theta, \phi) = \sqrt{l(l+1) - m(m \pm 1)} Y_{l, m \pm 1}(\theta, \phi) \quad (83)$$

β *Ortonormare și relații de completitudine*

Ecuția (68) determină numai armonicile sferice pînă la un factor constant. Acum vom alege acest factor astfel ca să avem ortonormalizarea funcțiilor $Y_{lm}(\theta, \phi)$ (ca funcții de variabilele unghiulare θ, ϕ)

$$\int_0^{2\pi} d\phi \int_0^{\pi} \sin \theta d\theta Y_{lm}^*(\theta, \phi) Y_{l'm'}(\theta, \phi) = \delta_{l'l} \delta_{m'm}. \quad (84)$$

În plus, orice funcție continuă de θ, ϕ pot fi expresate cu ajutorul armonicelor sferice, adică

$$f(\theta, \phi) = \sum_{l=0}^{\infty} \sum_{m=-l}^l c_{lm} Y_{lm}(\theta, \phi), \quad (85)$$

unde

$$c_{lm} = \int_0^{2\pi} d\phi \int_0^{\pi} \sin \theta d\theta Y_{lm}^*(\theta, \phi) f(\theta, \phi). \quad (86)$$

Rezultatele (85), (86) sunt consecința definirii armonicelor sferice ca bază ortonormală completă în spațiul ε_{Ω} a funcțiilor de θ, ϕ . Relația de completitudine este

$$\begin{aligned} \sum_{l=0}^{\infty} \sum_{m=l}^l Y_{lm}(\theta, \phi) Y_{lm}^*(\theta', \phi) &= \delta(\cos \theta - \cos \theta') \delta(\phi, \phi), \\ &= \frac{1}{\sin \theta} \delta(\theta - \theta') \delta(\phi, \phi). \end{aligned} \quad (87)$$

'Funcția' $\delta(\cos \theta - \cos \theta')$ apare pentru că integrala peste variabila θ se efectuează folosind elementul diferențial $\sin \theta d\theta = -d(\cos \theta)$.

Operatorul de paritate \mathcal{P} în cazul armonicelor sferice

Comportamentul lui \mathcal{P} în trei dimensiuni este destul de asemănător celui într-o singură dimensiune, respectiv, cînd se aplică unei funcții $\psi(x, y, z)$ de coordonate carteziene îi modifică numai semnul fiecăreia dintre coordonate

$$\mathcal{P}\psi(x, y, z) = \psi(-x, -y, -z). \quad (88)$$

\mathcal{P} are proprietățile unui operator hermitic și în plus este un operator unitar precum și projector deoarece \mathcal{P}^2 este un operator identitate

$$\begin{aligned} \langle \psi(\mathbf{r}) | \mathcal{P} | \psi(\mathbf{r}) \rangle &= \langle \psi(\mathbf{r}) | \psi(-\mathbf{r}) \rangle = \langle \psi(-\mathbf{r}) | \psi(\mathbf{r}) \rangle, \\ \mathcal{P}^2 | \mathbf{r} \rangle &= \mathcal{P}(\mathcal{P} | \mathbf{r} \rangle) = \mathcal{P} | -\mathbf{r} \rangle = | \mathbf{r} \rangle \end{aligned} \quad (89)$$

și deci

$$\mathcal{P}^2 = \hat{1}, \quad (90)$$

pentru care valorile proprii sunt $P = \pm 1$. FP-urile se numesc pare dacă $P = 1$ și impare dacă $P = -1$. În mecanica cuantică nerelativistă, operatorul \hat{H} pentru un sistem conservativ este invariant la transformări unitare discrete

$$\mathcal{P}\hat{H}\mathcal{P} = \mathcal{P}^{-1}\hat{H}\mathcal{P} = \hat{H}. \quad (91)$$

Astfel \hat{H} comută cu \mathcal{P} și deci paritatea stării este constantă de mișcare. Deasemenea \mathcal{P} comută cu operatorii \hat{l} și \hat{l}_{\pm}

$$[\mathcal{P}, \hat{l}_i] = 0, \quad [\mathcal{P}, \hat{l}_{\pm}] = 0. \quad (92)$$

Dacă ψ este FP a tripletei \mathcal{P} , \hat{l} și \hat{l}_z , din (92) rezultă că paritățile stărilor care diferă numai în \hat{l}_z coincid. În felul acesta se identifică paritatea unei particule de moment unghiular \hat{l} .

În coordonate sferice, pentru acest operator vom considera următoarea substituție

$$r \rightarrow r, \quad \theta \rightarrow \pi - \theta \quad \phi \rightarrow \pi + \phi. \quad (93)$$

Prin urmare, dacă folosim o bază standard în spațiul funcțiilor de undă a unei particule fără 'rotație proprie', partea radială a funcțiilor $\psi_{klm}(\vec{r})$ din bază nu este modificată de către operatorul paritate. Doar armonicile sferice se schimbă. Transformările (93) se traduc trigonometric în:

$$\sin(\pi - \theta) \rightarrow \sin \theta, \quad \cos(\pi - \theta) \rightarrow -\cos \theta \quad e^{im(\pi + \phi)} \rightarrow (-1)^m e^{im\phi} \quad (94)$$

și în aceste condiții, funcția $Y_{ll}(\theta, \phi)$ se transformă în

$$Y_{ll}(\phi - \theta, \pi + \phi) = (-1)^l Y_{ll}(\theta, \phi) . \quad (95)$$

Din (95) rezultă că paritatea lui Y_{ll} este $(-1)^l$. Pe de altă parte, l_- (ca și l_+ este invariant la transformările:

$$\frac{\partial}{\partial(\pi - \theta)} \rightarrow -\frac{\partial}{\partial\theta}, \quad \frac{\partial}{\partial(\pi + \phi)} \rightarrow \frac{\partial}{\partial\phi} \quad e^{i(\pi+\phi)} \rightarrow -e^{i\phi} \quad \cot(\pi-\theta) \rightarrow -\cot\theta . \quad (96)$$

Cu alte cuvinte l_{\pm} sunt pari. Prin urmare, deducem că paritatea oricărei armonice sferice este $(-1)^l$, adică este invariantă la schimbări azimutale:

$$Y_{lm}(\phi - \theta, \pi + \phi) = (-1)^l Y_{lm}(\theta, \phi) . \quad (97)$$

Așadar, armonicile sferice sunt funcții de paritate bine definită , independentă de m , pară dacă l este par și impară dacă l este impar.

Operatorul de spin

Unele particule, posedă nu numai moment cinetic în raport cu axe exterioare ci și un *moment propriu*, care se cunoaște ca *spin* și pe care îl vom nota cu \hat{S} . Acest operator nu este relaționat cu rotații normale față de axe ‘reale’ în spațiu, dar respectă relații de comutare de același tip ca ale momentului cinetic orbital, respectiv

$$[\hat{S}_i, \hat{S}_j] = i\varepsilon_{ijk} \hat{S}_k , \quad (98)$$

odată cu următoarele proprietăți:

- (1). Pentru spin, se satisfac toate formulele de la (23) pînă la (48) ale momentului cinetic.
- (2). Spectrul proiecțiilor de spin, este o secvență de numere întregi sau semiîntregi care diferă printr-o unitate.
- (3). Valorile proprii ale lui \hat{S}^2 sunt

$$\hat{S}^2 \psi_s = S(S+1) \psi_s . \quad (99)$$

- (4). Pentru un S dat, componentele S_z pot să ia numai $2S+1$ valori, de la $-S$ la $+S$.

- (5). FP-urile particulelor cu spin, pe lângă dependența de \vec{r} și/sau \vec{p} , depind de o variabilă discretă (proprie spinului) σ , care denotă proiecția spinului pe axa z .
- (6). FP-urile $\psi(\vec{r}, \sigma)$ ale unei particule cu spin se pot dezvolta în FP-uri cu proiecții date ale spinului S_z , adică

$$\psi(\vec{r}, \sigma) = \sum_{\sigma=-S}^S \psi_{\sigma}(\vec{r})\chi(\sigma), \quad (100)$$

unde $\psi_{\sigma}(\vec{r})$ este partea orbitală și $\chi(\sigma)$ este partea spinorială .

- (7). Funcțiile de spin (spinorii) $\chi(\sigma_i)$ sunt ortogonale pentru orice pereche $\sigma_i \neq \sigma_k$. Funcțiile $\psi_{\sigma}(\vec{r})\chi(\sigma)$ din suma (100) sunt componentele unei FP a unei particule cu spin.
- (8). Funcția $\psi_{\sigma}(\vec{r})$ se numește parte orbitală a spinorului, sau mai scurt orbital.
- (9) Normalizarea spinorilor se face în felul următor

$$\sum_{\sigma=-S}^S \|\psi_{\sigma}(\vec{r})\| = 1. \quad (101)$$

Relațiile de comutare permit să se stabilească forma concretă a operatorilor (matricelor) de spin care acționează în spațiul FP-urilor operatorului proiecției spinului.

Multe particule ‘elementare’, cum ar fi electronul, neutronul, protonul, etc. au spin $1/2$ și de aceea proiecția spinului lor ia numai două valori, respectiv $S_z = \pm 1/2$ (în unități \hbar). Fac parte din clasa fermionilor, datorită statisticii pe care o prezintă când formează sisteme de multe corpuri.

Pe de altă parte, matricele S_x , S_y , S_z în spațiul FP-urilor lui \hat{S}^2 , \hat{S}_z sunt

$$\begin{aligned} S_x &= \frac{1}{2} \begin{pmatrix} 0 & 1 \\ 1 & 0 \end{pmatrix}, & S_y &= \frac{1}{2} \begin{pmatrix} 0 & -i \\ i & 0 \end{pmatrix}, \\ S_z &= \frac{1}{2} \begin{pmatrix} 1 & 0 \\ 0 & -1 \end{pmatrix}, & S^2 &= \frac{3}{4} \begin{pmatrix} 1 & 0 \\ 0 & 1 \end{pmatrix}. \end{aligned} \quad (102)$$

Definiția matricelor Pauli

Matricele

$$\sigma_i = 2S_i \quad (103)$$

se numesc matricele (lui) Pauli. Sunt matrici hermitice și au aceeași ecuație caracteristică

$$\lambda^2 - 1 = 0, \quad (104)$$

și prin urmare, autovalorile lui σ_x , σ_y și σ_z sunt

$$\lambda = \pm 1. \quad (105)$$

Algebra acestor matrici este următoarea:

$$\sigma_i^2 = \hat{I}, \quad \sigma_k \sigma_j = -\sigma_j \sigma_k = i\sigma_z, \quad \sigma_j \sigma_k = i \sum_l \varepsilon_{jkl} \sigma_l + \delta_{jk} I. \quad (106)$$

În cazul în care sistemul cu spin are simetrie sferică

$$\psi_1(r, +\frac{1}{2}), \quad \psi_1(r, -\frac{1}{2}), \quad (107)$$

sunt soluții diferite datorită proiecțiilor S_z diferite. Valoarea probabilității uneia sau alteia dintre proiecții este determinată de modulul pătrat $\|\psi_1\|^2$ sau $\|\psi_2\|^2$ în așa fel că

$$\|\psi_1\|^2 + \|\psi_2\|^2 = 1. \quad (108)$$

Cum FP ale lui S_z are două componente, atunci

$$\chi_1 = \begin{pmatrix} 1 \\ 0 \end{pmatrix}, \quad \chi_2 = \begin{pmatrix} 0 \\ 1 \end{pmatrix}, \quad (109)$$

astfel că FP a unei particule de spin 1/2 se poate scrie ca o matrice de o coloană

$$\psi = \psi_1 \chi_1 + \psi_2 \chi_2 = \begin{pmatrix} \psi_1 \\ \psi_2 \end{pmatrix}. \quad (110)$$

În continuare, orbitalii vor fi substituiți prin numere datorită faptului că ne interesează numai partea de spin.

Transformările la rotații ale spinorilor

Fie ψ funcția de undă a unui sistem cu spin în Σ . Să determinăm probabilitatea proiecției spinului într-o direcție arbitrară în spațiul tridimensional (3D) care se poate alege ca axă z' a lui Σ' . Cum am văzut deja pentru cazul momentului cinetic, există două metode de abordare și soluționare a acestei probleme:

- (α) ψ nu se schimbă când $\Sigma \rightarrow \Sigma'$ și operatorul $\hat{\Lambda}$ se transformă ca un vector. Trebuie să găsim FP-urile proiecțiilor S'_z și să dezvoltăm ψ în aceste FP-uri. Pătratele modulelor coeficienților dau rezultatul

$$\begin{aligned}\hat{S}'_x &= \hat{S}_x \cos \phi + \hat{S}_y \sin \phi = e^{-i\phi} \hat{S}_x e^{i\phi}, \\ \hat{S}'_y &= -\hat{S}_x \sin \phi + \hat{S}_y \cos \phi = e^{-i\phi} \hat{S}_y e^{i\phi}, \\ \hat{S}'_z &= -\hat{S}_z = e^{i\phi} \hat{S}_z,\end{aligned}\quad (111)$$

cu rotații infinitezimale și din relațiile de comutare pentru spin se poate găsi

$$\hat{l} = \hat{S}_z, \quad (112)$$

unde \hat{l} este generatorul infinitezimal.

- (β) A doua reprezentare este: \hat{S} nu se schimbă când $\Sigma \rightarrow \Sigma'$ și componentele lui ψ se schimbă. Transformarea la această reprezentare se face cu o transformare unitară de forma

$$\begin{aligned}\hat{V}^\dagger \hat{S}' \hat{V} &= \hat{\Lambda}, \\ \begin{pmatrix} \psi'_1 \\ \psi'_2 \end{pmatrix} &= \hat{V}^\dagger \begin{pmatrix} \psi_1 \\ \psi_2 \end{pmatrix}.\end{aligned}\quad (113)$$

Pe baza lui (111) și (113) rezultă că

$$\begin{aligned}\hat{V}^\dagger e^{-i\hat{S}_z \phi} \hat{S} e^{i\hat{S}_z \phi} \hat{V} &= \hat{S}, \\ \hat{V}^\dagger &= e^{i\hat{S}_z \phi},\end{aligned}\quad (114)$$

și din (114) se obține

$$\begin{pmatrix} \psi'_1 \\ \psi'_2 \end{pmatrix} = e^{i\hat{S}_z \phi} \begin{pmatrix} \psi_1 \\ \psi_2 \end{pmatrix}.\quad (115)$$

Folosind forma concretă a lui \hat{S}_z și proprietățile matricelor Pauli se obține forma concretă \hat{V}_z^\dagger , astfel că

$$\hat{V}_z^\dagger(\phi) = \begin{pmatrix} e^{\frac{i}{2}\phi} & 0 \\ 0 & e^{-\frac{i}{2}\phi} \end{pmatrix}. \quad (116)$$

Un rezultat al lui Euler

Se poate ajunge la orice sistem de referință Σ' de orientare arbitrară față de Σ prin numai trei rotații, prima de unghi ϕ în jurul axei z , următoarea rotație de unghi θ în jurul noii axe de coordonate x' și ultima de unghi ψ_a în jurul lui z' . Acest rezultat important aparține lui Euler.

Parametrii $(\varphi, \theta, \psi_a)$ se numesc unghiurile (lui) Euler

$$\hat{V}^\dagger(\varphi, \theta, \psi_a) = \hat{V}_{z'}^\dagger(\psi_a) \hat{V}_{x'}^\dagger(\theta) \hat{V}_z^\dagger(\varphi). \quad (117)$$

Matricele \hat{V}_z^\dagger sunt de forma (116), în timp ce \hat{V}_x^\dagger este de forma

$$\hat{V}_x^\dagger(\varphi) = \begin{pmatrix} \cos \frac{\theta}{2} & i \sin \frac{\theta}{2} \\ i \sin \frac{\theta}{2} & \cos \frac{\theta}{2} \end{pmatrix}, \quad (118)$$

astfel că

$$\hat{V}^\dagger(\varphi, \theta, \psi_a) = \begin{pmatrix} e^{i\frac{\varphi+\psi_a}{2}} \cos \frac{\theta}{2} & i e^{i\frac{\psi_a-\varphi}{2}} \sin \frac{\theta}{2} \\ i e^{i\frac{\varphi-\psi_a}{2}} \sin \frac{\theta}{2} & e^{-i\frac{\varphi+\psi_a}{2}} \cos \frac{\theta}{2} \end{pmatrix}. \quad (119)$$

Rezultă deci că prin rotația lui Σ , componentele funcției spinoriale se transformă după cum urmează

$$\begin{aligned} \psi'_1 &= \psi_1 e^{i\frac{\varphi+\psi_a}{2}} \cos \frac{\theta}{2} + i\psi_2 e^{i\frac{\psi_a-\varphi}{2}} \sin \frac{\theta}{2}, \\ \psi'_2 &= i\psi_1 e^{i\frac{\varphi-\psi_a}{2}} \sin \frac{\theta}{2} + \psi_2 e^{-i\frac{\varphi+\psi_a}{2}} \cos \frac{\theta}{2}. \end{aligned} \quad (120)$$

Din (120) se poate vedea că unei rotații în E_3 îi corespunde o transformare lineară în E_2 , spațiul euclidian bidimensional, relaționată cu cele două componente ale funcției spinoriale. Rotația în E_3 nu implică o rotație în E_2 , ceea ce înseamnă

$$\langle \Phi' | \psi' \rangle = \langle \Phi | \psi \rangle = \Phi_1^* \psi_1 + \Phi_2^* \psi_2. \quad (121)$$

Din (119) se obține că (121) nu se satisface, totuși există o invarianță în transformările (119) în spațiul E_2 al funcțiilor spinoriale,

$$\{\Phi|\psi\} = \psi_1\Phi_2 - \psi_2\Phi_1. \quad (122)$$

Transformările lineare care mențin invariante astfel de forme bilineare se numesc binare.

O mărime fizică cu două componente pentru care o rotație a sistemului de coordonate este o transformare binară se numește *spin de ordinul întâi* sau pe scurt *spin*.

Spinorii unui sistem de doi fermioni

Funcțiile proprii ale lui ${}_i\hat{s}^2$ ${}_i\hat{s}_z$, cu $i = 1, 2$ au următoarea formă

$${}_i|+\rangle = \begin{pmatrix} 1 \\ 0 \end{pmatrix}_i, \quad {}_i|-\rangle = \begin{pmatrix} 0 \\ 1 \end{pmatrix}_i. \quad (123)$$

Un operator foarte folosit într-un sistem de doi fermioni este spinul total

$$\hat{S} = {}_1\hat{S} + {}_2\hat{S} \quad (124)$$

Spinorii lui \hat{s}^2 \hat{s}_z sunt ket-uri $|\hat{S}, \sigma\rangle$, care sunt combinații lineare ale spinorilor ${}_i\hat{s}^2$ ${}_i\hat{s}_z$

$$\begin{aligned} |++\rangle &= \begin{pmatrix} 1 \\ 0 \end{pmatrix}_1 \begin{pmatrix} 1 \\ 0 \end{pmatrix}_1, & |+-\rangle &= \begin{pmatrix} 1 \\ 0 \end{pmatrix}_1 \begin{pmatrix} 0 \\ 1 \end{pmatrix}_2, \\ |-+\rangle &= \begin{pmatrix} 0 \\ 1 \end{pmatrix}_2 \begin{pmatrix} 1 \\ 0 \end{pmatrix}_1, & |--\rangle &= \begin{pmatrix} 0 \\ 1 \end{pmatrix}_2 \begin{pmatrix} 0 \\ 1 \end{pmatrix}_2. \end{aligned} \quad (125)$$

Funcțiile spinoriale din (125) se consideră ortonormalizate. În E_n ket-ul $|++\rangle$ este de $S_z = 1$ și în același timp este funcție proprie a operatorului

$$\hat{S} = {}_1\hat{s}^2 + 2({}_1\hat{s})({}_2\hat{s}) + {}_2\hat{s}^2. \quad (126)$$

După cum se poate vedea din

$$\hat{S}^2 = |++\rangle = \frac{3}{2}|++\rangle + 2({}_1\hat{s}_x \cdot {}_2\hat{s}_x + {}_1\hat{s}_y \cdot {}_2\hat{s}_y + {}_1\hat{s}_z \cdot {}_2\hat{s}_z)|++\rangle \quad (127)$$

$$\hat{S}^2 = |++\rangle = 2|++\rangle = 1(1+1)|++\rangle. \quad (128)$$

Dacă se introduce operatorul

$$\hat{S}_- =_1 \hat{s}_- +_2 \hat{s}_-, \quad (129)$$

se obține că

$$[\hat{S}_-, \hat{S}^2] = 0. \quad (130)$$

Atunci $(\hat{S}_-)^k |1, 1\rangle$ se poate scrie în funcție de FP-urile operatorului \hat{S}^2 , respectiv

$$\hat{S}_- |1, 1\rangle = \hat{S}_- |++\rangle = \sqrt{2} |+-\rangle + \sqrt{2} |-+\rangle. \quad (131)$$

Rezultă că $S_z = 0$ în starea $\hat{S}_- |1, 1\rangle$. Pe de altă parte, din condiția de normalizare avem

$$|1, 0\rangle = \frac{1}{\sqrt{2}} (|+-\rangle + |-+\rangle) \quad (132)$$

$$\hat{S}_- |1, 0\rangle = |--\rangle + |--\rangle = \alpha |1, -1\rangle. \quad (133)$$

Din condiția de normalizare

$$|1, -1\rangle = |--\rangle. \quad (134)$$

Există încă o singură combinație linear independentă de funcții de tip (125) diferită de $|1, 1\rangle$, $|1, 0\rangle$ y $|1, -1\rangle$, respectiv

$$\psi_4 = \frac{1}{\sqrt{2}} (|+-\rangle - |-+\rangle), \quad (135)$$

$$\hat{S}_z \psi_4 = 0, \quad \hat{S}^2 \psi_4. \quad (136)$$

Prin urmare

$$\psi_4 = |0, 0\rangle. \quad (137)$$

ψ_4 descrie starea unui sistem de doi fermioni cu spinul total egal zero. Acest tip de stare se numește *singlet*. Pe de altă parte, starea a doi fermioni de spin total egal unu se poate numi *triplet* avînd un grad de degenerare $g = 3$.

Moment unghiular total

Momentul unghiular total este un operator care se introduce ca suma momentului unghiular orbital și de spin, respectiv

$$\hat{J} = \hat{l} + \hat{S}, \quad (138)$$

unde \hat{l} și \hat{S} , așa cum am văzut, acționează în spații diferite, dar pătratele lui \hat{l} și \hat{S} comută cu \hat{J} , adică

$$[\hat{J}_i, \hat{J}_j] = i\varepsilon_{ijk}\hat{J}_k, \quad [\hat{J}_i, \hat{l}^2] = 0, \quad [\hat{J}_i, \hat{S}^2] = 0, \quad (139)$$

Din (139) rezultă că \hat{l}^2 și \hat{S}^2 au un sistem comun de FP-uri cu \hat{J}^2 și \hat{J}_z .

Să determinăm spectrul proiecțiilor lui \hat{J}_z pentru un fermion. Starea de proiecție de \hat{J}_z maxim se poate scrie

$$\bar{\psi} = \psi_U \begin{pmatrix} 1 \\ 0 \end{pmatrix} = |l, l, +\rangle \quad (140)$$

$$\hat{j}_z \psi = (l + \frac{1}{2})\bar{\psi}, \rightarrow j = l + \frac{1}{2}. \quad (141)$$

Introducem operatorul \hat{J}_- definit prin

$$\hat{J}_- = \hat{l}_- + \hat{S}_- = \hat{l}_- + \begin{pmatrix} 0 & 0 \\ 1 & 0 \end{pmatrix}. \quad (142)$$

Pe baza normalizării $\alpha = \sqrt{(J+M)(J-M+1)}$ se obține

$$\hat{J}_- \psi_U \begin{pmatrix} 1 \\ 0 \end{pmatrix} = \sqrt{2l}|l, l-1, +\rangle + |l, l-1, -\rangle, \quad (143)$$

astfel că valoarea proiecției lui \hat{j}_- în $\hat{j}_- \bar{\psi}$ va fi

$$\hat{j}_z = (l-1) + \frac{1}{2} = l - \frac{1}{2}. \quad (144)$$

Rezultă că \hat{j}_- micșorează cu o unitate acțiunea lui \hat{J}_z .

În cazul general avem

$$\hat{j}_-^k = \hat{l}_-^k + k\hat{l}_-^{k-1}\hat{S}_-. \quad (145)$$

Se observă că (145) se obține din dezvoltarea binomială considerînd în plus că \hat{s}_-^2 și toate puterile superioare ale lui \hat{s}_- sunt zero.

$$\hat{j}_-^k |l, l, +\rangle = \hat{l}_-^k |l, l, +\rangle + k\hat{l}_-^{k-1} |l, l, -\rangle. \quad (146)$$

Știm că

$$(\hat{l}_-)^k \psi_{l,l} = \sqrt{\frac{k!(2l)!}{(2l-k)!}} \psi_{l,l-k}$$

și folosind-o se obține

$$\hat{j}_-^k |l, l, +\rangle = \sqrt{\frac{k!(2l)!}{(2l-k)!}} |l, l-k, +\rangle + \sqrt{\frac{(k+1)!(2l)!}{(2l-k+1)!}} k |l, l-k+1, -\rangle. \quad (147)$$

Notăm acum $m = l - k$

$$\hat{j}_-^{l-m} |l, l, +\rangle = \sqrt{\frac{(l-m)!(2l)!}{(l+m)!}} |l, m, +\rangle + \sqrt{\frac{(l-m-1)!(2l)!}{(2l+m+1)!}} (l-m) |l, m+1, -\rangle. \quad (148)$$

Valorile proprii ale proiecției momentului unghiular total sunt date de secvența de numere care diferă printr-o unitate de la $j = l + \frac{1}{2}$ pînă la $j = l - \frac{1}{2}$. Toate aceste stări aparțin aceleiași funcții proprii a lui \hat{J} ca și $|l, l, +\rangle$ pentru că $[\hat{J}_-, \hat{J}^2] = 0$

$$\begin{aligned} \hat{J}^2 |l, l, +\rangle &= (\hat{l}^2 + 2\hat{l}\hat{S} + \hat{S}^2) |l, l, +\rangle, \\ &= [l(l+1) + 2l\frac{1}{2} + \frac{3}{4}] |l, l, +\rangle \end{aligned} \quad (149)$$

unde $j(j+1) = (l + \frac{1}{2})(l + \frac{3}{2})$.

În partea dreaptă a lui (149) o contribuție diferită de zero dă numai $j = \hat{l}_z \hat{S}_z$. Atunci FP-urile obținute corespund perechii $j = l + \frac{1}{2}$, $m_j = m + \frac{1}{2}$ și sunt de forma

$$|l + \frac{1}{2}, m + \frac{1}{2}\rangle = \sqrt{\frac{l+m+1}{2l+1}} |l, m, +\rangle + \sqrt{\frac{l-m}{2l+1}} |l, m+1, -\rangle. \quad (150)$$

Numărul total de stări linear independente este

$$N = (2l+1)(2s+1) = 4l+2, \quad (151)$$

din care în (150) s-au construit $(2j+1)=2l+3$. Restul de $2l-1$ funcții proprii se pot obține din condiția de ortonormalizare:

$$|l - \frac{1}{2}, m - \frac{1}{2}\rangle = \sqrt{\frac{l-m}{2l+1}} |l, m, +\rangle - \sqrt{\frac{l+m+1}{2l+1}} |l, m+1, -\rangle. \quad (152)$$

Dacă două subsisteme sunt în interacțiune în așa fel încît fiecare moment unghiular \hat{j}_i se conservă, atunci FP-urile operatorului moment unghiular total

$$\hat{J} = \hat{j}_1 + \hat{j}_2, \quad (153)$$

se pot obține printr-o procedură asemănătoare celei anterioare. Pentru valori proprii fixe ale lui \hat{j}_1 și \hat{j}_2 există $(2j_1+1)(2j_2+1)$ FP-uri ortonormalizate

ale proiecției momentului unghiular total \hat{J}_z , iar cea care corespunde valorii maxime a proiecției \hat{J}_z , adică $M_J = j_1 + j_2$, se poate construi în mod unic și prin urmare $J = j_1 + j_2$ este valoarea maximă a momentului unghiular total al sistemului. Aplicînd operatorul $\hat{J} = \hat{j}_1 + \hat{j}_2$ în mod repetat funcției

$$|j_1 + j_2, j_1 + j_2, j_1 + j_2\rangle = |j_1, j_1\rangle \cdot |j_2, j_2\rangle, \quad (154)$$

se pot obține toate cele $2(j_1 + j_2) + 1$ FP ale lui $\hat{J} = j_1 + j_2$ cu diferiți M :

$$-(j_1 + j_2) \leq M \leq (j_1 + j_2).$$

De exemplu, FP pentru $M = j_1 + j_2 - 1$ este:

$$|j_1 + j_2, j_1 + j_2 - 1, j_1, j_2\rangle = \sqrt{\frac{j_1}{j_1 + j_2}} |j_1, j_1 - 1, j_2, j_2\rangle + \sqrt{\frac{j_2}{j_1 + j_2}} |j_1, j_1, j_2, j_2 - 1\rangle. \quad (155)$$

Aplicînd în continuare de mai multe ori operatorul \hat{J}_- se pot obține cele $2(j_1 + j_2 - 1) - 1$ funcții ale lui $J = j_1 + j_2 - 1$.

Se poate demonstra că

$$|j_1 - j_2| \leq J \leq j_1 + j_2$$

astfel că

$$\sum_{\min J}^{\max J} (2J + 1) = (2J_1 + 1)(2J_2 + 1) \quad (156)$$

și deci

$$|J, M, j_1, j_2\rangle = \sum_{m_1 + m_2 = M} (j_1 m_1 j_2 m_2 |JM\rangle) |j_1, m_1, j_2, m_2\rangle, \quad (157)$$

unde coeficienții $(j_1 m_1 j_2 m_2 |JM\rangle)$ determină contribuția diferitelor funcții $|j_1, m_1, j_2, m_2\rangle$ în funcțiile proprii ale lui \hat{J}^2 , \hat{J}_z de valori proprii $J(J + 1)$, M și sunt numiți coeficienții Clebsch-Gordan.

Referințe:

1. H.A. Buchdahl, "Remark concerning the eigenvalues of orbital angular momentum",
Am. J. Phys. **30**, 829-831 (1962)

3N. Notă: 1. Operatorul corespunzător vectorului Runge-Lenz din problema Kepler clasică se scrie

$$\hat{A} = \frac{\hat{\mathbf{r}}}{r} + \frac{1}{2} \left[(\hat{l} \times \hat{p}) - (\hat{p} \times \hat{l}) \right].$$

unde s-au folosit unități atomice și s-a considerat $Z = 1$ (atomul de hidrogen). Acest operator comută cu Hamiltonianul atomului de hidrogen $\hat{H} = \frac{\hat{p}^2}{2} - \frac{1}{r}$, adică este integrală de mișcare cuantică. Componentele sale au comutatori de tipul $[A_i, A_j] = -2i\epsilon_{ijk}l_k \cdot H$, iar comutatorii componentelor Runge-Lenz cu componentele momentului cinetic sunt de tipul $[l_i, A_j] = i\epsilon_{ijk}A_k$, adică respectă condițiile (23). De demonstrat toate aceste relații poate fi un exercițiu util.

3P. Probleme

Problema 3.1

Să se arate că orice operator de translație, pentru care $\psi(y+a) = T_a\psi(y)$, se poate scrie ca un operator exponențial și să se aplice acest rezultat pentru $y = \vec{r}$ și pentru rotația finită α în jurul axei z .

Soluție

Demonstrația se obține dezvoltând $\psi(y+a)$ în serie Taylor în vecinătatea infinitezimală a punctului x , adică în puteri ale lui a

$$\psi(y+a) = \sum_{n=0}^{\infty} \frac{a^n}{n!} \frac{d^n}{dx^n} \psi(x)$$

Observăm că

$$\sum_{n=0}^{\infty} \frac{a^n}{n!} \frac{d^n}{dx^n} = e^{a \frac{d}{dx}}$$

și deci $T_a = e^{a \frac{d}{dx}}$ în cazul 1D. În 3D, $y = \vec{r}$ și $a \rightarrow \vec{a}$. Rezultatul este $T_{\vec{a}} = e^{\vec{a} \cdot \vec{\nabla}}$.

Pentru rotația finită α în jurul lui z avem $y = \phi$ și $a = \alpha$. Rezultă

$$T_{\alpha} = R_{\alpha} = e^{\alpha \frac{d}{d\phi}}.$$

O altă formă exponențială a rotației în z este cea în funcție de operatorul moment cinetic așa cum s-a comentat în acest capitol. Fie $x' = x + dx$, și

considerînd numai primul ordin al seriei Taylor

$$\begin{aligned}\psi(x', y', z') &= \psi(x, y, z) + (x' - x) \frac{\partial}{\partial x'} \psi(x', y', z') \Big|_{\vec{r}' = \vec{r}} \\ &\quad + (y' - y) \frac{\partial}{\partial y'} \psi(x', y', z') \Big|_{\vec{r}' = \vec{r}} \\ &\quad + (z' - z) \frac{\partial}{\partial z'} \psi(x', y', z') \Big|_{\vec{r}' = \vec{r}}.\end{aligned}$$

Ținînd cont de faptul că

$$\begin{aligned}\frac{\partial}{\partial x'_i} \psi(\vec{r}') \Big|_{\vec{r}'} &= \frac{\partial}{\partial x_i} \psi(\vec{r}), \\ x' &= x - y d\phi, \quad y' = y + x d\phi, \quad z' = z,\end{aligned}$$

se poate reduce seria din trei dimensiuni la numai două

$$\begin{aligned}\psi(\vec{r}') &= \psi(\vec{r}) + (x - y d\phi - x) \frac{\partial \psi(\vec{r})}{\partial x} + (y + x d\phi - y) \frac{\partial \psi(\vec{r})}{\partial y}, \\ &= \psi(\vec{r}) - y d\phi \frac{\partial \psi(\vec{r})}{\partial x} + x d\phi \frac{\partial \psi(\vec{r})}{\partial y}, \\ &= \left[1 - d\phi \left(-x \frac{\partial}{\partial y} + y \frac{\partial}{\partial x} \right) \right] \psi(\vec{r}).\end{aligned}$$

Cum $i\hat{l}_z = \left(x \frac{\partial}{\partial y} - y \frac{\partial}{\partial x} \right)$ rezultă că $R = \left[1 - d\phi \left(x \frac{\partial}{\partial y} - y \frac{\partial}{\partial x} \right) \right]$. Continuînd în ordinul doi se poate arăta că se obține $\frac{1}{2!} (i\hat{l}_z d\phi)^2$ și așa mai departe. Prin urmare, R poate fi scris ca exponențială

$$R = e^{i\hat{l}_z d\phi}.$$

Problema 3.2

Să se arate că pe baza expresiilor date în (14) se poate ajunge la (15).

Soluție

Să considerăm numai termenii lineari în dezvoltarea în serie Taylor (rotații infinitezimale)

$$e^{i\hat{l}_z d\phi} = 1 + i\hat{l}_z d\phi + \frac{1}{2!} (i\hat{l}_z d\phi)^2 + \dots,$$

și deci

$$\begin{aligned}
(1 + i\hat{l}_z d\phi)\hat{A}_x(1 - i\hat{l}_z d\phi) &= \hat{A}_x - \hat{A}_x d\phi, \\
(\hat{A}_x + i\hat{l}_z d\phi\hat{A}_x)(1 - i\hat{l}_z d\phi) &= \hat{A}_x - \hat{A}_x d\phi, \\
\hat{A}_x - \hat{A}_x i\hat{l}_z d\phi + i\hat{l}_z d\phi\hat{A}_x + \hat{l}_z d\phi\hat{A}_x\hat{l}_z d\phi &= \hat{A}_x - \hat{A}_x d\phi, \\
i(\hat{l}_z\hat{A}_x - \hat{A}_x\hat{l}_z)d\phi &= -\hat{A}_y d\phi.
\end{aligned}$$

Ajungem ușor la concluzia că

$$[\hat{l}_z, \hat{A}_x] = i\hat{A}_y.$$

Deasemenea, $[\hat{l}_z, \hat{A}_y] = i\hat{A}_x$ se obține din:

$$\begin{aligned}
(1 + i\hat{l}_z d\phi)\hat{A}_y(1 - i\hat{l}_z d\phi) &= \hat{A}_y d\phi - \hat{A}_y, \\
(\hat{A}_y + i\hat{l}_z d\phi\hat{A}_y)(1 - i\hat{l}_z d\phi) &= \hat{A}_y d\phi - \hat{A}_y, \\
\hat{A}_y - \hat{A}_y i\hat{l}_z d\phi + i\hat{l}_z d\phi\hat{A}_y + \hat{l}_z d\phi\hat{A}_y\hat{l}_z d\phi &= \hat{A}_y d\phi - \hat{A}_y, \\
i(\hat{l}_z\hat{A}_y - \hat{A}_y\hat{l}_z)d\phi &= -\hat{A}_x d\phi.
\end{aligned}$$

Problema 3.3

Să se determine operatorul $\frac{d\hat{\sigma}_x}{dt}$ pe baza Hamiltonianului unui electron cu spin aflat într-un câmp magnetic de inducție \vec{B} .

Soluție

Hamiltonianul în acest caz este $\hat{H}(\hat{\mathbf{p}}, \hat{\mathbf{r}}, \hat{\sigma}) = \hat{H}(\hat{\mathbf{p}}, \hat{\mathbf{r}}) + \hat{\sigma} \cdot \vec{B}$, unde ultimul termen este Hamiltonianul Zeeman pt. electron. Cum $\hat{\sigma}_x$ comută cu impulsurile și coordonatele, aplicarea ecuației de mișcare Heisenberg conduce la:

$$\frac{d\hat{\sigma}_x}{dt} = \frac{i}{\hbar}[\hat{H}, \hat{\sigma}_x] = -\frac{i}{\hbar} \frac{e\hbar}{2m_e} ((\hat{\sigma}_y B_y + \hat{\sigma}_z B_z)\hat{\sigma}_x - \hat{\sigma}_x(\hat{\sigma}_y B_y + \hat{\sigma}_z B_z))$$

Folosind $[\sigma_x, \sigma_y] = i\sigma_z$, rezultă :

$$\frac{d\hat{\sigma}_x}{dt} = \frac{e}{m_e}(\hat{\sigma}_y B_z - \hat{\sigma}_z B_y) = \frac{e}{m_e}(\vec{\sigma} \times \vec{B})_x.$$

4. METODA WKB

Pentru a studia potențiale mai realiste decât cele de *bariere și gropi rectangulare*, este necesar de multe ori să se folosească metode care să permită rezolvarea ecuației Schrödinger pentru clase generale de potențiale și care să fie o bună aproximare a soluțiilor exacte.

Scopul diferitelor metode de aproximare este să ofere soluții suficient de bune și simple, care să permită în acest fel înțelegerea comportamentului sistemului în formă cuasianalitică .

În cadrul mecanicii cuantice, una dintre cele mai vechi și eficiente metode a fost dezvoltată în mod aproape simultan de către *G. Wentzel*, *H. A. Kramers* și *L. Brillouin* în 1926, de la al căror nume derivă acronimul *WKB* sub care este cunoscută această metodă (corect este *JWKB*, vezi nota 4N).

Este important de menționat că metoda WKB se aplică mai ales ecuațiilor Schrödinger 1D și există dificultăți serioase în generalizările la dimensiuni superioare.

Pentru a rezolva ecuația Schrödinger

$$-\frac{\hbar^2}{2m} \frac{d^2\psi}{dy^2} + u(y)\psi = E\psi \quad (1)$$

presupunem că potențialul are forma:

$$u(y) = u_0 f\left(\frac{y}{a}\right) \quad (2)$$

și facem schimbul de variabilă :

$$\xi^2 = \frac{\hbar^2}{2mu_0a^2} \quad (3)$$

$$\eta = \frac{E}{u_0} \quad (4)$$

$$x = \frac{y}{a} . \quad (5)$$

Din ecuația (5) obținem:

$$\frac{d}{dx} = \frac{dy}{dx} \frac{d}{dy} = a \frac{d}{dy} \quad (6)$$

$$\frac{d^2}{dx^2} = \frac{d}{dx} \left(a \frac{d}{dy} \right) = \left(a \frac{d}{dx} \right) \left(a \frac{d}{dx} \right) = a^2 \frac{d^2}{dy^2} \quad (7)$$

și ec. Schrödinger se scrie:

$$-\xi^2 \frac{d^2\psi}{dx^2} + f(x)\psi = \eta\psi . \quad (8)$$

Multiplicînd cu $-1/\xi^2$ și definind $r(x) = \eta - f(x)$, este posibil să o scriem în forma:

$$\frac{d^2\psi}{dx^2} + \frac{1}{\xi^2}r(x)\psi = 0 . \quad (9)$$

Pentru a rezolva (9) se propune următoarea soluție:

$$\psi(x) = \exp \left[\frac{i}{\xi} \int_a^x q(x) dx \right] . \quad (10)$$

Așadar:

$$\begin{aligned} \frac{d^2\psi}{dx^2} &= \frac{d}{dx} \left(\frac{d\psi}{dx} \right) = \frac{d}{dx} \left\{ \frac{i}{\xi} q(x) \exp \left[\frac{i}{\xi} \int_a^x q(x) dx \right] \right\} \\ \implies \frac{d^2\psi}{dx^2} &= \frac{i}{\xi} \left\{ \frac{i}{\xi} q^2(x) \exp \left[\frac{i}{\xi} \int_a^x q(x) dx \right] + \frac{\partial q(x)}{\partial x} \exp \left[\frac{i}{\xi} \int_a^x q(x) dx \right] \right\} . \end{aligned}$$

Factorizînd ψ avem:

$$\frac{d^2\psi}{dx^2} = \left[-\frac{1}{\xi^2} q^2(x) + \frac{i}{\xi} \frac{dq(x)}{dx} \right] \psi . \quad (11)$$

Neglijînd pe moment dependența în x , ecuația Schrödinger se poate scrie :

$$\left[-\frac{1}{\xi^2} q^2 + \frac{i}{\xi} \frac{\partial q}{\partial x} + \frac{1}{\xi^2} r \right] \psi = 0 \quad (12)$$

și cum în general $\psi \neq 0$, avem:

$$i\xi \frac{dq}{dx} + r - q^2 = 0 , \quad (13)$$

care este o ecuație diferențială lineară de tip Riccati, a cărei soluții se caută în forma unei serii de puteri ale lui ξ cu presupunerea că ξ este foarte mic.

Mai exact seria se propune de forma:

$$q(x) = \sum_{n=0}^{\infty} (-i\xi)^n q_n(x) . \quad (14)$$

Substituind-o în Riccati obținem:

$$i\xi \sum_{n=0}^{\infty} (-i\xi)^n \frac{dq_n}{dx} + r(x) - \sum_{\mu=0}^{\infty} (-i\xi)^\mu q_\mu \sum_{\nu=0}^{\infty} (-i\xi)^\nu q_\nu = 0 . \quad (15)$$

Printr-o rearanjare a termenilor obținem:

$$\sum_{n=0}^{\infty} (-1)^n (i\xi)^{n+1} \frac{dq_n}{dx} + r(x) - \sum_{\mu=0}^{\infty} \sum_{\nu=0}^{\infty} (-i\xi)^{\mu+\nu} q_\mu q_\nu = 0 . \quad (16)$$

Seriile duble au următoarea proprietate:

$$\sum_{\mu=0}^{\infty} \sum_{\nu=0}^{\infty} a_{\mu\nu} = \sum_{n=0}^{\infty} \sum_{m=0}^n a_{m,n-m} ,$$

unde: $\mu = n - m$, $\nu = m$.

În acest fel:

$$\sum_{n=0}^{\infty} (-1)^n (i\xi)^{n+1} \frac{dq_n}{dx} + r(x) - \sum_{n=0}^{\infty} \sum_{m=0}^n (-i\xi)^{n-m+m} q_m q_{n-m} = 0 . \quad (17)$$

Să vedem explicit câțiva termeni în fiecare din seriile din ecuația (17):

$$\sum_{n=0}^{\infty} (-1)^n (i\xi)^{n+1} \frac{dq_n}{dx} = i\xi \frac{dq_0}{dx} + \xi^2 \frac{dq_1}{dx} - i\xi^3 \frac{dq_2}{dx} + \dots \quad (18)$$

$$\sum_{n=0}^{\infty} \sum_{m=0}^n (-i\xi)^n q_m q_{n-m} = q_0^2 - i2\xi q_0 q_1 + \dots \quad (19)$$

Pentru ca ambele serii să conțină pe $i\xi$ în primul termen trebuie să le scriem:

$$\sum_{n=1}^{\infty} (-1)^{n-1} (i\xi)^n \frac{dq_{n-1}}{dx} + r(x) - q_0^2 - \sum_{n=1}^{\infty} \sum_{m=0}^n (-i\xi)^n q_m q_{n-m} = 0 ,$$

ceea ce ne conduce la:

$$\sum_{n=1}^{\infty} \left[-(-i\xi)^n \frac{dq_{n-1}}{dx} - \sum_{m=0}^n (-i\xi)^n q_m q_{n-m} \right] + \left[r(x) - q_0^2 \right] = 0 . \quad (20)$$

Pentru ca această ecuație să se satisfacă avem condițiile:

$$r(x) - q_0^2 = 0 \quad \Rightarrow \quad q_0 = \pm \sqrt{r(x)} \quad (21)$$

$$\begin{aligned}
& -(-i\xi)^n \frac{dq_{n-1}}{dx} - \sum_{m=0}^n (-i\xi)^n q_m q_{n-m} = 0 \\
\Rightarrow & \frac{dq_{n-1}}{dx} = - \sum_{m=0}^n q_m q_{n-m} \quad n \geq 1 . \quad (22)
\end{aligned}$$

Aceasta ultima este o relație de recurență care apare în metoda WKB. Este momentul să amintim că am definit $r(x) = \eta - f(x)$, $\eta = \frac{E}{u_0}$ & $f(x) = \frac{u}{u_0}$ și cu ajutorul ec. (21) obținem:

$$q_0 = \pm \sqrt{\eta - f(x)} = \pm \sqrt{\frac{E}{u_0} - \frac{u}{u_0}} = \pm \sqrt{\frac{2m(E - u)}{2mu_0}}, \quad (23)$$

care ne indică natura clasică a impulsului WKB a particulei de energie E în potențialul u și în unități $\sqrt{2mu_0}$. Astfel:

$$q_0 = p(x) = \sqrt{\eta - f(x)}$$

nu este un operator. Dacă aproximăm pînă la ordinul doi, obținem:

$$q(x) = q_0 - i\xi q_1 - \xi^2 q_2$$

și folosind relația de recurență WKB (22) calculăm q_1 și q_2 :

$$\begin{aligned}
\frac{dq_0}{dx} = -2q_0 q_1 & \Rightarrow q_1 = -\frac{1}{2} \frac{dq_0}{dx} = -\frac{1}{2} \frac{d}{dx} (\ln |q_0|) \\
\Rightarrow q_1 & = -\frac{1}{2} \frac{d}{dx} (\ln |p(x)|) \quad (24)
\end{aligned}$$

$$\frac{dq_1}{dx} = -2q_0 q_2 - q_1^2 \Rightarrow q_2 = -\frac{\frac{dq_1}{dx} - q_1^2}{2q_0}. \quad (25)$$

Din ecuația (24), ne dăm seama că mărimea q_1 este panta cu semnul schimbat a lui $\ln |q_0|$; cînd q_0 este foarte mic, $q_1 \ll 0 \Rightarrow -\xi q_1 \gg 0$ și prin urmare seria diverge. Pentru a evita acest lucru se impune următoarea **condiție WKB**:

$$|q_0| \gg |-\xi q_1| = \xi |q_1| .$$

Este important de observat că această condiție WKB nu se satisface pentru acele puncte x_k unde:

$$q_0(x_k) = p(x_k) = 0 .$$

Dar $q_0 = p = \sqrt{\frac{2m(E-u)}{2mu_0}}$ și deci ecuația precedentă ne conduce la:

$$E = u(x_k) . \quad (26)$$

În mecanica clasică punctele x_k care satisfac (26) se numesc **puncte de întoarcere** pentru că în ele are loc schimbarea sensului de mișcare a particulei macroscopice.

În baza acestor argumente, putem să spunem despre q_0 că este o soluție clasică a problemei examinate și că mărimile q_1 & q_2 sunt respectiv prima și a doua corecție cuantică în problema WKB.

Pentru a obține funcțiile de undă vom considera numai soluția clasică și prima corecție cuantică a problemei pe care le substituim în forma WKB a lui ψ :

$$\begin{aligned} \psi &= \exp \left[\frac{i}{\xi} \int_a^x q(x) dx \right] = \exp \left[\frac{i}{\xi} \int_a^x (q_0 - i\xi q_1) dx \right] \\ \Rightarrow \psi &= \exp \left(\frac{i}{\xi} \int_a^x q_0 dx \right) \cdot \exp \left(\int_a^x q_1 dx \right) . \end{aligned}$$

Pentru al doilea factor avem:

$$\begin{aligned} \exp \left(\int_a^x q_1 dx \right) &= \exp \left[-\frac{1}{2} \int_a^x \frac{d}{dx} (\ln |p(x)|) dx \right] = \\ &= \exp \left[-\frac{1}{2} (\ln |p(x)|) \Big|_a^x \right] = \frac{A}{\sqrt{p(x)}} , \end{aligned}$$

cu A o constantă , în timp ce pentru primul factor se obține:

$$\exp \left(\frac{i}{\xi} \int_a^x q_0 dx \right) = \exp \left[\pm \frac{i}{\xi} \int_a^x p(x) dx \right] .$$

Astfel putem scrie ψ în următoarea formă :

$$\psi^\pm = \frac{1}{\sqrt{p(x)}} \exp \left[\pm \frac{i}{\xi} \int_a^x p(x) dx \right] , \quad (27)$$

care sunt cunoscute ca **soluții WKB ale ecuației Schrödinger unidimensionale**. Soluția generală WKB în regiunea în care condiția WKB se satisface se scrie:

$$\psi = a_+ \psi^+ + a_- \psi^- . \quad (28)$$

Așa cum deja s-a menționat, nu există soluție WKB în punctele de întoarcere, ceea ce ridică problema modului în care se face trecerea de la $\psi(x < x_k)$ la $\psi(x > x_k)$. Rezolvarea acestei dificultăți se face prin introducerea formulelor de conexiune WKB.

Formulele de Conexiune

Deja s-a văzut că soluțiile WKB sunt singulare în punctele de întoarcere clasică ; totuși aceste soluții sunt corecte la stînga și la dreapta acestor puncte x_k . Ne întrebăm deci cum schimbăm $\psi(x < x_k)$ în $\psi(x > x_k)$ în aceste puncte. Răspunsul este dat de așa numitele formule de conexiune.

Din teoria ecuațiilor diferențiale ordinare și pe baza analizei de funcții de variabilă complexă se poate demonstra că formulele de conexiune există și că sunt următoarele:

$$\begin{aligned} \psi_1(x) &= \frac{1}{[-r(x)]^{\frac{1}{4}}} \exp\left(-\int_x^{x_k} \sqrt{-r(x)} dx\right) \rightarrow \\ &\rightarrow \frac{2}{[r(x)]^{\frac{1}{4}}} \cos\left(\int_{x_k}^x \sqrt{r(x)} dx - \frac{\pi}{4}\right), \end{aligned} \quad (29)$$

unde $\psi_1(x)$ are numai comportament atenuant exponențial pentru $x < x_k$. Prima formulă de conexiune arată că funcția $\psi(x)$, care la stînga punctului de întoarcere se comportă atenuant exponențial, trece în dreapta aceluși punct într-o cosinusoidă de fază $\phi = \frac{\pi}{4}$ și de amplitudine dublă față de amplitudinea exponențialei.

În cazul unei funcții $\psi(x)$ mai generale, respectiv o funcție care să aibă un comportament exponențial crescător și atenuant, formula de conexiune corespunzătoare este:

$$\begin{aligned} \sin\left(\phi + \frac{\pi}{4}\right) \frac{1}{[-r(x)]^{\frac{1}{4}}} \exp\left(\int_x^{x_k} \sqrt{-r(x)} dx\right) \leftarrow \\ \leftarrow \frac{1}{[r(x)]^{\frac{1}{4}}} \cos\left(\int_{x_k}^x \sqrt{r(x)} dx + \phi\right), \end{aligned} \quad (30)$$

cu condiția ca ϕ să nu ia o valoare prea apropiată de $-\frac{\pi}{4}$. Motivul este că dacă $\phi = -\frac{\pi}{4}$, funcția sinus se anulează . Această a doua formulă de conexiune semnifică că o funcție care se comportă ca o cosinusoidă la dreapta unui

punct de întoarcere trece în partea sa stînga ca o exponențială crescătoare cu amplitudinea modulată de către o sinusoidă .

Pentru a studia detaliile procedurii de obținere a formulelor de conexiune se poate consulta expunerea din cartea *Mathematical Methods of Physics* de *J. Mathews & R.L. Walker*.

Estimarea erorii introduse de aproximația WKB

Am găsit soluția ecuației Schrödinger în orice regiune unde se satisface condiția WKB. Totuși, soluțiile WKB diverg în punctele de întoarcere așa cum am semnalat. Vom analiza, deși superficial, această problemă cu scopul de a propune *formulele de conexiune* într-o vecinătate redusă a punctelor de întoarcere.

Să presupunem că $x = x_k$ este un punct de întoarcere, unde avem: $q_0(x_k) = p(x_k) = 0 \Rightarrow E = u(x_k)$. La stînga lui x_k , adică în semidreapta $x < x_k$, vom presupune că $E < u(x)$, astfel că în această regiune soluția WKB este:

$$\begin{aligned} \psi(x) = & \frac{a}{\left[\frac{u(x)-E}{u_0}\right]^{\frac{1}{4}}} \exp\left(-\frac{1}{\xi} \int_x^{x_k} \sqrt{\frac{u(x)-E}{u_0}} dx\right) + \\ & + \frac{b}{\left[\frac{u(x)-E}{u_0}\right]^{\frac{1}{4}}} \exp\left(\frac{1}{\xi} \int_x^{x_k} \sqrt{\frac{u(x)-E}{u_0}} dx\right). \end{aligned} \quad (31)$$

În același mod, la dreapta lui x_k (în semidreapta $x > x_k$) presupunem $E > u(x)$. În consecință soluția WKB în această zonă este:

$$\begin{aligned} \psi(x) = & \frac{c}{\left[\frac{E-u(x)}{u_0}\right]^{\frac{1}{4}}} \exp\left(\frac{i}{\xi} \int_{x_k}^x \sqrt{\frac{E-u(x)}{u_0}} dx\right) + \\ & + \frac{d}{\left[\frac{E-u(x)}{u_0}\right]^{\frac{1}{4}}} \exp\left(-\frac{i}{\xi} \int_{x_k}^x \sqrt{\frac{E-u(x)}{u_0}} dx\right). \end{aligned} \quad (32)$$

Dacă $\psi(x)$ este o funcție reală , va avea această proprietate atît la dreapta cît și la stînga lui x_k . Vom numi acest fapt “*condiția de realitate*”, care înseamnă că dacă $a, b \in \mathfrak{R}$, atunci $c = d^*$.

Problema noastră este de a conecta aproximațiile din cele două laturi ale lui x_k pentru ca ele să se refere la aceeași soluție. Aceasta înseamnă a găsi c și d dacă se cunosc a și b , precum și viceversa. Pentru a efectua această conexiune, trebuie să utilizăm o soluție aproximată, care să fie corectă de-a lungul unui drum care leagă regiunile din cele două laturi ale lui x_k , unde soluțiile WKB să fie de asemenea corecte.

Cel mai comun este să se recurgă la o metodă propusă de către *Zwann* și *Kemble* care constă în a ieși de pe axa reală în vecinătatea lui x_k , pe un contur în jurul lui x_k în planul complex. Pe acest contur se consideră că soluțiile WKB continuă să fie corecte. În această prezentare vom folosi această metodă, dar numai cu scopul de a obține un mijloc de a estima erorile în aproximația WKB.

Estimarea erorilor este întotdeauna importantă pentru soluțiile approximate prin diferite metode și în plus în cazul WKB aproximația se face pe intervale mari ale axei reale, ceea ce poate duce la acumularea erorilor și la eventuale artefacte datorate șifturilor de fază astfel introduse.

Să definim *funcțiile WKB asociate* în felul următor:

$$W_{\pm} = \frac{1}{\left[\frac{E-u(x)}{u_0}\right]^{\frac{1}{4}}} \exp\left(\pm \frac{i}{\xi} \int_{x_k}^x \sqrt{\frac{E-u(x)}{u_0}} dx\right), \quad (33)$$

pe care le considerăm ca funcții de variabilă complexă. Vom folosi tăieturi pentru a evita discontinuitățile din zerourile lui $r(x) = \frac{E-u(x)}{u_0}$. Aceste funcții satisfac o ecuație diferențială care se poate obține diferențiindu-le în raport cu x , conducând la:

$$W'_{\pm} = \left(\pm \frac{i}{\xi} \sqrt{r} - \frac{1}{4} \frac{r'}{r}\right) W_{\pm}$$

$$W''_{\pm} + \left[\frac{r}{\xi^2} + \frac{1}{4} \frac{r''}{r} - \frac{5}{16} \left(\frac{r'}{r}\right)^2\right] W_{\pm} = 0. \quad (34)$$

Să notăm:

$$s(x) = \frac{1}{4} \frac{r''}{r} - \frac{5}{16} \left(\frac{r'}{r}\right)^2, \quad (35)$$

atunci W_{\pm} sunt soluții exacte ale ecuației:

$$W''_{\pm} + \left[\frac{1}{\xi^2} r(x) + s(x)\right] W_{\pm} = 0, \quad (36)$$

dar satisfac numai aproximativ ecuația Schrödinger, care este regulară în $x = x_k$ în timp ce ecuația pentru funcțiile WKB asociate este singulară în acel punct.

Vom defini funcțiile $\alpha_{\pm}(x)$ care să satisfacă următoarele două relații:

$$\psi(x) = \alpha_+(x)W_+(x) + \alpha_-(x)W_-(x) \quad (37)$$

$$\psi'(x) = \alpha_+(x)W'_+(x) + \alpha_-(x)W'_-(x) , \quad (38)$$

unde $\psi(x)$ este soluție a ecuației Schrödinger. Rezolvînd ecuațiile anterioare pentru α_{\pm} avem:

$$\alpha_+ = \frac{\psi W'_- - \psi' W_-}{W_+ W'_- - W'_+ W_-} \quad \alpha_- = -\frac{\psi W'_+ - \psi' W_+}{W_+ W'_- - W'_+ W_-} ,$$

unde numărătorul este exact **Wronskianul** lui W_+ și W_- . Nu este dificil de demonstrat că acesta ia valoarea $-\frac{2}{\xi}i$, astfel că α_{\pm} se simplifică la forma:

$$\alpha_+ = \frac{\xi}{2}i(\psi W'_- - \psi' W_-) \quad (39)$$

$$\alpha_- = \frac{-\xi}{2}i(\psi W'_+ - \psi' W_+) . \quad (40)$$

Efectuînd derivata în x în ecuațiile (39) și (40), avem:

$$\frac{d\alpha_{\pm}}{dx} = \frac{\xi}{2}i(\psi' W'_{\mp} + \psi W''_{\mp} - \psi'' W_{\mp} - \psi' W'_{\mp}) . \quad (41)$$

În paranteze, primul și al patrulea termen se anulează ; amintim că :

$$\psi'' + \frac{1}{\xi^2}r(x)\psi = 0 \quad \& \quad W''_{\pm} + \left[\frac{1}{\xi^2}r(x) + s(x) \right] W_{\pm} = 0$$

și deci putem scrie ecuația (41) în forma:

$$\begin{aligned} \frac{d\alpha_{\pm}}{dx} &= \frac{\xi}{2}i \left[-\psi \left(\frac{r}{\xi^2} + s \right) W_{\mp} + \frac{r}{\xi^2} \psi W_{\mp} \right] \\ \frac{d\alpha_{\pm}}{dx} &= \mp \frac{\xi}{2}i s(x) \psi(x) W_{\mp}(x) , \end{aligned} \quad (42)$$

care în baza ecuațiilor (33) și (37) devine:

$$\frac{d\alpha_{\pm}}{dx} = \mp \frac{\xi}{2}i \frac{s(x)}{[r(x)]^{\frac{1}{2}}} \left[\alpha_{\pm} + \alpha_{\mp} \exp \left(\mp \frac{2}{\xi}i \int_{x_k}^x \sqrt{r(x)} dx \right) \right] . \quad (43)$$

Ecuatiile (42) și (43) se folosesc pentru a estima eroarea care se comite în aproximația WKB în cazul unidimensional.

Motivul pentru care $\frac{d\alpha_{\pm}}{dx}$ se poate considera ca măsură a erorii WKB este că în ecuațiile (31) și (32) constantele a , b și c , d , respectiv, ne dau numai soluții ψ aproximative, în timp ce funcțiile α_{\pm} introduse în ecuațiile (37) și (38) produc soluții ψ exacte. Din punct de vedere geometric derivata dă panta dreptei tangente la aceste funcții și indică măsura în care α_{\pm} deviază față de constantele a , b , c și d .

4N. Notă: Articolele (J)WKB originale sunt următoarele:

G. Wentzel, “Eine Verallgemeinerung der Wellenmechanik”, [“O generalizare a mecanicii ondulatorii”],

Zeitschrift für Physik **38**, 518-529 (1926) [primit 18 June 1926]

L. Brillouin, “La mécanique ondulatoire de Schrödinger: une méthode générale de resolution par approximations successives”, [“Mecanica ondulatorie a lui Schrödinger: o metodă generală de rezolvare prin aproximări succesive”], Comptes Rendus Acad. Sci. Paris **183**, 24-26 (1926) [primit 5 July 1926]

H.A. Kramers, “Wellenmechanik und halbzahlige Quantisierung”, [“Mecanica ondulatorie și cuantizarea semiîntreagă ”],

Zf. Physik **39**, 828-840 (1926) [primit 9 Sept. 1926]

H. Jeffreys, “On certain approx. solutions of linear diff. eqs. of the second order”, [“Asupra unor soluții aproximative a ecuațiilor diferențiale lineare de ordinul doi”],

Proc. Lond. Math. Soc. **23**, 428-436 (1925)

4P. Probleme

Problema 4.1

Să se folosească metoda WKB pentru o particulă de energie E care se mișcă într-un potențial $u(x)$ de forma arătată în figura 4.1.

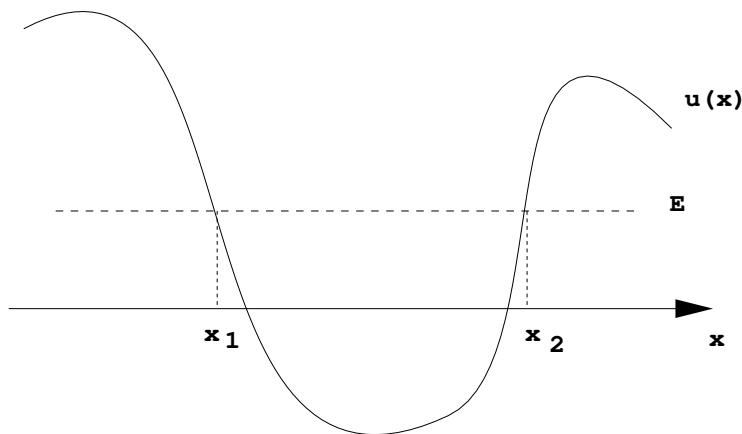


Fig. 4.1

Soluție

Ecuția Schrödinger corespunzătoare este:

$$\frac{d^2\psi}{dx^2} + \frac{2m}{\hbar^2} [E - u(x)] \psi = 0 . \quad (44)$$

După cum putem vedea:

$$r(x) = \frac{2m}{\hbar^2} [E - u(x)] \quad \begin{cases} \text{este pozitivă pentru } a < x < b \\ \text{este negativă pentru } x < a, x > b. \end{cases}$$

Dacă $\psi(x)$ corespunde zonei în care $x < a$, la trecerea în intervalul $a < x < b$, formula de conexiune este dată de ecuația (29) și ne spune că :

$$\psi(x) \approx \frac{A}{[E - u]^{\frac{1}{4}}} \cos \left(\int_a^x \sqrt{\frac{2m}{\hbar^2} (E - u)} dx - \frac{\pi}{4} \right) \quad (45)$$

unde A este o constantă arbitrară .

Cînd $\psi(x)$ corespunde zonei $x > b$, la trecerea în intervalul $a < x < b$ avem în mod similar:

$$\psi(x) \approx -\frac{B}{[E - u]^{\frac{1}{4}}} \cos \left(\int_x^b \sqrt{\frac{2m}{\hbar^2} (E - u)} dx - \frac{\pi}{4} \right) , \quad (46)$$

unde B este o constantă arbitrară . Motivul pentru care formula de conexiune este din nou ecuația (29), se înțelege examinînd ce se întîmplă cînd particula ajunge la al doilea punct clasic de întoarcere $x = b$. Acesta produce inversia direcției de mișcare și atunci particula apare ca venind de la dreapta spre stînga. Cu alte cuvinte, ne găsim în prima situație (de la stînga la dreapta) numai că văzută într-o oglindă în punctul $x = a$.

Aceste două expresii trebuie să fie aceleași independent de constantele A și B , astfel că :

$$\begin{aligned} \cos \left(\int_a^x \sqrt{\frac{2m}{\hbar^2}(E-u)} dx - \frac{\pi}{4} \right) &= - \cos \left(\int_x^b \sqrt{\frac{2m}{\hbar^2}(E-u)} dx - \frac{\pi}{4} \right) \\ \Rightarrow \cos \left(\int_a^x \sqrt{\frac{2m}{\hbar^2}(E-u)} dx - \frac{\pi}{4} \right) &+ \cos \left(\int_x^b \sqrt{\frac{2m}{\hbar^2}(E-u)} dx - \frac{\pi}{4} \right) = 0 . \end{aligned} \quad (47)$$

Amintind că :

$$\cos A + \cos B = 2 \cos \left(\frac{A+B}{2} \right) \cos \left(\frac{A-B}{2} \right) ,$$

ecuația (47) se scrie:

$$\begin{aligned} 2 \cos \left[\frac{1}{2} \left(\int_a^x \sqrt{\frac{2m}{\hbar^2}(E-u)} dx - \frac{\pi}{4} + \int_x^b \sqrt{\frac{2m}{\hbar^2}(E-u)} dx - \frac{\pi}{4} \right) \right] \\ \cdot \cos \left[\frac{1}{2} \left(\int_a^x \sqrt{\frac{2m}{\hbar^2}(E-u)} dx - \frac{\pi}{4} - \int_x^b \sqrt{\frac{2m}{\hbar^2}(E-u)} dx + \frac{\pi}{4} \right) \right] = 0 , \end{aligned} \quad (48)$$

ceea ce implică pentru argumentele acestor cosinusoide că sunt multipli întregi de $\frac{\pi}{2}$; argumentul celui de-a doua cosinusoide nu ne duce la nici un rezultat netrivial, așa că ne fixăm atenția numai asupra argumentului primei cosinusoide, care este esențial pentru obținerea unui rezultat important:

$$\begin{aligned} \frac{1}{2} \left(\int_a^x \sqrt{\frac{2m}{\hbar^2}(E-u)} dx - \frac{\pi}{4} + \int_x^b \sqrt{\frac{2m}{\hbar^2}(E-u)} dx - \frac{\pi}{4} \right) &= \frac{n}{2} \pi \quad \text{pt. } n \text{ impar} \\ \Rightarrow \int_a^b \sqrt{\frac{2m}{\hbar^2}(E-u)} dx - \frac{\pi}{2} &= n\pi \end{aligned}$$

$$\begin{aligned} \Rightarrow \int_a^b \sqrt{\frac{2m}{\hbar^2}(E-u)} dx &= (n + \frac{1}{2})\pi \\ \Rightarrow \int_a^b \sqrt{2m(E-u)} dx &= (n + \frac{1}{2})\pi\hbar . \end{aligned} \quad (49)$$

Acest rezultat este foarte similar regulilor de cuantizare *Bohr - Sommerfeld*.

Amintim că postulatul lui Bohr stabilește că momentul unghiular al unui electron care se mișcă pe o ‘orbită permisă’ în jurul nucleului atomic este cuantizată și valoarea sa este: $L = n\hbar$, $n = 1, 2, 3, \dots$. Amintim deasemenea că regulile de cuantizare Wilson - Sommerfeld stabilesc că orice coordonată a unui sistem fizic care variază periodic în timp trebuie să satisfacă condiția cuantică : $\oint p_q dq = n_q h$; unde q este o coordonată periodică , p_q este impulsul asociat acesteia, n_q este un număr întreg și h este constanta lui Planck. Se vede că rezultatul obținut în aproximația WKB este cu adevărat foarte asemănător.

Problema 4.2

Să se estimeze eroarea care se comite în soluția WKB într-un punct $x_1 \neq x_k$, cu x_k un punct clasic de întoarcere, pentru ecuația diferențială $y'' + xy = 0$. *Soluția acestei probleme este importantă în studiul câmpurilor uniforme, așa cum sunt cele gravitaționale sau cele electrice produse de plăci plane încărcate.*

Soluție:

Pentru această ecuație diferențială avem:

$$\xi = 1, \quad r(x) = x \quad \& \quad s(x) = -\frac{5}{16}x^{-2} .$$

$r(x) = x$ are un singur zero în $x_k = 0$, astfel că pentru $x \gg 0$:

$$W_{\pm} = x^{-\frac{1}{4}} \exp\left(\pm i \int_0^x \sqrt{x} dx\right) = x^{-\frac{1}{4}} \exp\left(\pm \frac{2}{3} i x^{\frac{3}{2}}\right) . \quad (50)$$

Derivând W_{\pm} pînă la a doua derivată în x , ne dăm seama că se satisface următoarea ecuație diferențială :

$$W_{\pm}'' + \left(x - \frac{5}{16}x^{-2}\right)W_{\pm} = 0 . \quad (51)$$

Soluția exactă $y(x)$ a acestei ecuații diferențiale o scriem ca o combinație lineară de W_{\pm} , așa cum s-a indicat în secțiunea corespondentă estimării erorii în aproximația WKB; amintim că s-a propus o combinație lineară de forma:

$$y(x) = \alpha_+(x)W_+(x) + \alpha_-(x)W_-(x)$$

Pentru x mari, o soluție generală a ecuației noastre diferențiale se poate scrie în aproximația WKB în forma:

$$y(x) = Ax^{-\frac{1}{4}} \cos\left(\frac{2}{3}x^{\frac{3}{2}} + \delta\right) \quad \text{cînd } x \rightarrow \infty, \quad (52)$$

astfel că $\alpha_+ \rightarrow \frac{A}{2}e^{i\delta}$ și $\alpha_- \rightarrow \frac{A}{2}e^{-i\delta}$ pentru $x \rightarrow \infty$. Vrem să calculăm eroarea datorată acestei soluții WKB. O măsură a acestei erori este devierea lui α_+ și a lui α_- față de constantele A . Pentru aceasta folosim ecuația:

$$\frac{d\alpha_{\pm}}{dx} = \mp \frac{\xi}{2} i \frac{s(x)}{\sqrt{r(x)}} \left[\alpha_{\pm} + \alpha_{\mp} \exp\left(\mp 2i \int_{x_k}^x \sqrt{r(x)} dx\right) \right]$$

și efectuînd substituțiile corespunzătoare avem:

$$\frac{d\alpha_{\pm}}{dx} = \mp \frac{i}{2} \left(-\frac{5}{16}x^{-2}\right) x^{-\frac{1}{2}} \left[\frac{A}{2}e^{\pm i\delta} + \frac{A}{2}e^{\mp i\delta} \exp\left(\mp 2i \frac{2}{3}x^{\frac{3}{2}}\right) \right]. \quad (53)$$

Știm că $\Delta\alpha_{\pm}$ reprezintă schimbările pe care le prezintă α_{\pm} cînd x variază între x_1 și ∞ , ceea ce ne permite calculul prin intermediul lui:

$$\begin{aligned} \frac{\Delta\alpha_{\pm}}{A/2} &= \frac{2}{A} \int_{x_1}^{\infty} \frac{d\alpha_{\pm}}{dx} dx = \\ &= \pm i \frac{5}{32} e^{\pm i\delta} \left[\frac{2}{3} x_1^{-\frac{3}{2}} + e^{\mp 2i\delta} \int_{x_1}^{\infty} x^{-\frac{5}{2}} \exp\left(\mp i \frac{4}{3} x^{\frac{3}{2}}\right) dx \right]. \end{aligned} \quad (54)$$

Al doilea termen din paranteze este mai puțin important decît primul pentru că exponențiala complexă oscilează între 1 și -1 și deci $x^{-\frac{5}{2}} < x^{-\frac{3}{2}}$. Prin urmare:

$$\frac{\Delta\alpha_{\pm}}{A/2} \approx \pm \frac{5}{48} i e^{\pm i\delta} x_1^{-\frac{3}{2}} \quad (55)$$

și cum putem vedea eroarea care se introduce este într-adevăr mică dacă ținem cont și de faptul că exponențiala complexă oscilează între -1 și 1 , iar $x_1^{-\frac{3}{2}}$ este deasemenea mic.

5. OSCILATORUL ARMONIC (OA)

Soluția ecuației Schrödinger pentru OA

Oscilatorul armonic (OA) poate fi considerat ca o paradigmă a Fizicii. Utilitatea sa apare în marea majoritate a domeniilor, de la fizica clasică pînă la electrodinamica cuantică și teorii ale obiectelor colapsate gravitațional.

Din mecanica clasică știm că multe potențiale complicate pot fi approximate în vecinătatea pozițiilor de echilibru printr-un potențial OA

$$V(x) \sim \frac{1}{2}V''(a)(x-a)^2 . \quad (1)$$

Acesta este un caz unidimensional. Pentru acest caz, funcția Hamiltoniană clasică a unei particule de masă m , oscilînd cu frecvența ω are următoarea formă :

$$H = \frac{p^2}{2m} + \frac{1}{2}m\omega^2x^2 \quad (2)$$

și Hamiltonianul cuantic corespunzător în spațiul de configurații este :

$$\hat{H} = \frac{1}{2m}\left(-i\hbar\frac{d}{dx}\right)^2 + \frac{1}{2}m\omega^2x^2 \quad (3)$$

$$\hat{H} = -\frac{\hbar^2}{2m}\frac{d^2}{dx^2} + \frac{1}{2}m\omega^2x^2 . \quad (4)$$

Dat faptul că potențialul este independent de timp, FP Ψ_n și autovalorile E_n se determină cu ajutorul ecuației Schrödinger independentă de timp :

$$\hat{H}\Psi_n = E_n\Psi_n . \quad (5)$$

Considerînd Hamiltonianul pentru OA , ecuația Schrödinger pentru acest caz este :

$$\frac{d^2\Psi}{dx^2} + \left[\frac{2mE}{\hbar^2} - \frac{m^2\omega^2}{\hbar^2}x^2\right]\Psi = 0 . \quad (6)$$

Am suprimat subindicii lui E și Ψ pentru că nu au nici o importanță aici. Definind:

$$k^2 = \frac{2mE}{\hbar^2} \quad (7)$$

$$\lambda = \frac{m\omega}{\hbar} , \quad (8)$$

ecuația Schrödinger devine:

$$\frac{d^2\Psi}{dx^2} + [k^2 - \lambda^2 x^2]\Psi = 0 , \quad (9)$$

cunoscută ca ecuația diferențială Weber în matematică .
Vom face în continuare transformarea:

$$y = \lambda x^2 . \quad (10)$$

În general, cu schimbul de variabilă de la x la y , operatorii diferențiali iau forma:

$$\frac{d}{dx} = \frac{dy}{dx} \frac{d}{dy} \quad (11)$$

$$\frac{d^2}{dx^2} = \frac{d}{dx} \left(\frac{dy}{dx} \frac{d}{dy} \right) = \frac{d^2 y}{dx^2} \frac{d}{dy} + \left(\frac{dy}{dx} \right)^2 \frac{d^2}{dy^2} . \quad (12)$$

Aplicînd această regulă evidentă transformării propuse obținem următoarea ecuație diferențială în variabila y :

$$y \frac{d^2\Psi}{dy^2} + \frac{1}{2} \frac{d\Psi}{dy} + \left[\frac{k^2}{4\lambda} - \frac{1}{4} y \right] \Psi = 0 , \quad (13)$$

sau, definind :

$$\kappa = \frac{k^2}{2\lambda} = \frac{\bar{k}^2}{2m\omega} = \frac{E}{\hbar\omega} , \quad (14)$$

obținem:

$$y \frac{d^2\Psi}{dy^2} + \frac{1}{2} \frac{d\Psi}{dy} + \left[\frac{\kappa}{2} - \frac{1}{4} y \right] \Psi = 0 . \quad (15)$$

Să trecem la rezolvarea acestei ecuații, efectuînd mai întîi analiza sa asimptotică în limita $y \rightarrow \infty$. Pentru aceasta. se rescrie ecuația anterioară în forma :

$$\frac{d^2\Psi}{dy^2} + \frac{1}{2y} \frac{d\Psi}{dy} + \left[\frac{\kappa}{2y} - \frac{1}{4} \right] \Psi = 0 . \quad (16)$$

Observăm că în limita $y \rightarrow \infty$ ecuația se comportă astfel:

$$\frac{d^2\Psi_\infty}{dy^2} - \frac{1}{4} \Psi_\infty = 0 . \quad (17)$$

Această ecuație are ca soluție:

$$\Psi_\infty(y) = A \exp \frac{y}{2} + B \exp \frac{-y}{2} . \quad (18)$$

Eliminăm $\exp \frac{y}{2}$ luând $A = 0$ pentru că diverge în limita $y \rightarrow \infty$ și rămînem cu exponențiala atenuată . Putem sugera acum că Ψ are următoarea forma:

$$\Psi(y) = \exp \frac{-y}{2} \psi(y) . \quad (19)$$

Substituind-o în ecuația diferențială pentru y (ec. 15) se obține:

$$y \frac{d^2 \psi}{dy^2} + \left(\frac{1}{2} - y\right) \frac{d\psi}{dy} + \left(\frac{\kappa}{2} - \frac{1}{4}\right) \psi = 0 . \quad (20)$$

Ceea ce am obținut este ecuația hipergeometrică confluentă ⁴ :

$$z \frac{d^2 y}{dz^2} + (c - z) \frac{dy}{dz} - ay = 0 . \quad (21)$$

Soluția generală a acestei ecuații este :

$$y(z) = A {}_1F_1(a; c, z) + B z^{1-c} {}_1F_1(a - c + 1; 2 - c, z) , \quad (22)$$

unde funcția hipergeometrică confluentă este definită prin :

$${}_1F_1(a; c, z) = \sum_{n=0}^{\infty} \frac{(a)_n x^n}{(c)_n n!} . \quad (23)$$

Comparînd acum ecuația noastră, cu ecuația hipergeometrică confluentă, se observă că soluția generală a primei este :

$$\psi(y) = A {}_1F_1\left(a; \frac{1}{2}, y\right) + B y^{\frac{1}{2}} {}_1F_1\left(a + \frac{1}{2}; \frac{3}{2}, y\right) \quad (24)$$

unde

$$a = -\left(\frac{\kappa}{2} - \frac{1}{4}\right) . \quad (25)$$

Dacă menținem aceste soluții în forma în care se prezintă , condiția de normalizare pentru funcția de undă nu se satisface, pentru că din comportamentul asimptotic al funcției hipergeometrice conflente ⁵ rezultă (considerînd numai comportamentul dominant exponențial) :

$$\Psi(y) = e^{\frac{-y}{2}} \psi(y) \rightarrow \text{const. } e^{\frac{y}{2}} y^{a - \frac{1}{2}} . \quad (26)$$

⁴Deasemenea cunoscută ca ecuația diferențială Kummer.

⁵ Comportamentul asimptotic pentru $|x| \rightarrow \infty$ este:

$${}_1F_1(a; c, z) \rightarrow \frac{\Gamma(c)}{\Gamma(c-a)} e^{-ia\pi} x^{-a} + \frac{\Gamma(c)}{\Gamma(a)} e^x x^{a-c} .$$

Această ultimă aproximație ne duce la o divergență în integrala de normalizare, care fizic este inacceptabilă . Ceea ce se face în acest caz, este să se impună condiția de terminare a seriei ⁶ , adică , seria are numai un număr finit de termeni fiind deci un polinom de grad n .

Observăm astfel că faptul de a cere ca integrala de normalizare să fie finită (după cum știm condiție obligatorie pentru semnificația fizică în termeni de probabilități), ne conduce la truncarea seriei, fapt care în același timp produce cuantizarea energiei.

Considerăm în continuare cele două cazuri posibile :

$$1) \quad a = -n \quad \text{și} \quad B = 0$$

$$\frac{\kappa}{2} - \frac{1}{4} = n . \quad (27)$$

FP-urile sunt date de:

$$\Psi_n(x) = D_n \exp \frac{-\lambda x^2}{2} {}_1F_1(-n; \frac{1}{2}; \lambda x^2) \quad (28)$$

și energia este:

$$E_n = \hbar\omega(2n + \frac{1}{2}) . \quad (29)$$

$$2) \quad a + \frac{1}{2} = -n \quad \text{și} \quad A = 0$$

$$\frac{\kappa}{2} - \frac{1}{4} = n + \frac{1}{2} . \quad (30)$$

FP-urile sunt acum:

$$\Psi_n(x) = D_n \exp \frac{-\lambda x^2}{2} x {}_1F_1(-n; \frac{3}{2}; \lambda x^2) , \quad (31)$$

iar energiile staționare sunt:

$$E_n = \hbar\omega[(2n + 1) + \frac{1}{2}] . \quad (32)$$

Polinoamele obținute în urma acestei truncări a seriei hipergeometrice se numesc polinoame Hermite și se pot scrie ca următoarele funcții hipergeometrice :

$$H_{2n}(\eta) = (-1)^n \frac{(2n)!}{n!} {}_1F_1(-n; \frac{1}{2}; \eta^2) \quad (33)$$

⁶Condiția de troncarea a seriei pentru funcția hipergeometrică confluentă ${}_1F_1(a; c, z)$ este $a = -n$, cu n un întreg nenegativ (adică , include zero).

$$H_{2n-1}(\eta) = (-1)^n \frac{2(2n+1)!}{n!} \eta {}_1F_1(-n; \frac{3}{2}, \eta^2) . \quad (34)$$

Putem acum combina rezultatele obținute (pentru că unele ne dau valorile pare și altele pe cele impare) într-o singură expresie pentru autovalori și funcții proprii :

$$\Psi_n(x) = D_n \exp \frac{-\lambda x^2}{2} H_n(\sqrt{\lambda}x) \quad (35)$$

$$E_n = (n + \frac{1}{2})\hbar\omega \quad n = 0, 1, 2 \dots \quad (36)$$

Spectrul de energie al OA este echidistant, adică , există aceeași diferență $\hbar\omega$ între oricare două nivele. Altă observație pe care o putem face, este în legătură cu valoarea minimă de energie pe care o are oscilatorul; poate în mod surprinzător este diferită de zero; acesta se consideră un rezultat pur cuantic, pentru că dispare dacă $\hbar \rightarrow 0$. Se cunoaște ca *energia de punct zero* și faptul că este diferită de zero , este o caracteristică a tuturor potențialelor confinante .

Constanta de normalizare poate fi calculată ușor și are valoarea:

$$D_n = \left[\sqrt{\frac{\lambda}{\pi}} \frac{1}{2^n n!} \right]^{\frac{1}{2}} . \quad (37)$$

Prin urmare se obțin funcțiile proprii normalizate ale OA unidimensional :

$$\Psi_n(x) = \left[\sqrt{\frac{\lambda}{\pi}} \frac{1}{2^n n!} \right]^{\frac{1}{2}} \exp\left(\frac{-\lambda x^2}{2}\right) H_n(\sqrt{\lambda}x) . \quad (38)$$

Operatori de creare \hat{a}^\dagger și anihilare \hat{a}

Există o altă formă de a trata oscilatorul armonic față de cea convențională de a rezolva ecuația Schrödinger. Este vorba de metoda algebrică sau metoda operatorilor de scară , o metodă foarte eficientă care se poate aplica cu mult succes a multe probleme de mecanică cuantică de spectru discret. Definim doi operatori nehermitici a și a^\dagger :

$$a = \sqrt{\frac{m\omega}{2\hbar}} \left(x + \frac{ip}{m\omega} \right) \quad (39)$$

$$a^\dagger = \sqrt{\frac{m\omega}{2\hbar}} \left(x - \frac{ip}{m\omega} \right). \quad (40)$$

Acești operatori sunt cunoscuți ca *operator de anihilare* și *operator de creare*, respectiv (justificarea acestor denumiri se va vedea mai departe, deși se poate spune că vine din teoria cuantică a câmpurilor).

Să calculăm acum comutatorul acestor doi operatori:

$$[a, a^\dagger] = \frac{m\omega}{2\hbar} \left[x + \frac{ip}{m\omega}, x - \frac{ip}{m\omega} \right] = \frac{1}{2\hbar} (-i[x, p] + i[p, x]) = 1, \quad (41)$$

unde am folosit comutatorul:

$$[x, p] = i\hbar. \quad (42)$$

Prin urmare operatorii de creare și anihilare nu comută, satisfăcând relațiile de comutare :

$$[a, a^\dagger] = 1. \quad (43)$$

Să definim deasemenea importantul operator de număr \hat{N} :

$$\hat{N} = a^\dagger a. \quad (44)$$

Acest operator este hermitic după cum se poate demonstra ușor folosind $(AB)^\dagger = B^\dagger A^\dagger$:

$$\hat{N}^\dagger = (a^\dagger a)^\dagger = a^\dagger (a^\dagger)^\dagger = a^\dagger a = \hat{N}. \quad (45)$$

Considerînd acum că :

$$a^\dagger a = \frac{m\omega}{2\hbar} \left(x^2 + \frac{p^2}{m^2\omega^2} \right) + \frac{i}{2\hbar} [x, p] = \frac{\hat{H}}{\hbar\omega} - \frac{1}{2} \quad (46)$$

observăm că Hamiltonianul se scrie într-o formă simplă în funcție de operatorul de număr :

$$\hat{H} = \hbar\omega \left(\hat{N} + \frac{1}{2} \right). \quad (47)$$

Operatorul de număr are acest nume datorită faptului că autovalorile sale sunt exact subindicii funcției de undă asupra căreia acționează :

$$\hat{N} | n \rangle = n | n \rangle, \quad (48)$$

unde am folosit notația:

$$| \Psi_n \rangle = | n \rangle. \quad (49)$$

Aplicînd acest fapt lui (47) avem :

$$\hat{H} | n \rangle = \hbar\omega(n + \frac{1}{2}) | n \rangle . \quad (50)$$

Dar știm din ecuația Schrödinger că $\hat{H} | n \rangle = E | n \rangle$ pe baza căreia rezultă că autovalorile energetice sunt date de :

$$E_n = \hbar\omega(n + \frac{1}{2}) . \quad (51)$$

Acest rezultat este identic (cum și trebuia să fie) cu rezultatul (36). În continuare să arătăm de ce operatorii a și a^\dagger au numele pe care le au. Pentru aceasta să calculăm comutatorii:

$$[\hat{N}, a] = [a^\dagger a, a] = a^\dagger [a, a] + [a^\dagger, a]a = -a , \quad (52)$$

rezultate care se obțin din $[a, a] = 0$ și (43). Similar, să calculăm:

$$[\hat{N}, a^\dagger] = [a^\dagger a, a^\dagger] = a^\dagger [a, a^\dagger] + [a^\dagger, a^\dagger]a = a^\dagger . \quad (53)$$

Cu acești doi comutatori putem să scriem:

$$\begin{aligned} \hat{N}(a^\dagger | n \rangle) &= ([\hat{N}, a^\dagger] + a^\dagger \hat{N}) | n \rangle \\ &= (a^\dagger + a^\dagger \hat{N}) | n \rangle \\ &= a^\dagger(1 + n) | n \rangle = (n + 1)a^\dagger | n \rangle . \end{aligned} \quad (54)$$

Cu un procedeu similar se obține deasemenea:

$$\hat{N}(a | n \rangle) = ([\hat{N}, a] + a \hat{N}) | n \rangle = (n - 1)a | n \rangle . \quad (55)$$

Expresia (54) implică că se poate considera ket-ul $a^\dagger | n \rangle$ ca eigenket al operatorului de număr , unde autovaloarea incrementă cu unu, adică , a fost produsă o cuantă de energie prin acțiunea lui a^\dagger asupra ket-ului. Aceasta explică numele de operator de creare (creație). Comentarii urmînd aceeași linie de raționament același tip de concluzie rezultă pentru operatorul a , ceea ce îi dă numele de operator de anihilare (o cuantă de energie este eliminată cînd acționează acest operator). Ecuația (54) deasemenea implică proporționalitatea ket-urilor $a^\dagger | n \rangle$ și $| n + 1 \rangle$:

$$a^\dagger | n \rangle = c | n + 1 \rangle , \quad (56)$$

unde c este o constantă care trebuie determinată . Considerînd în plus că :

$$(a^\dagger | n \rangle)^\dagger = \langle n | a = c^* \langle n + 1 | , \quad (57)$$

putem realiza următorul calcul:

$$\langle n | a(a^\dagger | n \rangle) = c^* \langle n + 1 | (c | n + 1 \rangle) \quad (58)$$

$$\langle n | aa^\dagger | n \rangle = c^* c \langle n + 1 | n + 1 \rangle \quad (59)$$

$$\langle n | aa^\dagger | n \rangle = |c|^2 . \quad (60)$$

Dar din relația de comutare pentru operatorii a și a^\dagger :

$$[a, a^\dagger] = aa^\dagger - a^\dagger a = aa^\dagger - \hat{N} = 1 , \quad (61)$$

avem că :

$$aa^\dagger = \hat{N} + 1 \quad (62)$$

Substituind în (60):

$$\langle n | \hat{N} + 1 | n \rangle = \langle n | n \rangle + \langle n | \hat{N} | n \rangle = n + 1 = |c|^2 . \quad (63)$$

Cerînd c să fie real și pozitiv (prin convenție), obținem următoarea valoare:

$$c = \sqrt{n + 1} . \quad (64)$$

Cu aceasta avem relația:

$$a^\dagger | n \rangle = \sqrt{n + 1} | n + 1 \rangle . \quad (65)$$

Urmînd același procedeu se poate ajunge la o relație pentru operatorul de anihilare :

$$a | n \rangle = \sqrt{n} | n - 1 \rangle . \quad (66)$$

Să arătăm acum că valorile lui n trebuie să fie întregi nenegativi. Pentru aceasta, recurgem la cerința de pozitivitate a normei, aplicînd-o în special vectorului de stare $a | n \rangle$. Această condiție ne spune că produsul interior (intern) al acestui vector cu adjunctul său $((a | n \rangle)^\dagger = \langle n | a^\dagger)$ trebuie să fie mai mare sau egală cu zero :

$$(\langle n | a^\dagger) \cdot (a | n \rangle) \geq 0 . \quad (67)$$

Dar această relație nu este decît :

$$\langle n | a^\dagger a | n \rangle = \langle n | \hat{N} | n \rangle = n \geq 0 . \quad (68)$$

Prin urmare n nu poate fi negativ și trebuie să fie întreg pentru că dacă nu ar fi prin aplicarea consecutivă a operatorului de anihilare ne-ar duce la valori negative ale lui n , ceea ce este în contradicție cu ce s-a spus anterior. Este posibil să se exprime starea n ($|n\rangle$) direct în funcție de starea bază ($|0\rangle$) folosind operatorul de creare. Să vedem cum se face această iterație importantă :

$$|1\rangle = a^\dagger |0\rangle \quad (69)$$

$$|2\rangle = \left[\frac{a^\dagger}{\sqrt{2}}\right] |1\rangle = \left[\frac{(a^\dagger)^2}{\sqrt{2!}}\right] |0\rangle \quad (70)$$

$$|3\rangle = \left[\frac{a^\dagger}{\sqrt{3}}\right] |2\rangle = \left[\frac{(a^\dagger)^3}{\sqrt{3!}}\right] |0\rangle \quad (71)$$

⋮

$$|n\rangle = \left[\frac{(a^\dagger)^n}{\sqrt{n!}}\right] |0\rangle \quad (72)$$

Putem deasemenea aplica această metodă pentru a obține FP-urile în spațiul configurațiilor. Pentru a realiza acest lucru, vom pleca din starea bază :

$$a |0\rangle = 0 . \quad (73)$$

În reprezentarea x avem:

$$\hat{a}\Psi_0(x) = \sqrt{\frac{m\omega}{2\hbar}}\left(x + \frac{ip}{m\omega}\right)\Psi_0(x) = 0 . \quad (74)$$

Amintindu-ne forma pe care o ia operatorul impuls în reprezentarea x , putem ajunge la o ecuație diferențială pentru funcția de undă a stării fundamentale; să introducem deasemenea următoarea definiție $x_0 = \sqrt{\frac{\hbar}{m\omega}}$, cu care avem :

$$\left(x + x_0^2 \frac{d}{dx}\right)\Psi_0 = 0 \quad (75)$$

Această ecuație se poate rezolva ușor, și prin normalizare (integrala sa de la $-\infty$ la ∞ trebuie să fie pusă egală cu unu), ajungem la funcția de undă a stării fundamentale :

$$\Psi_0(x) = \left(\frac{1}{\sqrt{\sqrt{\pi}x_0}}\right)e^{-\frac{1}{2}\left(\frac{x}{x_0}\right)^2} \quad (76)$$

Restul de FP, care descriu stările excitate ale OA , se pot obține folosind operatorul de creație. Procedeul este următorul:

$$\Psi_1 = a^\dagger \Psi_0 = \left(\frac{1}{\sqrt{2}x_0}\right)(x - x_0^2 \frac{d}{dx})\Psi_0 \quad (77)$$

$$\Psi_2 = \frac{1}{\sqrt{2}}(a^\dagger)^2 \Psi_0 = \frac{1}{\sqrt{2!}}\left(\frac{1}{\sqrt{2}x_0}\right)^2(x - x_0^2 \frac{d}{dx})^2 \Psi_0 . \quad (78)$$

Continuând, se poate arăta prin inducție că :

$$\Psi_n = \frac{1}{\sqrt{\sqrt{\pi}2^n n!}} \frac{1}{x_0^{n+\frac{1}{2}}} (x - x_0^2 \frac{d}{dx})^n e^{-\frac{1}{2}(\frac{x}{x_0})^2} . \quad (79)$$

Evoluția temporală a oscilatorului

În această secțiune vom ilustra prin intermediul OA modul în care se lucrează cu reprezentarea Heisenberg în care stările sunt fixate în timp și se permite evoluția temporală a operatorilor. Vom considera operatorii ca funcții de timp și vom obține în mod concret cum evoluează operatorii de poziție , impuls, a și a^\dagger în timp pentru cazul OA. Ecuațiile de mișcare Heisenberg pentru p și x sunt :

$$\frac{d\hat{p}}{dt} = -\frac{\partial}{\partial \hat{x}} V(\hat{\mathbf{x}}) \quad (80)$$

$$\frac{d\hat{x}}{dt} = \frac{\hat{p}}{m} . \quad (81)$$

De aici rezultă că ecuațiile de mișcare pentru x y p în cazul OA sunt:

$$\frac{d\hat{p}}{dt} = -m\omega^2 \hat{x} \quad (82)$$

$$\frac{d\hat{x}}{dt} = \frac{\hat{p}}{m} . \quad (83)$$

Prin urmare, dispunem de o pereche de ecuații cuplate , care sunt echivalente unei perechi de ecuații pentru operatorii de creație și anihilare, care însă nu sunt cuplate. În mod explicit :

$$\frac{da}{dt} = \sqrt{\frac{m\omega}{2\hbar}} \frac{d}{dt} \left(\hat{x} + \frac{i\hat{p}}{m\omega}\right) \quad (84)$$

$$\frac{da}{dt} = \sqrt{\frac{m\omega}{2\hbar}} \left(\frac{d\hat{x}}{dt} + \frac{i}{m\omega} \frac{d\hat{p}}{dt}\right) . \quad (85)$$

Substituind (82) și (83) în (85) :

$$\frac{da}{dt} = \sqrt{\frac{m\omega}{2\hbar}} \left(\frac{\hat{p}}{m} - i\omega\hat{x} \right) = -i\omega a . \quad (86)$$

Similar, se poate obține o ecuație diferențială pentru operatorul de creație :

$$\frac{da^\dagger}{dt} = i\omega a^\dagger \quad (87)$$

Ecuțiile diferențiale pe care le-am obținut pentru evoluția temporală a operatorilor de creație și anihilare , pot fi integrate imediat, dând evoluția explicită a acestor operatori:

$$a(t) = a(0)e^{-i\omega t} \quad (88)$$

$$a^\dagger(t) = a^\dagger(0)e^{i\omega t} . \quad (89)$$

Se poate remarca din aceste rezultate și din ecuațiile (44) și (47) că atât Hamiltonianul ca și operatorul de număr , nu depind de timp, așa cum era de așteptat.

Cu cele două rezultate anterioare , putem să obținem operatorii de poziție și impuls ca funcții de timp, pentru că sunt dați în funcție de operatorii de creație și anihilare:

$$\hat{x} = \sqrt{\frac{\hbar}{2m\omega}} (a + a^\dagger) \quad (90)$$

$$\hat{p} = i\sqrt{\frac{m\hbar\omega}{2}} (a^\dagger - a) . \quad (91)$$

Substituind-i se obține:

$$\hat{x}(t) = \hat{x}(0) \cos \omega t + \frac{\hat{p}(0)}{m\omega} \sin \omega t \quad (92)$$

$$\hat{p}(t) = -m\omega\hat{x}(0) \sin \omega t + \hat{p}(0) \cos \omega t . \quad (93)$$

Evoluția temporală a acestor operatori este aceeași ca în cazul ecuațiilor clasice de mișcare.

Astfel, am arătat forma explicită de evoluție a patru operatori bazici în cazul OA , arătând modul în care se lucrează în reprezentarea Heisenberg.

OA tridimensional

La începutul analizei noastre a OA cuantic am făcut comentarii în legătură cu importanța pentru fizică a OA . Dacă vom considera un analog tridimensional, ar trebui să considerăm o dezvoltare Taylor în trei variabile⁷ reținând termeni numai pînă în ordinul doi inclusiv, ceea ce obținem este o formă quadratică (în cazul cel mai general). Problema de rezolvat în această aproximație nu este chiar atît de simplă cum ar părea dintr-o primă examinare a potențialului corespunzător :

$$V(x, y, z) = ax^2 + by^2 + cz^2 + dxy + exz + fyz . \quad (94)$$

Există însă multe sisteme care posedă simetrie sferică sau pentru care aproximația acestei simetrii este satisfăcătoare. În acest caz:

$$V(x, y, z) = K(x^2 + y^2 + z^2) , \quad (95)$$

ceea ce este echivalent cu a spune că derivatele parțiale secunde (nemixte) iau toate aceleași valoare (în cazul anterior reprezentate prin K). Putem adăuga că această este o bună aproximație în cazul în care valorile derivatelor parțiale secunde mixte sunt mici în comparație cu cele nemixte.

Cînd se satisfac aceste condiții și potențialul este dat de (95) spunem că sistemul este un *OA tridimensional sferic simetric*.

Hamiltonianul pentru acest caz este de forma:

$$\hat{H} = \frac{-\hbar^2}{2m} \nabla^2 + \frac{m\omega^2}{2} r^2 , \quad (96)$$

unde Laplaceanul este dat în coordonate sferice și r este variabila sferică radială .

Fiind vorba de un potențial independent de timp, energia se conservă ; în plus dată simetria sferică , momentul cinetic deasemenea se conservă . Avem deci două mărimi conservate, ceea ce ne permite să spunem că fiecareia îi corespunde un număr cuantic. Putem să presupunem că funcțiile de undă depind de două numere cuantice (deși în acest caz vom vedea că apare încă unul). Cu aceste comentarii, ecuația de interes este :

⁷Este posibil să se exprime dezvoltarea Taylor în jurul lui \mathbf{r}_0 ca un operator exponențial :

$$e^{[(x-x_0)+(y-y_0)+(z-z_0)](\frac{\partial}{\partial x} + \frac{\partial}{\partial y} + \frac{\partial}{\partial z})} f(\mathbf{r}_0) .$$

$$\hat{H}\Psi_{nl} = E_{nl}\Psi_{nl} . \quad (97)$$

Laplaceanul în coordonate sferice este :

$$\nabla^2 = \frac{\partial^2}{\partial r^2} + \frac{2}{r} \frac{\partial}{\partial r} - \frac{\hat{L}^2}{\hbar^2 r^2} \quad (98)$$

și rezultă din faptul cunoscut :

$$\hat{L}^2 = -\hbar^2 \left[\frac{1}{\sin \theta} \frac{\partial}{\partial \theta} (\sin \theta \frac{\partial}{\partial \theta}) + \frac{1}{\sin^2 \theta} \frac{\partial^2}{\partial \varphi^2} \right] . \quad (99)$$

Funcțiile proprii ale lui \hat{L}^2 sunt armonicile sferice, respectiv:

$$\hat{L}^2 Y_{lm_l}(\theta, \varphi) = -\hbar^2 l(l+1) Y_{lm_l}(\theta, \varphi) \quad (100)$$

Faptul că armonicile sferice poartă numărul cuantic m_l face ca acesta să fie introdus în funcția de undă Ψ_{nlm_l} .

Pentru a realiza separarea variabilelor și funcțiilor se propune substituția:

$$\Psi_{nlm_l}(r, \theta, \varphi) = \frac{R_{nl}(r)}{r} Y_{lm_l}(\theta, \varphi) . \quad (101)$$

Odată introdusă în ecuația Schrödinger va separa partea spațială de cea unghiulară ; ultima se identifică cu un operator proporțional cu operatorul moment cinetic pătrat, pentru care funcțiile proprii sunt armonicile sferice, în timp ce în partea spațială obținem ecuația :

$$R''_{nl} + \left(\frac{2mE_{nl}}{\hbar^2} - \frac{m^2\omega^2}{\hbar^2} r^2 - \frac{l(l+1)}{r^2} \right) R_{nl}(r) = 0 . \quad (102)$$

Folosind definițiile (7) și (8) , ecuația anterioară ia exact forma lui (9), cu excepția termenului de moment unghiular, care în mod comun se cunoaște ca *barieră de moment unghiular*.

$$R''_{nl} + \left(k^2 - \lambda^2 r^2 - \frac{l(l+1)}{r^2} \right) R_{nl} = 0 . \quad (103)$$

Pentru a rezolva această ecuație , vom pleca de la analiza sa asimptotică . Dacă vom considera mai întâi $r \rightarrow \infty$, observăm că termenul de moment unghiular este neglijabil, astfel că în această limită comportamentul asimptotic este identic aceluia a lui (9), ceea ce ne conduce la:

$$R_{nl}(r) \sim \exp \frac{-\lambda r^2}{2} \quad \text{în } \lim r \rightarrow \infty . \quad (104)$$

Dacă studiem acum comportamentul în jurul lui zero, vedem că termenul dominant este cel de moment unghiular, adică , ecuația diferențială (102) se converte în această limită în :

$$R_{nl}'' - \frac{l(l+1)}{r^2} R_{nl} = 0 . \quad (105)$$

Aceasta este o ecuație diferențială de tip Euler ⁸ , a cărei rezolvare duce la două soluții independente:

$$R_{nl}(r) \sim r^{l+1} \text{ sau } r^{-l} \quad \text{în } \lim r \rightarrow 0 . \quad (106)$$

Argumentele anterioare ne conduc la a propune substituția :

$$R_{nl}(r) = r^{l+1} \exp \frac{-\lambda r^2}{2} \phi(r) . \quad (107)$$

S-ar putea deasemenea face și următoarea substituție:

$$R_{nl}(r) = r^{-l} \exp \frac{-\lambda r^2}{2} v(r) , \quad (108)$$

care însă ne conduce la aceleași soluții ca și (107) (de arătat acest lucru este un bun exercițiu). Substituind (107) în (103) , se obține următoarea ecuație diferențială pentru ϕ :

$$\phi'' + 2\left(\frac{l+1}{r} - \lambda r\right)\phi' - [\lambda(2l+3) - k^2]\phi = 0 . \quad (109)$$

Cu schimbarea de variabilă $w = \lambda r^2$, obținem:

$$w\phi'' + \left(l + \frac{3}{2} - w\right)\phi' - \left[\frac{1}{2}\left(l + \frac{3}{2}\right) - \frac{\kappa}{2}\right]\phi = 0 , \quad (110)$$

unde am introdus $\kappa = \frac{k^2}{2\lambda} = \frac{E}{\hbar\omega}$. Am ajuns din nou la o ecuație diferențială de tip hipergeometric confluentă cu soluțiile (a se vedea (21) și (22)):

$$\phi(r) = A \, {}_1F_1\left[\frac{1}{2}\left(l + \frac{3}{2} - \kappa\right); l + \frac{3}{2}, \lambda r^2\right] + B \, r^{-(2l+1)} \, {}_1F_1\left[\frac{1}{2}\left(-l + \frac{1}{2} - \kappa\right); -l + \frac{1}{2}, \lambda r^2\right] . \quad (111)$$

⁸O ecuație de tip Euler este de forma :

$$x^n y^{(n)}(x) + x^{n-1} y^{(n-1)}(x) + \dots + xy'(x) + y(x) = 0 .$$

Soluțiile ei sunt de tipul x^α , care se substituie și se găsește un polinom în α .

A doua soluție particulară nu poate fi normalizată , pentru că diverge puternic în zero, ceea ce obligă a lua $B = 0$, deci :

$$\phi(r) = A {}_1F_1\left[\frac{1}{2}\left(l + \frac{3}{2} - \kappa\right); l + \frac{3}{2}, \lambda r^2\right]. \quad (112)$$

Folosind aceleași argumente ca în cazul OA unidimensional, respectiv, a impune ca soluțiile să fie regulate în infinit, înseamnă condiția de trunchiere a seriei, ceea ce implică din nou cuantizarea energiei . Trunchierea este în acest caz:

$$\frac{1}{2}\left(l + \frac{3}{2} - \kappa\right) = -n, \quad (113)$$

unde introducând explicit κ , obținem spectrul de energie :

$$E_{nl} = \hbar\omega\left(2n + l + \frac{3}{2}\right). \quad (114)$$

Putem observa că pentru OA tridimensional sferic simetric există o energie de punct zero $\frac{3}{2}\hbar\omega$.

Funcțiile proprii nenormalizate sunt:

$$\Psi_{nlm}(r, \theta, \varphi) = r^l e^{-\frac{\lambda r^2}{2}} {}_1F_1\left(-n; l + \frac{3}{2}, \lambda r^2\right) Y_{lm}(\theta, \varphi). \quad (115)$$

5P. Probleme

Problema 5.1

Să se determine autovalorile și funcțiile proprii ale OA în spațiul impulsurilor.

Hamiltonianul cuantic de OA este:

$$\hat{H} = \frac{\hat{p}^2}{2m} + \frac{1}{2}m\omega^2 \hat{x}^2.$$

În spațiul impulsurilor, operatorii \hat{x} și \hat{p} au următoarea formă :

$$\begin{aligned} \hat{p} &\rightarrow p \\ \hat{x} &\rightarrow i\hbar \frac{\partial}{\partial p}. \end{aligned}$$

Prin urmare Hamiltonianul cuantic OA în reprezentarea de impuls este :

$$\hat{H} = \frac{p^2}{2m} - \frac{1}{2}m\omega^2 \hbar^2 \frac{d^2}{dp^2}.$$

Avem de rezolvat problema de autovalori (ceea ce înseamnă de obținut funcțiile proprii și autovalorile) dată prin (5) , care cu Hamiltonianul anterior, este următoarea ecuație diferențială :

$$\frac{d^2\Psi(p)}{dp^2} + \left(\frac{2E}{m\hbar^2\omega^2} - \frac{p^2}{m^2\hbar^2\omega^2}\right)\Psi(p) = 0 . \quad (116)$$

Se poate observa că această ecuație diferențială , este identică , pînă la constante, cu ecuația diferențială din spațiul configurațiilor (ec. (6)). Pentru a exemplifica o altă formă de a o rezolva, nu vom urma exact același drum.

Definim doi parametri, analogi celor din (7) și (8):

$$k^2 = \frac{2E}{m\hbar^2\omega^2} \quad \lambda = \frac{1}{m\hbar\omega} . \quad (117)$$

Cu aceste definiții, ajungem la ecuația diferențială (9) și deci soluția căutată (în urma efectuării analizei asimptotice) este de forma:

$$\Psi(y) = e^{-\frac{1}{2}y}\phi(y) , \quad (118)$$

unde y este dat de $y = \lambda p^2$ și λ este definit în (117). Substituind (118) în (116) , avînd grijă să punem (118) în variabila p . Se obține astfel o ecuație diferențială pentru ϕ :

$$\frac{d^2\phi(p)}{dp^2} - 2\lambda p \frac{d\phi(p)}{dp} + (k^2 - \lambda)\phi(p) = 0 . \quad (119)$$

Vom face acum schimbul de variabilă $u = \sqrt{\lambda}p$, care ne conduce la ecuația Hermite :

$$\frac{d^2\phi(u)}{du^2} - 2u \frac{d\phi(u)}{du} + 2n\phi(u) = 0 , \quad (120)$$

cu n un întreg nenegativ , și unde am pus :

$$\frac{k^2}{\lambda} - 1 = 2n .$$

De aici și din definițiile date în (117) rezultă că autovalorile de energie sunt date de :

$$E_n = \hbar\omega\left(n + \frac{1}{2}\right) .$$

Soluțiile pentru (120) sunt polinoamele Hermite $\phi(u) = H_n(u)$ și funcțiile proprii nenormalizate sunt :

$$\Psi(p) = Ae^{-\frac{\lambda}{2}p^2} H_n(\sqrt{\lambda}p) .$$

Problema 5.2

Să se demonstreze că polinoamele Hermite pot fi expresate în următoarea reprezentare integrală :

$$H_n(x) = \frac{2^n}{\sqrt{\pi}} \int_{-\infty}^{\infty} (x + iy)^n e^{-y^2} dy . \quad (121)$$

Această reprezentare a polinoamelor Hermite nu este foarte uzuală , deși se poate dovedi utilă în unele cazuri. Ceea ce vom face pentru a realiza demonstrația , este să dezvoltăm integrala și să demonstrăm că ceea ce se obține este identic cu reprezentarea în serie a polinoamelor Hermite pentru care avem :

$$\sum_{k=0}^{\lfloor \frac{n}{2} \rfloor} \frac{(-1)^k n!}{(n-2k)! k!} (2x)^{n-2k} , \quad (122)$$

unde simbolul $\lfloor c \rfloor$ unde se termină seria semnifică cel mai mare întreg mai mic sau egal cu c .

Primul lucru pe care îl vom face este să dezvoltăm binomul din integrală folosind binecunoscuta teoremă a binomului:

$$(x + y)^n = \sum_{m=0}^n \frac{n!}{(n-m)! m!} x^{n-m} y^m .$$

Astfel:

$$(x + iy)^n = \sum_{m=0}^n \frac{n!}{(n-m)! m!} i^m x^{n-m} y^m , \quad (123)$$

care substituit în integrală duce la:

$$\frac{2^n}{\sqrt{\pi}} \sum_{m=0}^n \frac{n!}{(n-m)! m!} i^m x^{n-m} \int_{-\infty}^{\infty} y^m e^{-y^2} dy . \quad (124)$$

Din forma expresiei din integrală putem să vedem că este diferită de zero când m este par , în cazul impar integrala se anulează din motive evidente. Folosind notația pară $m = 2k$ avem:

$$\frac{2^n}{\sqrt{\pi}} \sum_{k=0}^{\lfloor \frac{n}{2} \rfloor} \frac{n!}{(n-2k)! (2k)!} i^{2k} x^{n-2k} 2 \int_0^{\infty} y^{2k} e^{-y^2} dy . \quad (125)$$

Cu schimbul de variabilă $u = y^2$, integrala devine o funcție gamma :

$$\frac{2^n}{\sqrt{\pi}} \sum_{k=0}^{\lfloor \frac{n}{2} \rfloor} \frac{n!}{(n-2k)!(2k)!} i^{2k} x^{n-2k} \int_0^\infty u^{k-\frac{1}{2}} e^{-u} du , \quad (126)$$

respectiv $\Gamma(k + \frac{1}{2})$, care în plus se poate exprima prin factoriali (desigur pentru k întreg) :

$$\Gamma(k + \frac{1}{2}) = \frac{(2k)!}{2^{2k} k!} \sqrt{\pi} .$$

Substituind această expresie în sumă și folosind faptul că $i^{2k} = (-1)^k$ se obține

$$\sum_{k=0}^{\lfloor \frac{n}{2} \rfloor} \frac{(-1)^k n!}{(n-2k)! k!} (2x)^{n-2k} , \quad (127)$$

care este identic cu (122) , ceea ce completează demonstrația.

Problema 5.3

Să se arate că relația de incertitudine Heisenberg se satisface efectuînd calculul cu funcțiile proprii ale OA .

Trebuie să arătăm că pentru oricare Ψ_n se satisface:

$$\langle (\Delta p)^2 (\Delta x)^2 \rangle \geq \frac{\hbar^2}{4} , \quad (128)$$

unde notația $\langle \rangle$ înseamnă valoare medie.

Vom calcula în mod separat $\langle (\Delta p)^2 \rangle$ și $\langle (\Delta x)^2 \rangle$, unde fiecare din aceste expresii este :

$$\langle (\Delta p)^2 \rangle = \langle (p - \langle p \rangle)^2 \rangle = \langle p^2 - 2p \langle p \rangle + \langle p \rangle^2 \rangle = \langle p^2 \rangle - \langle p \rangle^2 ,$$

$$\langle (\Delta x)^2 \rangle = \langle (x - \langle x \rangle)^2 \rangle = \langle x^2 - 2x \langle x \rangle + \langle x \rangle^2 \rangle = \langle x^2 \rangle - \langle x \rangle^2 .$$

Mai întii vom arăta că atît media lui x cît și a lui p sunt zero. Pentru media lui x avem:

$$\langle x \rangle = \int_{-\infty}^{\infty} x [\Psi_n(x)]^2 dx .$$

Această integrală se anulează datorită imparității expresiei de integrat, care este manifestă . Rezultă deci că :

$$\langle x \rangle = 0 . \quad (129)$$

Aceleași argumente sunt corecte pentru media lui p , dacă efectuăm calculul în spațiul impulsurilor, respectiv cu ajutorul funcțiilor obținute în problema 1 . Este suficient să vedem că forma funcțională este aceeași (se schimbă doar simbolul). Deci:

$$\langle p \rangle = 0 . \quad (130)$$

Să calculăm acum media lui x^2 . Vom folosi teorema virialului ⁹. Observăm mai întâi că :

$$\langle V \rangle = \frac{1}{2}m\omega^2 \langle x^2 \rangle .$$

Prin urmare este posibilă relaționarea mediei lui x^2 direct cu media potențialului în acest caz (și deci folosirea teoremei virialului).

$$\langle x^2 \rangle = \frac{2}{m\omega^2} \langle V \rangle . \quad (131)$$

Avem nevoie deasemenea de media energiei totale :

$$\langle H \rangle = \langle T \rangle + \langle V \rangle ,$$

pentru care din nou se poate folosi teorema virialului (pentru $n = 2$) :

$$\langle H \rangle = 2 \langle V \rangle . \quad (132)$$

Astfel, se obține:

$$\langle x^2 \rangle = \frac{\langle H \rangle}{m\omega^2} = \frac{\hbar\omega(n + \frac{1}{2})}{m\omega^2} \quad (133)$$

⁹ Amintim că teorema virialului în mecanica cuantică afirmă că :

$$2 \langle T \rangle = \langle \mathbf{r} \cdot \nabla V(\mathbf{r}) \rangle .$$

Pentru un potențial de forma $V = \lambda x^n$ se satisface:

$$2 \langle T \rangle = n \langle V \rangle ,$$

unde T reprezintă energia cinetică și V este energia potențială .

$$\langle x^2 \rangle = \frac{\hbar}{m\omega} \left(n + \frac{1}{2}\right). \quad (134)$$

Similar, media lui p^2 se poate calcula explicit:

$$\langle p^2 \rangle = 2m \langle \frac{p^2}{2m} \rangle = 2m \langle T \rangle = m \langle H \rangle = m\hbar\omega \left(n + \frac{1}{2}\right). \quad (135)$$

Cu (133) și (135) avem:

$$\langle (\Delta p)^2 (\Delta x)^2 \rangle = \left(n + \frac{1}{2}\right)^2 \hbar^2. \quad (136)$$

Pe baza acestui rezultat ajungem la concluzia că în stările staționare ale OA, care practic nu au fost folosite în mod direct, relația de incertitudine Heisenberg se satisface și are valoarea minimă pentru starea fundamentală $n = 0$.

Problema 5.4

Să se obțină elementele de matrice ale operatorilor a , a^\dagger , \hat{x} și \hat{p} .

Să găsim mai întâi elementele de matrice pentru operatorii de creație și anihilare, care sunt de mult ajutor pentru a obține elemente de matrice pentru restul operatorilor.

Vom folosi relațiile (65) și (66), care duc la:

$$\langle m | a | n \rangle = \sqrt{n} \langle m | n - 1 \rangle = \sqrt{n} \delta_{m,n-1}. \quad (137)$$

În mod similar pentru operatorul de creație avem rezultatul:

$$\langle m | a^\dagger | n \rangle = \sqrt{n+1} \langle m | n + 1 \rangle = \sqrt{n+1} \delta_{m,n+1}. \quad (138)$$

Să trecem acum la calculul elementelor de matrice ale operatorului de poziție. Pentru al efectua, să exprimăm operatorul de poziție în funcție de operatorii de creație și anihilare. Folosind definițiile (39) și (40), se demonstrează imediat că operatorul de poziție este dat de :

$$\hat{x} = \sqrt{\frac{\hbar}{2m\omega}} (a + a^\dagger). \quad (139)$$

Folosind acest rezultat, elementele de matrice ale operatorului \hat{x} pot fi calculate în manieră imediată :

$$\begin{aligned} \langle m | \hat{x} | n \rangle &= \langle m | \sqrt{\frac{\hbar}{2m\omega}}(a + a^\dagger) | n \rangle \\ &= \sqrt{\frac{\hbar}{2m\omega}}[\sqrt{n}\delta_{m,n-1} + \sqrt{n+1}\delta_{m,n+1}] . \end{aligned} \quad (140)$$

Urmînd același procedeu putem calcula elementele de matrice ale operatorului impuls, considerînd că \hat{p} este dat în funcție de operatorii de creație și anihilare în forma :

$$\hat{p} = i\sqrt{\frac{m\hbar\omega}{2}}(a^\dagger - a) , \quad (141)$$

ceea ce ne conduce la:

$$\langle m | \hat{p} | n \rangle = i\sqrt{\frac{m\hbar\omega}{2}}[\sqrt{n+1}\delta_{m,n+1} - \sqrt{n}\delta_{m,n-1}] . \quad (142)$$

Se poate vedea ușurința cu care se pot face calculele dacă se folosesc elementele de matrice ale operatorilor de creație și anihilare. Finalizăm cu o observație în legătură cu nedijagonalitatea elementelor de matrice obținute. Aceasta este de așteptat datorită faptului că reprezentarea folosită este cea a operatorului de număr și nici unul dintre cei patru operatori nu comută cu el.

Problema 5.5

Să se găsească valorile medii ale lui \hat{x}^2 și \hat{p}^2 pentru OA unidimensional și să se folosească acestea pentru calculul valorilor medii (de așteptare) ale energiei cinetice și celei potențiale. Să se compare acest ultim rezultat cu teorema virialului.

Mai întii să obținem valoarea medie a lui \hat{x}^2 . Pentru aceasta recurgem la expresia (139), care ne conduce la :

$$\hat{x}^2 = \frac{\hbar}{2m\omega}(a^2 + (a^\dagger)^2 + a^\dagger a + a a^\dagger) . \quad (143)$$

Se amintește că operatorii de creație și anihilare nu comută între ei . Avînd (143) putem calcula valoarea medie a lui \hat{x}^2 :

$$\langle \hat{x}^2 \rangle = \langle n | \hat{x}^2 | n \rangle$$

$$\begin{aligned}
&= \frac{\hbar}{2m\omega} [\sqrt{n(n-1)}\delta_{n,n-2} + \sqrt{(n+1)(n+2)}\delta_{n,n+2} \\
&+ n\delta_{n,n} + (n+1)\delta_{n,n}] , \tag{144}
\end{aligned}$$

ceea ce arată că :

$$\langle \hat{x}^2 \rangle = \langle n | \hat{x}^2 | n \rangle = \frac{\hbar}{2m\omega}(2n+1) . \tag{145}$$

Pentru calcularea valorii medii a lui \hat{p}^2 folosim (141) pentru a exprima acest operator în funcție de operatorii de creație și anihilare:

$$\hat{p}^2 = -\frac{m\hbar\omega}{2}(a^2 + (a^\dagger)^2 - aa^\dagger - a^\dagger a) , \tag{146}$$

ceea ce ne conduce la:

$$\langle \hat{p}^2 \rangle = \langle n | \hat{p}^2 | n \rangle = \frac{m\hbar\omega}{2}(2n+1) . \tag{147}$$

Ultimul rezultat ne dă practic media energiei cinetice :

$$\langle \hat{T} \rangle = \langle \frac{\hat{p}^2}{2m} \rangle = \frac{1}{2m} \langle \hat{p}^2 \rangle = \frac{\hbar\omega}{4}(2n+1) . \tag{148}$$

Valoarea medie a energiei potențiale este:

$$\langle \hat{V} \rangle = \langle \frac{1}{2}m\omega^2\hat{x}^2 \rangle = \frac{1}{2}m\omega^2 \langle \hat{x}^2 \rangle = \frac{\hbar\omega}{4}(2n+1) , \tag{149}$$

unde s-a folosit (145).

Observăm că aceste valori medii coincid pentru orice n , ceea ce este în conformitate cu teorema virialului, care ne spune că pentru un potențial quadratic ca cel de OA, valorile medii ale energiei cinetice și potențiale trebuie să coincidă și deci să fie jumătate din valoarea medie a energiei totale.

6. ATOMUL DE HIDROGEN

Introducere

În acest capitol vom studia atomul de hidrogen, rezolvînd ecuația Schrödinger independentă de timp cu un potențial produs de două particule încărcate electric cum este cazul electronului și protonului, cu Laplaceanul în coordonate sferice. Din punct de vedere matematic, se va folosi metoda separării de variabile, dînd o interpretare fizică funcției de undă ca soluție a ecuației Schrödinger pentru acest caz important, odată cu interpretarea numerelor cuantice și a densităților de probabilitate.

Scala spațială foarte mică a atomului de hidrogen intră în domeniul de aplicabilitate al mecanicii cuantice, pentru care fenomenele atomice au fost o arie de verificare și interpretare a rezultatelor încă de la bun început. Cum mecanica cuantică dă, între altele, relații între mărimile observabile și cum principiul de incertitudine modifică radical definiția teoretică a unei “observabile” este important să înțelegem în mod cît mai clar noțiunea cuantică de observabilă în cîmpul atomic. De acord cu principiul de incertitudine, poziția și impulsul unei particule nu se pot măsura simultan sub o anumită precizie impusă de comutatorii cuantici. De fapt, mărimile asupra cărora mecanica cuantică dă rezultate și pe care le relaționează sunt întotdeauna probabilități. În loc de a afirma, de exemplu, că raza orbitei electronului într-o stare fundamentală a atomului de hidrogen este întotdeauna 5.3×10^{-11} m, mecanica cuantică afirmă că aceasta este doar raza medie; dacă efectuăm un experiment adecuat, vom obține exact ca în cazul experimentelor cu detectori macroscopici pe probe macroscopice diferite valori aleatorii dar a căror medie va fi 5.3×10^{-11} m. Așadar, din punctul de vedere al erorilor experimentale nu există nici o diferență față de fizica clasică.

După cum se știe, pentru calculul valorilor medii în mecanica cuantică este necesară o funcție de undă corespunzătoare Ψ . Deși Ψ nu are o interpretare fizică directă, modulul pătrat $|\Psi|^2$ calculat într-un punct arbitrar din spațiu și la un moment dat este proporțional cu probabilitatea de a găsi particula într-o vecinătate infinezimală a aceluși punct și la momentul dat. Scopul mecanicii cuantice este determinarea lui Ψ pentru o microparticulă în diferite condiții experimentale.

Înainte de a trece la calculul efectiv al lui Ψ pentru cazul electronului hidrogenic, trebuie să stabilim unele rechizite generale (care trebuie să se

respecte în orice situație). În primul rând, pentru că $|\Psi|^2$ este proporțional cu probabilitatea P de a găsi particula descrisă prin Ψ , integrala $|\Psi|^2$ pe tot spațiul trebuie să fie finită, pentru ca într-adevăr particula să poată fi localizată. Deasemenea, dacă

$$\int_{-\infty}^{\infty} |\Psi|^2 dV = 0 \quad (1)$$

particula nu există, iar dacă integrala este ∞ nu putem avea semnificație fizică; $|\Psi|^2$ nu poate fi negativă sau complexă din simple motive matematice, astfel că unica posibilitate rămâne ca integrala să fie finită pentru a avea o descriere acceptabilă a unei particule reale. În general, este convenabil de a identifica $|\Psi|^2$ cu probabilitatea P de a găsi particula descrisă de către Ψ și nu doar simpla proporționalitate cu P. Pentru ca $|\Psi|^2$ să fie egală cu P se impune

$$\int_{-\infty}^{\infty} |\Psi|^2 dV = 1, \quad (2)$$

pentru că

$$\int_{-\infty}^{\infty} P dV = 1 \quad (3)$$

este afirmația matematică a faptului că particula există într-un loc din spațiu la orice moment. O funcție care respectă ec. 2 se spune că este normalizată. Pe lângă această condiție fundamentală, Ψ trebuie să aibă o valoare unică, pentru că P are o singură valoare într-un loc și la un moment determinat. O altă condiție pe care Ψ trebuie să o satisfacă este că atât ea cât și derivatele sale parțiale $\frac{\partial \Psi}{\partial x}$, $\frac{\partial \Psi}{\partial y}$, $\frac{\partial \Psi}{\partial z}$ trebuie să fie continue în orice punct arbitrar.

Ecuția Schrödinger este considerată ecuația fundamentală a mecanicii cuantice în același sens în care legea forței este ecuația fundamentală a mecanicii newtoniene cu deosebirea importantă că este o ecuație de undă pentru Ψ .

Odată ce energia potențială este cunoscută, se poate rezolva ecuația Schrödinger pentru funcția de undă Ψ a particulei, a cărei densitate de probabilitate $|\Psi|^2$ se poate determina pentru x, y, z, t . În multe situații, energia potențială a unei particule nu depinde explicit de timp; forțele care acționează asupra ei se schimbă în funcție numai de poziția particulei. În aceste condiții, ecuația Schrödinger se poate simplifica eliminând tot ce se referă la t . Să notăm că se poate scrie funcția de undă unidimensională a unei particule libere în forma

$$\Psi(x, t) = Ae^{(-i/\hbar)(Et - px)}$$

$$\begin{aligned}
&= Ae^{-(iE/\hbar)t}e^{(ip/\hbar)x} \\
&= \psi(x)e^{-(iE/\hbar)t} .
\end{aligned} \tag{4}$$

$\Psi(x, t)$ este produsul între o funcție dependentă de timp $e^{-(iE/\hbar)t}$ și una staționară , dependentă numai de poziție $\psi(x)$.

În cazul general însă , ecuația Schrödinger pentru o stare staționară se poate rezolva numai pentru anumite valori ale energiei E. Nu este vorba de dificultăți matematice, ci de un aspect fundamental. “A rezolva” ecuația Schrödinger pentru un sistem dat înseamnă a obține o funcție de undă ψ care nu numai că satisface ecuația și condițiile de frontieră impuse, ci este o funcție de undă acceptabilă , respectiv, funcția și derivata sa să fie continue, finite și univoce. Astfel, cuantizarea energiei apare în mecanica ondulatorie ca un element teoretic natural, iar în practică ca un fenomen universal, caracteristic tuturor sistemelor microscopice stabile .

Ecuția Schrödinger pentru atomul de hidrogen

În continuare, vom aplica ecuația Schrödinger atomului de hidrogen, despre care se știa pe baza experimentelor Rutherford că este format dintr-un proton, particulă cu sarcina electrică $+e$ și un electron de sarcină $-e$ și care fiind de 1836 de ori mai ușor decât protonul este cu mult mai mobil.

Dacă interacțiunea între două particule este de tipul $u(r) = u(|\vec{r}_1 - \vec{r}_2|)$, problema de mișcare se reduce atât clasic cât și cuantic la mișcarea unei singure particule în câmpul de simetrie sferică . Într-adevăr Lagrangeanul:

$$L = \frac{1}{2}m_1\dot{r}_1^2 + \frac{1}{2}m_2\dot{r}_2^2 - u(|\vec{r}_1 - \vec{r}_2|) \tag{5}$$

se transformă folosind:

$$\vec{r} = \vec{r}_1 - \vec{r}_2 \tag{6}$$

și

$$\vec{R} = \frac{m_1\vec{r}_1 + m_2\vec{r}_2}{m_1 + m_2} , \tag{7}$$

în Lagrangeanul:

$$L = \frac{1}{2}M\dot{R}^2 + \frac{1}{2}\mu\dot{r}^2 - u(r) , \tag{8}$$

unde

$$M = m_1 + m_2 \tag{9}$$

și

$$\mu = \frac{m_1 m_2}{m_1 + m_2} . \quad (10)$$

Pe de altă parte, introducerea impulsului se face cu formulele Lagrange

$$\vec{P} = \frac{\partial L}{\partial \dot{\vec{R}}} = M \dot{\vec{R}} \quad (11)$$

și

$$\vec{p} = \frac{\partial L}{\partial \dot{\vec{r}}} = m \dot{\vec{r}} , \quad (12)$$

ceea ce permite scrierea funcției Hamilton clasice

$$H = \frac{P^2}{2M} + \frac{p^2}{2m} + u(r) . \quad (13)$$

Astfel, se poate obține operatorul hamiltonian pentru problema corespunzătoare cuantică cu comutatori de tipul

$$[P_i, P_k] = -i\hbar\delta_{ik} \quad (14)$$

și

$$[p_i, p_k] = -i\hbar\delta_{ik} . \quad (15)$$

Acești comutatori implică un operator Hamiltonian de forma

$$\hat{H} = -\frac{\hbar^2}{2M}\nabla_R^2 - \frac{\hbar^2}{2m}\nabla_r^2 + u(r) , \quad (16)$$

care este fundamental pentru studiul atomului de hidrogen cu ajutorul ecuației Schrödinger în forma staționară

$$\hat{H}\psi = E\psi , \quad (17)$$

ceea ce presupune că nu se iau în considerare efecte relativiste (viteze apropiate de cele ale luminii în vid).

Energia potențială $u(r)$ este cea electrostatică

$$u = -\frac{e^2}{4\pi\epsilon_0 r} \quad (18)$$

Există două posibilități: prima, de a exprima u în funcție de coordonatele carteziene x, y, z substituind r prin $\sqrt{x^2 + y^2 + z^2}$, a doua, de a exprima ecuația Schrödinger în funcție de coordonatele polare sferice r, θ, ϕ .

În virtutea simetriei sferice a situației fizice, vom trata ultimul caz pentru că problema matematică se simplifică considerabil.

Prin urmare, în coordonate polare sferice, ecuația Schrödinger este

$$\frac{1}{r^2} \frac{\partial}{\partial r} \left(r^2 \frac{\partial \psi}{\partial r} \right) + \frac{1}{r^2 \sin \theta} \frac{\partial}{\partial \theta} \left(\sin \theta \frac{\partial \psi}{\partial \theta} \right) + \frac{1}{r^2 \sin^2 \theta} \frac{\partial^2 \psi}{\partial \phi^2} + \frac{2m}{\hbar^2} (E - u) \psi = 0 \quad (19)$$

Substituind (18) și multiplicând toată ecuația cu $r^2 \sin^2 \theta$, se obține

$$\sin^2 \theta \frac{\partial}{\partial r} \left(r^2 \frac{\partial \psi}{\partial r} \right) + \sin \theta \frac{\partial}{\partial \theta} \left(\sin \theta \frac{\partial \psi}{\partial \theta} \right) + \frac{\partial^2 \psi}{\partial \phi^2} + \frac{2mr^2 \sin^2 \theta}{\hbar^2} \left(\frac{e^2}{4\pi\epsilon_0 r} + E \right) \psi = 0. \quad (20)$$

Această ecuație este ecuația diferențială cu derivate parțiale pentru funcția de undă $\psi(r, \theta, \phi)$ a electronului în atomul de hidrogen. Împreună cu diferitele condiții pe care $\psi(r, \theta, \phi)$ trebuie să le îndeplinească [de exemplu, $\psi(r, \theta, \phi)$ trebuie să aibă o valoare unică pentru fiecare punct spațial (r, θ, ϕ)], această ecuație specifică de manieră completă comportamentul electronului hidrogenic. Pentru a vedea care este acest comportament, vom rezolva ec. 20 pentru $\psi(r, \theta, \phi)$ și vom interpreta rezultatele obținute.

Separarea de variabile în coordonate sferice

Ceea ce este cu adevărat util în scrierea ecuației Schrödinger în coordonate sferice pentru atomul de hidrogen constă în faptul că astfel se poate realiza ușor separarea în trei ecuații independente, fiecare unidimensională. Procedeeul de separare este de a căuta soluțiile pentru care funcția de undă $\psi(r, \theta, \phi)$ are forma unui produs de trei funcții, fiecare într-una din cele trei variabile sferice: $R(r)$, care depinde numai de r ; $\Theta(\theta)$ care depinde numai de θ ; și $\Phi(\phi)$ care depinde numai de ϕ și este practic analog separării ecuației Laplace. Deci

$$\psi(r, \theta, \phi) = R(r)\Theta(\theta)\Phi(\phi). \quad (21)$$

Funcția $R(r)$ descrie variația funcției de undă ψ a electronului de-a lungul razei vectoriale dinspre nucleu, cu θ și ϕ constante. Variația lui ψ cu unghiul zenital θ de-a lungul unui meridian al unei sfere centrată în nucleu este descrisă numai de către funcția $\Theta(\theta)$ pentru r și ϕ constante. În sfârșit, funcția $\Phi(\phi)$ descrie cum variază ψ cu unghiul azimutal ϕ de-a lungul unei paralele a unei sfere centrată în nucleu, în condițiile în care r și θ sunt menținute constante.

Folosind $\psi = R\Theta\Phi$, vedem că

$$\frac{\partial\psi}{\partial r} = \Theta\Phi \frac{dR}{dr}, \quad (22)$$

$$\frac{\partial\psi}{\partial\theta} = R\Phi \frac{d\Theta}{d\theta}, \quad (23)$$

$$\frac{\partial\psi}{\partial\phi} = R\Theta \frac{d\Phi}{d\phi}. \quad (24)$$

Evident, același tip de formule se menține pentru derivatele de ordin superior nemixte. Substituindu-le în ec. 20, după împărțirea cu $R\Theta\Phi$ se obține

$$\frac{\sin^2\theta}{R} \frac{d}{dr} \left(r^2 \frac{dR}{dr} \right) + \frac{\sin\theta}{\Theta} \frac{d}{d\theta} \left(\sin\theta \frac{d\Theta}{d\theta} \right) + \frac{1}{\Phi} \frac{d^2\Phi}{d\phi^2} + \frac{2mr^2 \sin^2\theta}{\hbar^2} \left(\frac{e^2}{4\pi\epsilon_0 r} + E \right) = 0. \quad (25)$$

Al treilea termen al acestei ecuații este funcție numai de unghiul ϕ , în timp ce ceilalți doi sunt funcții de r și θ . Rescriem ecuația anterioară în forma

$$\frac{\sin^2\theta}{R} \frac{\partial}{\partial r} \left(r^2 \frac{\partial R}{\partial r} \right) + \frac{\sin\theta}{\Theta} \frac{\partial}{\partial\theta} \left(\sin\theta \frac{\partial\Theta}{\partial\theta} \right) + \frac{2mr^2 \sin^2\theta}{\hbar^2} \left(\frac{e^2}{4\pi\epsilon_0 r} + E \right) = -\frac{1}{\Phi} \frac{\partial^2\Phi}{\partial\phi^2}. \quad (26)$$

Această ecuație poate fi corectă numai dacă cei doi membri sunt egali cu aceeași constantă, pentru că sunt funcții de variabile diferite. Este convenabil să notăm această constantă cu m_l^2 . Ecuația diferențială pentru funcția Φ este

$$-\frac{1}{\Phi} \frac{\partial^2\Phi}{\partial\phi^2} = m_l^2. \quad (27)$$

Dacă se substituie m_l^2 în partea dreaptă a ec. 26 și se divide ecuația rezultantă cu $\sin^2\theta$, după o regrupare a termenilor, se obține

$$\frac{1}{R} \frac{d}{dr} \left(r^2 \frac{dR}{dr} \right) + \frac{2mr^2}{\hbar^2} \left(\frac{e^2}{4\pi\epsilon_0 r} + E \right) = \frac{m_l^2}{\sin^2\theta} - \frac{1}{\Theta \sin\theta} \frac{d}{d\theta} \left(\sin\theta \frac{d\Theta}{d\theta} \right). \quad (28)$$

Încă odată se prezintă o ecuație în care apar variabile diferite în fiecare membru, ceea ce obligă la egalarea ambilor cu aceeași constantă. Din motive care se vor vedea mai târziu, vom nota această constantă prin $l(l+1)$. Ecuațiile pentru funcțiile $\Theta(\theta)$ și $R(r)$ sunt

$$\frac{m_l^2}{\sin^2\theta} - \frac{1}{\Theta \sin\theta} \frac{d}{d\theta} \left(\sin\theta \frac{d\Theta}{d\theta} \right) = l(l+1) \quad (29)$$

și

$$\frac{1}{R} \frac{d}{dr} \left(r^2 \frac{dR}{dr} \right) + \frac{2mr^2}{\hbar^2} \left(\frac{e^2}{4\pi\epsilon_0 r} + E \right) = l(l+1) . \quad (30)$$

Ecuțiile 27, 29 și 30 se scriu în mod normal în forma

$$\frac{d^2\Phi}{d\phi^2} + m_l^2\Phi = 0 , \quad (31)$$

$$\frac{1}{\sin\theta} \frac{d}{d\theta} \left(\sin\theta \frac{d\Theta}{d\theta} \right) + \left[l(l+1) - \frac{m_l^2}{\sin^2\theta} \right] \Theta = 0 , \quad (32)$$

$$\frac{1}{r^2} \frac{d}{dr} \left(r^2 \frac{dR}{dr} \right) + \left[\frac{2m}{\hbar^2} \left(\frac{e^2}{4\pi\epsilon_0 r} + E \right) - \frac{l(l+1)}{r^2} \right] R = 0 . \quad (33)$$

Fiecare dintre aceste ecuații este o ecuație diferențială ordinară pentru o funcție de o singură variabilă . În felul acesta s-a reușit simplificarea ecuației Schrödinger pentru atomul de hidrogen care, inițial, era o ecuație diferențială parțială pentru o funcție ψ de trei variabile.

Interpretarea constantelor de separare: numere cuantice

Soluția pentru partea azimutală

Ec. 31 se rezolvă ușor pentru a găsi următoarea soluție

$$\Phi(\phi) = A_\phi e^{im_l\phi} , \quad (34)$$

unde A_ϕ este constanta de integrare. Una dintre condițiile stabilite mai înainte pe care trebuie să le îndeplinească o funcție de undă (și prin urmare deasemenea Φ , care este o componentă a funcției complete ψ) este să aibă o valoare unică pentru fiecare punct din spațiu fără excepție. De exemplu, se observă că ϕ și $\phi + 2\pi$ se identifică în același plan meridian. De aceea, trebuie ca $\Phi(\phi) = \Phi(\phi + 2\pi)$, adică $Ae^{im_l\phi} = Ae^{im_l(\phi+2\pi)}$. Aceasta se poate îndeplini numai când m_l este 0 sau un număr întreg pozitiv sau negativ ($\pm 1, \pm 2, \pm 3, \dots$). Acest număr m_l se cunoaște ca numărul cuantic magnetic al atomului de hidrogen și este relaționat cu direcția momentului cinetic L pentru că s-a putut fi asociat cu efectele câmpurilor magnetice axiale asupra electronului. Numărul cuantic magnetic m_l este determinat de către

numărul cuantic orbital l , care la rîndul său determină modulul momentului cinetic al electronului.

Interpretarea numărului cuantic orbital l nu este nici ea fără unele probleme. Să examinăm ec. 33, care corespunde părții radiale $R(r)$ a funcției de undă ψ . Această ecuație este relaționată numai cu aspectul radial al mișcării electronilor, adică, cu apropierea și depărtarea de nucleu (pentru elipse); totuși, este prezentă și energia totală a electronului E . Această energie include energia cinetică a electronului în mișcare orbitală care nu are nimic de-a face cu mișcarea radială. Această contradicție se poate elimina cu următorul raționament: energia cinetică T a electronului are două părți: T_{radial} datorată mișcării de apropiere și depărtare de nucleu, și $T_{orbital}$ datorată mișcării în jurul nucleului. Energia potențială V a electronului este energia electrostatică. Prin urmare, energia sa totală este

$$E = T_{radial} + T_{orbital} - \frac{e^2}{4\pi\epsilon_0 r} . \quad (35)$$

Substituind această expresie a lui E în ec. 33 obținem, după o regrupare a termenilor,

$$\frac{1}{r^2} \frac{d}{dr} \left(r^2 \frac{dR}{dr} \right) + \frac{2m}{\hbar^2} \left[T_{radial} + T_{orbital} - \frac{\hbar^2 l(l+1)}{2mr^2} \right] R = 0 . \quad (36)$$

Dacă ultimii doi termeni din paranteze se anulează între ei, obținem o ecuație diferențială pentru mișcarea pur radială. Impunem deci condiția

$$T_{orbital} = \frac{\hbar^2 l(l+1)}{2mr^2} . \quad (37)$$

Energia cinetică orbitală a electronului este însă

$$T_{orbital} = \frac{1}{2} m v_{orbital}^2 \quad (38)$$

și cum momentul cinetic L al electronului este

$$L = m v_{orbital} r , \quad (39)$$

putem exprima energia cinetică orbitală în forma

$$T_{orbital} = \frac{L^2}{2mr^2} \quad (40)$$

De aceea avem

$$\frac{L^2}{2mr^2} = \frac{\hbar^2 l(l+1)}{2mr^2} \quad (41)$$

și deci

$$L = \sqrt{l(l+1)}\hbar . \quad (42)$$

Interpretarea acestui rezultat este că , întrucît numărul cuantic orbital l este limitat la valorile $l = 0, 1, 2, \dots, (n - 1)$, electronul poate avea numai momentele cinetice L care se specifică prin intermediul ec. 42. Ca și în cazul energiei totale E , momentul cinetic se conservă și este cuantizat, iar unitatea sa naturală de măsură în mecanica cuantică este $\hbar = h/2\pi = 1.054 \times 10^{-34}$ J.s.

În mișcarea planetară macroscopică , numărul cuantic care descrie momentul unghiular este atît de mare că separarea în stări discrete ale momentului cinetic nu se poate observa experimental. De exemplu, un electron al cărui număr cuantic orbital este 2, are un moment cinetic $L = 2.6 \times 10^{-34}$ J.s., în timp ce momentul cinetic al planetei noastre este 2.7×10^{40} J.s.!

Se obișnuiește să se noteze stările de moment cinetic cu litera s pentru $l = 0$, cu p pentru $l = 1$, d pentru $l = 2$, etc. Acest cod alfabetic provine din clasificarea empirică a spectrelor în așa numitele serii principală , difuză și fundamentală , care este anterioară mecanicii cuantice.

Combinarea numărului cuantic total cu litera corespunzătoare momentului cinetic este o altă notație frecvent folosită pentru stările atomice. De exemplu, o stare în care $n = 2$, $l = 0$ este o stare $2s$, iar una în care $n = 4$, $l = 2$ este o stare $4d$.

Pe de altă parte, pentru interpretarea numărului cuantic magnetic, vom ține cont că la fel ca pentru impulsul lineal, momentul cinetic este un vector și deci pentru al descrie se necesită specificarea direcției, sensului și modului său. Vectorul L este perpendicular planului în care are loc mișcarea de rotație și direcția și sensul său sunt date de regula mîinii drepte (de produs vectorial): degetul mare are direcția și sensul lui L cînd celelalte patru degete sunt în direcția de rotație.

Dar ce semnificație se poate da unei direcții și sens în spațiul limitat al unui atom de hidrogen ? Răspunsul este simplu dacă ne gîndim că un electron care girează în jurul unui nucleu reprezintă un circuit minuscul, care ca dipol magnetic prezintă un cîmp magnetic corespunzător. În consecință , un electron atomic cu moment cinetic interacționează cu un cîmp magnetic extern B . Numărul cuantic magnetic m_l specifică direcția lui L , determinată

de componenta lui L în direcția câmpului. Acest fenomen se cunoaște în mod comun drept cuantizare spațială .

Dacă alegem direcția câmpului magnetic ca axă z , componenta lui L în această direcție este

$$L_z = m_l \hbar . \quad (43)$$

Valorile posibile ale lui m_l pentru o valoare dată a lui l , merg de la $+l$ pînă la $-l$, trecînd prin 0, astfel că orientările posibile ale vectorului moment cinetic L într-un câmp magnetic sunt $2l + 1$. Cînd $l = 0$, L_z poate avea numai valoarea zero; cînd $l = 1$, L_z poate fi \hbar , 0, sau $-\hbar$; cînd $l = 2$, L_z ia numai una dintre valorile $2\hbar$, \hbar , 0, $-\hbar$, sau $-2\hbar$, și așa mai departe. Menționăm că L nu poate fi exact alineat (paralel sau antiparalel) cu B , pentru că L_z este întotdeauna mai mic decît modulul $\sqrt{l(l+1)}\hbar$ momentului unghiular total.

Cuantizarea spațială a momentului cinetic orbital al atomului de hidrogen se arată în fig. 6.1.

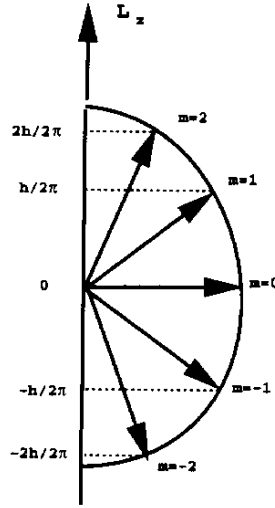


Fig. 6.1: Cuantizarea spațială a momentului cinetic pentru stări $l = 2$, $L = \sqrt{6}\hbar$.

Trebuie să considerăm electronul caracterizat de către un anumit m_l ca avînd o orientare determinată a momentului său cinetic L față de un câmp magnetic extern în cazul în care acesta se aplică .

În absența câmpului magnetic extern, direcția axei z este complet arbitrară . De aceea, componenta lui L în orice direcție pe care o alegem este

$m_l \hbar$; câmpul magnetic extern oferă o direcție de referință privilegiată din punct de vedere experimental.

Dece este cuantizată numai componenta lui L ? Răspunsul se relaționează cu faptul că L nu poate fi direcționat de manieră arbitrară; întotdeauna descrie un con centrat pe axa de cuantizare în așa fel încât proiecția sa L_z este $m_l \hbar$. Motivul pentru care se produce acest fenomen este principiul de incertitudine: dacă L ar fi fix în spațiu, în așa fel încât L_x , L_y și L_z ar avea valori bine definite, electronul ar fi confinat într-un plan bine definit. De exemplu, dacă L ar fi fixat de-a lungul direcției z , electronul ar avea tendința de a se menține în planul xy (fig. 6.2a).

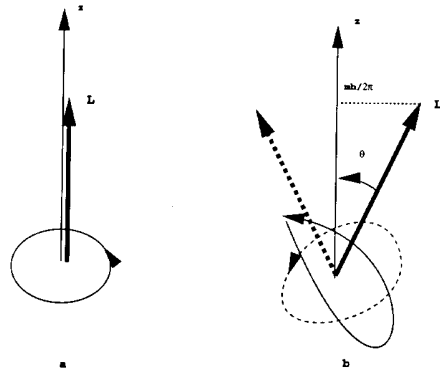


Fig. 6.2: Principiul de incertitudine interzice o direcție fixă în spațiu a momentului cinetic.

Acest lucru poate să aibă loc numai în situația în care componenta p_z a impulsului electronului în direcția z este infinit de incertă, ceea ce desigur este imposibil dacă face parte din atomul de hidrogen. Totuși, cum în realitate numai o componentă L_z a lui L împreună cu L^2 au valori definite și $|L| > |L_z|$, electronul nu este limitat la un plan unic (fig. 6.2b), iar dacă ar fi așa, ar exista o incertitudine în coordonata z a electronului. Direcția lui L se schimbă în mod constant (fig. 6.3), astfel că valorile medii ale lui L_x și L_y sunt 0, deși L_z are întotdeauna valoarea $m_l \hbar$.

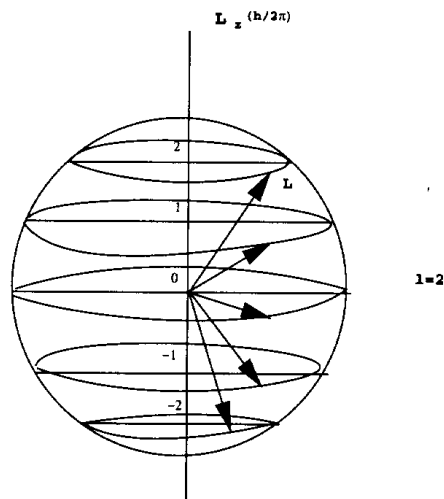


Fig. 6.3: Vectorul moment cinetic prezintă o precesie constantă în jurul axei z .

Soluția pentru Φ trebuie să satisfacă deasemenea condiția de normalizare, care este dată de către ec. 2. Deci pentru Φ avem

$$\int_0^{2\pi} |\Phi|^2 d\phi = 1 \quad (44)$$

și substituind Φ se obține

$$\int_0^{2\pi} A_\phi^2 d\phi = 1. \quad (45)$$

Astfel $A_\phi = 1/\sqrt{2\pi}$ și deci Φ normalizată este dată de

$$\Phi(\phi) = \frac{1}{\sqrt{2\pi}} e^{im_l\phi}. \quad (46)$$

Soluția pentru partea polară

Ecuția diferențială pentru partea polară $\Theta(\theta)$ are o soluție mai complicată fiind dată de polinoamele Legendre asociate

$$P_l^{m_l}(x) = (-1)^{m_l} (1-x^2)^{m_l/2} \frac{d^{m_l}}{dx^{m_l}} P_l(x) = (-1)^{m_l} \frac{(1-x^2)^{m_l/2}}{2^l l!} \frac{d^{m_l+l}}{dx^{m_l+l}} (x^2-1)^l. \quad (47)$$

Aceste funcții satisfac următoarea relație de ortogonalitate

$$\int_{-1}^1 [P_l^{m_l}(\cos\theta)]^2 d\cos\theta = \frac{2}{2l+1} \frac{(l+m_l)!}{(l-m_l)!} . \quad (48)$$

În cazul mecanicii cuantice, $\Theta(\theta)$ este dată de polinoamele Legendre normalizate, respectiv, dacă

$$\Theta(\theta) = A_\theta P_l^{m_l}(\cos\theta) , \quad (49)$$

atunci condiția de normalizare este dată de

$$\int_{-1}^1 A_\theta^2 [P_l^{m_l}(\cos\theta)]^2 d\cos\theta = 1 . \quad (50)$$

Prin urmare constanta de normalizare pentru partea polară este

$$A_\theta = \sqrt{\frac{2l+1}{2} \frac{(l-m_l)!}{(l+m_l)!}} \quad (51)$$

și prin urmare, funcția $\Theta(\theta)$ deja normalizată este

$$\Theta(\theta) = \sqrt{\frac{2l+1}{2} \frac{(l-m_l)!}{(l+m_l)!}} P_l^{m_l}(\cos\theta) \quad (52)$$

Pentru obiectivele noastre, cea mai importantă proprietate a acestor funcții este că , așa cum s-a menționat deja, există numai cînd constanta l este un număr întreg egal sau mai mare decît $|m_l|$, care este valoarea absolută a lui m_l . Această condiție se poate scrie sub forma setului de valori disponibile pentru m_l

$$m_l = 0, \pm 1, \pm 2, \dots, \pm l . \quad (53)$$

Unificarea părților azimutală și polară : armonicile sferice

Soluțiile pentru părțile azimutală și polară se pot uni pentru a forma armonicile sferice, care depind de ϕ și θ și contribuie la simplificarea manipulărilor algebrice ale funcției de undă completă $\psi(r, \theta, \phi)$. Armonicile sferice se introduc în felul următor:

$$Y_l^{m_l}(\theta, \phi) = (-1)^{m_l} \sqrt{\frac{2l+1}{4\pi} \frac{(l-m_l)!}{(l+m_l)!}} P_l^{m_l}(\cos\theta) e^{im_l\phi} . \quad (54)$$

Factorul suplimentar $(-1)^{m_l}$ nu produce nici o problemă pentru că ec. Schrödinger este lineară și homogenă și este convenabil pentru studiul del momentului cinetic. Se cunoaște ca factorul de fază Condon-Shortley, efectul său fiind de a introduce o alternanță a semnelor \pm .

Soluția pentru partea radială

Soluția pentru partea radială $R(r)$ a funcției de undă ψ a atomului de hidrogen este ceva mai complicată și aici este unde apar diferențe mai mari față de ecuația Laplace în electrostatică. Rezultatul final se exprimă în funcție de polinoamele asociate Laguerre (Schrödinger 1926). Ecuația radială se poate rezolva în formă analitică exactă numai când E este pozitiv sau pentru una din următoarele valori negative E_n (în care caz electronul este legat atomului)

$$E_n = -\frac{me^4}{32\pi^2\epsilon_0^2\hbar^2} \left(\frac{1}{n^2}\right), \quad (55)$$

unde n este un număr întreg numit numărul cuantic principal și descrie cuantizarea energiei electronului în atomul de hidrogen. Acest spectru discret a fost obținut pentru prima dată de către Bohr cu metode empirice de cuantizare în 1913 și apoi de către Pauli și respectiv Schrödinger în 1926.

O altă condiție care trebuie să fie satisfăcută pentru a rezolva ecuația radială este ca n să fie întotdeauna mai mare decât l . Valoarea sa minimă este $l + 1$. Invers, condiția asupra lui l este

$$l = 0, 1, 2, \dots, (n - 1) \quad (56)$$

Ecuația radială se poate scrie în forma

$$r^2 \frac{d^2 R}{dr^2} + 2r \frac{dR}{dr} + \left[\frac{2mE}{\hbar^2} r^2 + \frac{2me^2}{4\pi\epsilon_0\hbar^2} r - l(l+1) \right] R = 0, \quad (57)$$

După împărțirea cu r^2 , se folosește substituția $\chi(r) = rR$ pentru a elimina termenul în $\frac{dR}{dr}$ și a obține forma standard a ec. Schrödinger radiale cu potențial efectiv $U(r) = -\text{const}/r + l(l+1)/r^2$ (potențial electrostatic plus barieră centrifugală). Această procedură se aplică numai pentru a discuta o nouă condiție obligatorie de frontieră, obținerea spectrului fiind prin intermediul ecuației pentru R . Diferența între o ec. Schrödinger radială și una în toată linia reală este că o condiție de frontieră suplimentară trebuie impusă în origine ($r = 0$). Potențialul coulombian aparține unei clase de potențiale care se numesc slab singulare, pentru care $\lim_{r \rightarrow 0} U(r)r^2 = 0$. Se încearcă soluții de tipul $\chi \propto r^\nu$, ceea ce implică $\nu(\nu - 1) = l(l + 1)$ cu soluțiile $\nu_1 = l + 1$ și $\nu_2 = -l$, exact ca în cazul electrostaticii. Soluția negativă se elimină în cazul $l \neq 0$ pentru că duce la divergența integralei de normalizare și deasemenea nu respectă normalizarea la funcția delta în cazul

spectrului continuu, iar cazul $\nu_2 = 0$ se elimină din condiția de finitudine a energiei cinetice medii. Concluzia finală este că $\chi(0) = 0$ pentru orice l .

Revenind la analiza ecuației pentru funcția radială R , se pune mai întâi problema adimensionalizării ecuației. Aceasta se face observînd că se poate forma o singură scală de spațiu și timp din combinații ale celor trei constante fizice care intră în această problemă respectiv e^2 , m și \hbar . Acestea sunt raza Bohr $a_0 = \hbar^2/me^2 = 0.529 \cdot 10^{-8}$ cm. și $t_0 = \hbar^3/me^4 = 0.24210^{-16}$ sec., care se numesc unități atomice. Folosind aceste unități obținem

$$\frac{d^2 R}{dr^2} + \frac{2}{r} \frac{dR}{dr} + \left[2E + \frac{2}{r} - \frac{l(l+1)}{r^2} \right] R = 0, \quad (58)$$

unde ne interesează spectrul discret ($E < 0$). Cu notațiile $n = 1/\sqrt{-E}$ și $\rho = 2r/n$ se ajunge la:

$$\frac{d^2 R}{d\rho^2} + \frac{2}{\rho} \frac{dR}{d\rho} + \left[\frac{n}{\rho} - \frac{1}{4} - \frac{l(l+1)}{\rho^2} \right] R = 0. \quad (59)$$

Pentru $\rho \rightarrow \infty$, ecuația se reduce la $\frac{d^2 R}{d\rho^2} = \frac{R}{4}$ cu soluții $R \propto e^{\pm\rho/2}$. Se acceptă pe baza condiției de normalizare numai exponențiala atenuată. Pe de altă parte asimptotica de zero, așa cum am comentat deja, este $R \propto \rho^l$. Prin urmare, putem substitui R printr-un produs de trei funcții radiale $R = \rho^l e^{-\rho/2} F(\rho)$, dintre care primele două sunt părțile asimptotice, iar a treia este funcția radială în regiunea intermediară, care ne interesează cel mai mult pentru că ne dă spectrul energetic. Ecuația pentru F este

$$\rho \frac{d^2 F}{d\rho^2} + (2l + 2 - \rho) \frac{dF}{d\rho} + (n - l - 1)F = 0. \quad (60)$$

care este un caz particular de ecuație hipergeometrică confluentă în care cei doi parametri 'hiper'geometrici depind de n, l și care se poate identifica cu ecuația pentru polinoamele Laguerre asociate $L_{n+l}^{2l+1}(\rho)$ în fizica matematică. Astfel, forma normalizată a lui R este:

$$R_{nl}(r) = -\frac{2}{n^2} \sqrt{\frac{(n-l-1)!}{2n[(n+l)!]^3}} e^{-\rho/2} \rho^l L_{n+l}^{2l+1}(\rho), \quad (61)$$

unde s-a folosit condiția de normalizare a polinoamelor Laguerre:

$$\int_0^\infty e^{-\rho} \rho^{2l} [L_{n+l}^{2l+1}(\rho)]^2 \rho^2 d\rho = \frac{2n[(n+l)!]^3}{(n-l-1)!}. \quad (62)$$

Avem deci soluțiile fiecăreia dintre ecuațiile care depind numai de o singură variabilă și prin urmare putem construi funcția de undă pentru fiecare stare electronică în atomul de hidrogen, respectiv dacă $\psi(r, \theta, \phi) = R(r)\Theta(\theta)\Phi(\phi)$, atunci funcția de undă completă este

$$\psi(r, \theta, \phi) = \mathcal{N}_H(\alpha r)^l e^{-\alpha r/2} L_{n+l}^{2l+1}(\alpha r) P_l^{m_l}(\cos\theta) e^{im_l\phi}, \quad (63)$$

unde $\mathcal{N}_H = -\frac{2}{n^2} \sqrt{\frac{2l+1}{4\pi} \frac{(l-m_l)! (n-l-1)!}{(l+m_l)! [(n+l)!]^3}}$ și $\alpha = 2/na_0$.

Utilizînd armonicele sferice, soluția se scrie în felul următor

$$\psi(r, \theta, \phi) = -\frac{2}{n^2} \sqrt{\frac{(n-l-1)!}{[(n+l)!]^3}} (\alpha r)^l e^{-\alpha r/2} L_{n+l}^{2l+1}(\alpha r) Y_l^{m_l}(\theta, \phi). \quad (64)$$

Această formulă se poate considera rezultatul matematic final pentru soluția ec. Schrödinger în cazul atomului de hidrogen pentru oricare stare staționară a electronului său. Într-adevăr, se pot vedea în mod explicit atât dependența asimptotică cât și cele două seturi ortogonale complete, polinoamele Laguerre asociate și respectiv armonicele sferice, corespunzătoare acestei ecuații lineare cu derivate parțiale de ordinul doi. Coordonatele parabolice [$\xi = r(1 - \cos\theta)$, $\eta = r(1 + \cos\theta)$, $\phi = \phi$], sunt un alt set de variabile în care ec. Schrödinger pentru atomul de hidrogen este ușor de separat (E. Schrödinger, Ann. Physik **80**, 437, 1926; P.S. Epstein, Phys. Rev. **28**, 695, 1926; I. Waller, Zf. Physik **38**, 635, 1926). Soluția finală se exprimă ca produsul unor factori de natură asimptotică, armonice azimutale și două seturi de polinoame Laguerre asociate în ξ , respectiv η . Spectrul energetic ($-1/n^2$) și degenerarea (n^2) evident nu se modifică.

Densitatea de probabilitate electronică

În modelul lui Bohr al atomului de hidrogen, electronul se rotește în jurul nucleului pe traiectorii circulare sau eliptice. Dacă se realizează un experiment adecuat, s-ar putea vedea că electronul ar fi întotdeauna situat în limitele experimentale la o distanță față de nucleu $r = n^2 a_0$ (unde n este numărul cuantic care numerotează orbita și $a_0 = 0.53 \text{ \AA}$ este raza orbitei celei mai apropiate de nucleu, cunoscută ca raza Bohr) și în planul ecuatorial $\theta = 90^\circ$, în timp ce unghiul azimutal ϕ poate varia în timp.

Teoria cuantică a atomului de hidrogen modifică concluziile modelului lui Bohr în două aspecte importante. În primul rînd, nu se pot da valori

exacte pentru r, θ, ϕ , ci numai probabilități relative de a găsi electronul într-o zonă infinitesimală dată a spațiului. Această imprecizie este, desigur, o consecință a naturii ondulatorii a electronului. În al doilea rînd, nu se poate gândi că electronul se mișcă în jurul nucleului în sensul convențional clasic, pentru că densitatea de probabilitate $|\psi|^2$ nu depinde de timp și poate varia considerabil în funcție de zona infinitesimală unde se calculează .

Funcția de undă ψ a electronului în atomul de hidrogen este $\psi = R\Theta\Phi$ unde $R = R_{nl}(r)$ descrie cum se schimbă ψ cu r cînd numerele cuantice orbital și total au valorile n și l ; $\Theta = \Theta_{lm_l}(\theta)$ descrie la rîndul lui variația lui ψ cu θ cînd numerele cuantice magnetic și orbital au valorile l și m_l ; în sfîrșit, $\Phi = \Phi_{m_l}(\phi)$ dă schimbarea lui ψ cu ϕ cînd numărul cuantic magnetic are valoarea m_l . Densitatea de probabilitate $|\psi|^2$ se poate scrie

$$|\psi|^2 = |R|^2 |\Theta|^2 |\Phi|^2 . \quad (65)$$

Densitatea de probabilitate $|\Phi|^2$, care măsoară posibilitatea de a găsi electronul la un unghi azimutal ϕ dat, este o constantă care nu depinde de ϕ . Prin urmare, densitatea de probabilitate electronică este simetrică față de axa z , independent de starea cuantică “magnetică ” (atîta timp cît nu se aplică un cîmp magnetic extern), ceea ce face ca electronul să aibă aceeași probabilitate de a se găsi în orice direcție azimutală . Partea radială R a funcției de undă , spre deosebire de Φ , nu numai că variază cu r , ci și o face în mod diferit pentru fiecare combinație de numere cuantice n și l . Fig. 6.4 arată grafice ale lui R în funcție de r pentru stările $1s$, $2s$, și $2p$ ale atomului de hidrogen. R este maxim în centrul nucleului ($r = 0$) pentru toate stările s , în timp ce este zero în $r = 0$ pentru toate stările care au moment cinetic.

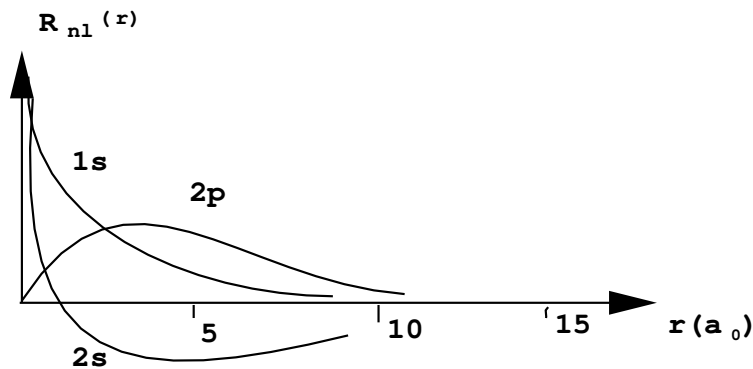


Fig. 6.4: Grafice aproximative ale funcțiilor radiale R_{1s} , R_{2s} , R_{2p} ; ($a_0 = 0.53 \text{ \AA}$).

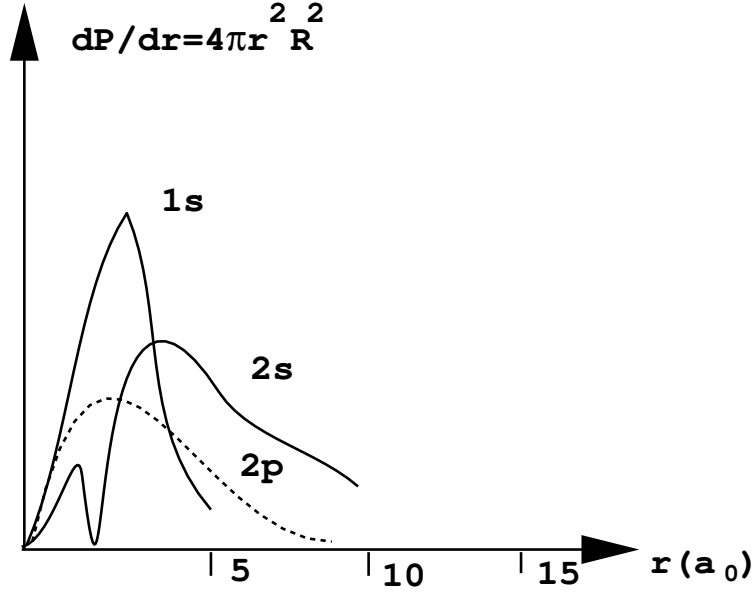


Fig. 6.5: Densitatea de probabilitate de a găsi electronul atomului de hidrogen între r și $r + dr$ față de nucleu pentru stările $1s$, $2s$, $2p$.

Densitatea de probabilitate electronică în punctul r, θ, ϕ este proporțională cu $|\psi|^2$, dar probabilitatea reală în elementul de volum infinitezimal dV este $|\psi|^2 dV$. În coordonate polare sferice

$$dV = r^2 \sin \theta dr d\theta d\phi, \quad (66)$$

și cum Θ și Φ sunt funcții normalizate, probabilitatea numerică reală $P(r)dr$ de a găsi electronul la o distanță față de nucleu cuprinsă între r și $r + dr$ este

$$\begin{aligned} P(r)dr &= r^2 |R|^2 dr \int_0^\pi |\Theta|^2 \sin \theta d\theta \int_0^{2\pi} |\Phi|^2 d\phi \\ &= r^2 |R|^2 dr \end{aligned} \quad (67)$$

$P(r)$ este reprezentată în fig. 6.5 pentru aceleași stări ale căror funcții radiale R apar în fig. 6.4; în principiu, curbele sunt foarte diferite. Observăm imediat că $P(r)$ nu este maximă în nucleu pentru stările s , așa cum este R , avînd maximul la o distanță finită de acesta. Valoarea cea mai probabilă a lui r pentru un electron $1s$ este exact a_0 , care este raza Bohr. Totuși, valoarea

medie a lui r pentru un electron $1s$ este $1.5a_0$, ceea ce pare ciudat la prima vedere, pentru că nivelele de energie sunt aceleași în mecanica cuantică și în modelul lui Bohr. Această aparentă discrepanță se elimină dacă se ține cont de faptul că energia electronului depinde de $1/r$ și nu direct de r , iar valoarea medie a lui $1/r$ pentru un electron $1s$ este exact $1/a_0$.

Funcția Θ variază cu unghiul polar θ pentru toate numerele cuantice l și m_l , excepție făcând $l = m_l = 0$, care sunt stări s . Densitatea de probabilitate $|\Theta|^2$ pentru o stare s este o constantă ($1/2$), ceea ce înseamnă că, întrucât $|\Phi|^2$ este deasemenea constantă, densitatea de probabilitate electronică $|\psi|^2$ are aceeași valoare pentru o valoare a lui r dată, în toate direcțiile. În alte stări, electronii au un comportament unghiular care uneori ajunge să fie foarte complicat. Aceasta se poate vedea în fig.6.5, unde se arată densitățile de probabilitate electronică pentru diferite stări atomice în funcție de r și θ . (Termenul care se reprezintă este $|\psi|^2$ și nu $|\psi|^2 dV$). Deoarece $|\psi|^2$ este independent de ϕ , o reprezentare tridimensională a lui $|\psi|^2$ se obține prin rotația unei reprezentări particulare în jurul unei axe verticale, ceea ce poate arăta că densitățile de probabilitate pentru stările s au simetrie sferică, în timp ce toate celelalte nu o posedă. Se obțin în acest fel loburi mai mult sau mai puțin pronunțate, care au forme caracteristice pentru fiecare stare în parte și care în chimie joacă un rol important în determinarea modului în care interacționează atomii în interiorul moleculelor.

6N. Notă:

1. E. Schrödinger a obținut premiul Nobel în 1933 (împreună cu Dirac) pentru “descoperirea de noi forme productive ale teoriei atomice”. Schrödinger a scris o remarcabilă serie de patru articole intitulată “Quantisierung als Eigenwertproblem” [“Cuantizarea ca problemă de autovalori”] (I-IV, primite la redacția revistei *Annalen der Physik* în 27 Ianuarie, 23 Februarie, 10 Mai și 21 Iunie 1926).

6P. Probleme

Problema 6.1 - Să se obțină formulele pentru orbitele stabile și pentru nivelele de energie ale electronului în atomul de hidrogen folosind numai argumente bazate pe lungimea de undă de Broglie asociată electronului și valoarea ‘empirică’ $5.3 \cdot 10^{-11}$ m pentru raza Bohr.

Soluție: Lungimea de undă a electronului este dată de $\lambda = \frac{h}{mv}$ în timp ce dacă egalăm forța electrică cu forța centripetă, respectiv $\frac{mv^2}{r} = \frac{1}{4\pi\epsilon_0} \frac{e^2}{r^2}$

obținem că viteza electronului este dată de $v = \frac{e}{\sqrt{4\pi\epsilon_0 m r}}$. În aceste condiții, lungimea de undă a electronului este $\lambda = \frac{h}{e} \sqrt{\frac{4\pi\epsilon_0 r}{m}}$. Acum, dacă folosim valoarea 5.3×10^{-11} m pentru raza r a orbitei electronice, vedem că lungimea de undă a electronului este $\lambda = 33 \times 10^{-11}$ m. Această lungime de undă are exact aceeași valoare ca circumferința orbitei electronului, $2\pi r = 33 \times 10^{-11}$ m. După cum se poate vedea, orbita electronului în atomul de hidrogen corespunde astfel unei unde “închisă în ea însăși” (adică de tip staționar). Acest fapt se poate compara cu vibrațiile unui inel de alamă. Dacă lungimile de undă sunt un submultiplu al circumferinței sale, inelul ar putea continua starea sa vibratorie pentru foarte mult timp cu disipare redusă (stări ‘proprie’ de vibrație sau unde staționare). Dacă însă numărul de lungimi de undă nu este întreg se va produce o interferență negativă pe măsură ce undele se propagă de-a lungul inelului și vibrațiile vor dispărea foarte repede. Astfel, se poate afirma că un electron se poate roti indefinit în jurul nucleului fără a radia energia de care dispune atîta timp cît orbita conține un număr întreg de lungimi de undă de Broglie. Cu acestea, avem condiția de stabilitate

$$n\lambda = 2\pi r_n ,$$

unde r_n este raza orbitei care conține n lungimi de undă. Substituind λ , avem

$$\frac{nh}{e} \sqrt{\frac{4\pi\epsilon_0 r_n}{m}} = 2\pi r_n ,$$

și deci orbitele stabile ale electronului sunt

$$r_n = \frac{n^2 \hbar^2 \epsilon_0}{\pi m e^2} .$$

Pentru nivelele de energie, avem $E = T + V$ și prin substituirea energiilor potențială și cinetică obținem

$$E = \frac{1}{2} m v^2 - \frac{e^2}{4\pi\epsilon_0 r} ,$$

sau echivalent

$$E_n = -\frac{e^2}{8\pi\epsilon_0 r_n} .$$

Substituind valoarea lui r_n în ultima ecuație obținem

$$E_n = -\frac{m e^4}{8 \epsilon_0^2 \hbar^2} \left(\frac{1}{n^2} \right) .$$

Problema 6.2 - Teorema lui Unsöld spune că , pentru orice valoare a numărului cuantic orbital l , densitățile de probabilitate, sumate peste toate substările posibile, de la $m_l = -l$ pînă la $m_l = +l$ dau o constantă independentă de unghiurile θ sau ϕ , adică

$$\sum_{m_l=-l}^{+l} |\Theta_{lm_l}|^2 |\Phi_{m_l}|^2 = ct.$$

Această teoremă arată că orice atom sau ion cu substări închise prezintă o distribuție sferic simetrică de sarcină electrică . Să se verifice teorema Unsöld pentru $l = 0$, $l = 1$ și $l = 2$.

Soluție: Avem pentru $l = 0$, $\Theta_{00} = 1/\sqrt{2}$ și $\Phi_0 = 1/\sqrt{2\pi}$, deci vedem că

$$|\Theta_{0,0}|^2 |\Phi_0|^2 = \frac{1}{4\pi}.$$

Pentru $l = 1$ avem

$$\sum_{m_l=-1}^{+1} |\Theta_{lm_l}|^2 |\Phi_{m_l}|^2 = |\Theta_{1,-1}|^2 |\Phi_{-1}|^2 + |\Theta_{1,0}|^2 |\Phi_0|^2 + |\Theta_{1,1}|^2 |\Phi_1|^2.$$

Pe de altă parte funcțiile de undă sunt: $\Theta_{1,-1} = (\sqrt{3}/2)\sin\theta$, $\Phi_{-1} = (1/\sqrt{2\pi})e^{-i\phi}$, $\Theta_{1,0} = (\sqrt{6}/2)\cos\theta$, $\Phi_0 = 1/\sqrt{2\pi}$, $\Theta_{1,1} = (\sqrt{3}/2)\sin\theta$, $\Phi_1 = (1/\sqrt{2\pi})e^{i\phi}$, care substituite în ecuația anterioară conduc la

$$\sum_{m_l=-1}^{+1} |\Theta_{lm_l}|^2 |\Phi_{m_l}|^2 = \frac{3}{8\pi}\sin^2\theta + \frac{3}{4\pi}\cos^2\theta + \frac{3}{8\pi}\sin^2\theta = \frac{3}{4\pi}$$

și din nou obținem o constantă .

Pentru $l = 2$ avem

$$\sum_{m_l=-2}^{+2} |\Theta_{lm_l}|^2 |\Phi_{m_l}|^2 =$$

$$|\Theta_{2,-2}|^2 |\Phi_{-2}|^2 + |\Theta_{2,-1}|^2 |\Phi_{-1}|^2 + |\Theta_{2,0}|^2 |\Phi_0|^2 + |\Theta_{2,1}|^2 |\Phi_1|^2 + |\Theta_{2,2}|^2 |\Phi_2|^2$$

și funcțiile de undă sunt: $\Theta_{2,-2} = (\sqrt{15}/4)\sin^2\theta$, $\Phi_{-2} = (1/\sqrt{2\pi})e^{-2i\phi}$, $\Theta_{2,-1} = (\sqrt{15}/2)\sin\theta\cos\theta$, $\Phi_{-1} = (1/\sqrt{2\pi})e^{-i\phi}$, $\Theta_{2,0} = (\sqrt{10}/4)(3\cos^2\theta -$

1), $\Phi_0 = 1/\sqrt{2\pi}$, $\Theta_{2,1} = (\sqrt{15}/2)\sin\theta\cos\theta$, $\Phi_1 = (1/\sqrt{2\pi})e^{i\phi}$, $\Theta_{2,2} = (\sqrt{15}/4)\sin^2\theta$, $\Phi_2 = (1/\sqrt{2\pi})e^{2i\phi}$, care substituite în ecuația anterioară dau

$$\sum_{m_l=-2}^{+2} |\Theta_{lm_l}|^2 |\Phi_{m_l}|^2 = \frac{5}{4\pi},$$

ceea ce din nou verifică teorema Unsöld.

Problema 6.3 - Probabilitatea de a găsi un electron atomic a cărui funcție de undă radială este cea de stare fundamentală $R_{10}(r)$ în afara unei sfere de rază Bohr a_0 centrată în nucleu este

$$\int_{a_0}^{\infty} |R_{10}(r)|^2 r^2 dr.$$

Să se calculeze probabilitatea de a găsi electronul în starea fundamentală atomică la o distanță de nucleu mai mare de a_0 .

Soluție: Funcția de undă radială care corespunde stării fundamentale este

$$R_{10}(r) = \frac{2}{a_0^{3/2}} e^{-r/a_0}.$$

Substituind-o în integrală obținem

$$\int_{a_0}^{\infty} |R(r)|^2 r^2 dr = \frac{4}{a_0^3} \int_{a_0}^{\infty} r^2 e^{-2r/a_0} dr,$$

sau

$$\int_{a_0}^{\infty} |R(r)|^2 r^2 dr = \frac{4}{a_0^3} \left[-\frac{a_0}{2} r^2 e^{-2r/a_0} - \frac{a_0^2}{2} r e^{-2r/a_0} - \frac{a_0^3}{4} e^{-2r/a_0} \right]_{a_0}^{\infty}.$$

Aceasta ne conduce la:

$$\int_{a_0}^{\infty} |R(r)|^2 r^2 dr = \frac{5}{e^2} \approx 68\% !!,$$

care este probabilitatea cerută în această problemă.

7. CIOCNIRI CUANTICE

Introducere

Pentru inițiere în teoria cuantică de împrăștiere ne vom servi de rezultate deja cunoscute de la împrăștierea clasică în câmpuri centrale și vom presupune anumite situații care vor simplifica calculele fără însă a ne îndepărta prea mult de problema “reală”. Știm că în studiul experimental al unei ciocniri putem obține date care ne pot ajuta să înțelegem distribuția materiei “țintă”, sau mai bine spus interacțiunea între fasciculul incident și “țintă”. Ipotezele pe care le vom presupune corecte sunt:

i) Particulele nu au spin, ceea ce *nu* înseamnă că acesta nu este important în ciocniri.

ii) Ne vom ocupa numai de dispersia elastică pentru care posibila structură internă a particulelor nu se ia în considerare.

iii) Ținta este suficient de subțire pentru a putea neglija împrăștierea multiple.

iv) Interacțiunile sunt descrise printr-un potențial care depinde numai de poziția relativă a particulelor.

Aceste ipoteze elimină o serie de efecte cuantice și mă resc corectitudinea unor rezultate bazice din teoria ciocnirilor clasice. Astfel definim:

$$\frac{d\sigma}{d\Omega} = \frac{I(\theta, \varphi)}{I_0}, \quad (1)$$

unde $d\sigma$ este elementul de unghi solid, I_0 este numărul de particule incidente pe unitate de arie și $I d\Omega$ este numărul de particule dispersate în elementul de unghi solid $d\Omega$.

Cu aceste concepte binecunoscute și cu ajutorul mărimii asimptotice parametru de impact b asociat fiecărei particule clasice incidente ajungem la importanta formulă clasică

$$\frac{d\sigma}{d\Omega} = \frac{b}{\sin\theta} \left| \frac{db}{d\theta} \right|. \quad (2)$$

Dacă dorim să cunoaștem în termeni cuantici fenomenologia de ciocnire, trebuie să studiem evoluția în timp a unui pachet de unde. Fie F_i fluxul de particule al fascicolului incident, adică , numărul de particule pe unitate de timp care intersectează o suprafață unitară transversală axei de propagare. Vom poziționa un detector departe de zona de acțiune efectivă a

potențialului, care subîntinde un unghi solid $d\Omega$; cu acesta putem înregistra numărul de particule dn/dt dispersate în unitatea de timp în $d\Omega$ în direcția (θ, φ) .

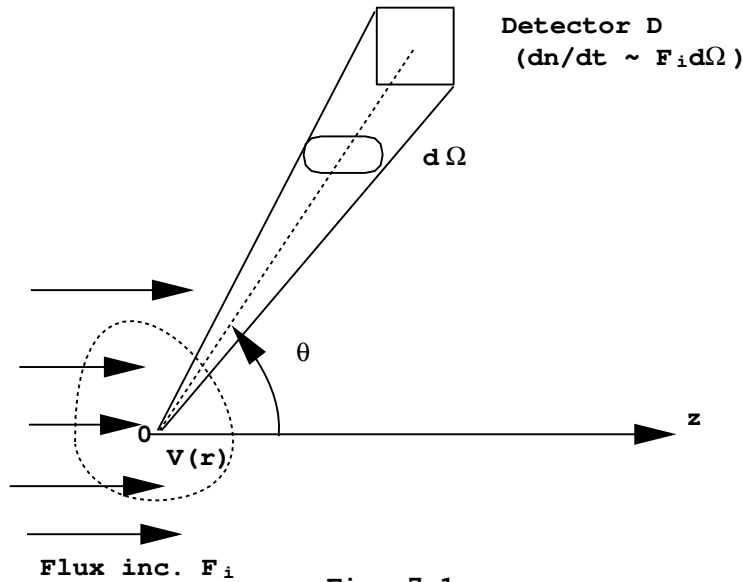


Fig. 7.1

dn/dt este proporțional cu $d\Omega$ și F_i . Să numim $\sigma(\theta, \varphi)$ coeficientul de proporționalitate între dn și $F_i d\Omega$:

$$dn = \sigma(\theta, \varphi) F_i d\Omega, \quad (3)$$

care este prin definiție secțiunea diferențială transversală .

Numărul de particule pe unitatea de timp care ajung la detector este egal cu numărul de particule care intersectează o suprafață $\sigma(\theta, \varphi) d\Omega$ situată perpendicular pe axa fasciculului. Secțiunea totală de dispersie este prin definiție:

$$\sigma = \int \sigma(\theta, \varphi) d\Omega. \quad (4)$$

Cum putem orienta axele de coordonate conform alegerii dorite, o vom face în așa fel ca axa fasciculului incident de particule să coincidă cu axa z (aceasta pentru simplificarea calculelor, unde vom folosi coordonatele sferice). În regiunea negativă a axei, pentru t negativ mare, particula va fi practic liberă : nu este afectată de $V(\mathbf{r})$ și starea sa se poate reprezenta prin unde plane. Prin urmare funcția de undă trebuie să conțină termeni de forma

e^{ikz} , unde k este constanta care apare în ecuația Helmholtz. Prin analogie cu optica, forma undei dispersate este:

$$f(r) = \frac{e^{ikr}}{r} . \quad (5)$$

Într-adevăr:

$$(\nabla^2 + k^2)e^{ikr} \neq 0 \quad (6)$$

și

$$(\nabla^2 + k^2)\frac{e^{ikr}}{r} = 0 \quad (7)$$

pentru $r > r_0$, unde r_0 este orice număr pozitiv.

Presupunem că mișcarea particulei este descrisă de Hamiltonianul:

$$H = \frac{\mathbf{p}^2}{2\mu} + V = H_0 + V . \quad (8)$$

V este diferit de zero numai într-o mică vecinătate în jurul originii. Știm că un pachet de unde în $t = 0$ se poate scrie:

$$\psi(\mathbf{r}, 0) = \frac{1}{(2\pi)^{\frac{3}{2}}} \int \varphi(\mathbf{k}) \exp[i\mathbf{k} \cdot (\mathbf{r} - \mathbf{r}_0)] d^3\mathbf{k} , \quad (9)$$

unde ψ este o funcție semnificativ nenulă în segmentul (lărgimea) $\Delta\mathbf{k}$ centrat în jurul lui \mathbf{k}_0 . Presupunem deasemenea că \mathbf{k}_0 este paralel la \mathbf{r}_0 , dar de sens opus. Pentru a vedea în mod cantitativ ce se întâmplă cu pachetul de unde când la un moment ulterior ciocnește ținta și este dispersat de aceasta ne putem folosi de dezvoltarea lui $\psi(\mathbf{r}, 0)$ în funcțiile proprii $\psi_n(\mathbf{r})$ ale lui H , respectiv $\psi(\mathbf{r}, 0) = \sum_n c_n \psi_n(\mathbf{r})$. Astfel, pachetul de unde la timpul t este:

$$\psi(\mathbf{r}, t) = \sum_n c_n \varphi_n(\mathbf{r}) \exp\left(-\frac{i}{\hbar} E_n t\right) . \quad (10)$$

Aceasta este o funcție proprie a operatorului H_0 și nu a lui H , dar putem substitui aceste funcții proprii cu funcții proprii particulare ale lui H , pe care le vom nota cu $\psi_k^{(+)}(\mathbf{r})$. Forma asimptotică a acestora din urmă este de tipul:

$$\psi_k^{(+)}(\mathbf{r}) \simeq \mathbf{e}^{i\mathbf{k} \cdot \mathbf{r}} + \mathbf{f}(\mathbf{r}) \frac{\mathbf{e}^{i\mathbf{k} \cdot \mathbf{r}}}{r} , \quad (11)$$

unde, cum este uzual, $\mathbf{p} = \hbar\mathbf{k}$ și $E = \frac{\hbar^2 k^2}{2m}$.

Aceasta corespunde unei unde plane ca fascicul incident și o undă sferică divergentă, despre care se poate spune că este rezultatul interacțiunii între fascicul și țintă. Aceste soluții ale ec. Schrödinger există în realitate, și putem dezvolta $\psi(\mathbf{r}, 0)$ în unde plane și $\psi_k(\mathbf{r})$:

$$\psi(\mathbf{r}, 0) = \int \varphi(\mathbf{k}) \exp(-i\mathbf{k} \cdot \mathbf{r}_0) \psi_{\mathbf{k}}(\mathbf{r}) d^3k, \quad (12)$$

unde $\hbar\omega = \frac{\hbar^2 k^2}{2m}$. Se poate spune deci că unda sferică divergentă nu are nici o contribuție la pachetul de unde inițial.

Împrăștierea unui pachet de unde

Orice undă suferă în cursul propagării o dispersie. De aceea nu se poate ignora efectul undei divergente din acest punct de vedere. Se poate folosi următorul truc:

$$\omega = \frac{\hbar}{2m} k^2 = \frac{\hbar}{2m} [\mathbf{k}_0 + (\mathbf{k} - \mathbf{k}_0)]^2 = \frac{\hbar}{2m} [2\mathbf{k}_0 \cdot \mathbf{k} - \mathbf{k}_0^2 + (\mathbf{k} - \mathbf{k}_0)^2], \quad (13)$$

pentru a neglija ultimul termen în paranteze. Substituind ω în ψ , cerem ca: $\frac{\hbar}{2m} (\mathbf{k} - \mathbf{k}_0)^2 T \ll 1$, unde $T \simeq \frac{2mr_0}{\hbar k_0}$ și deci:

$$\frac{(\Delta k)^2 r_0}{k_0} \ll 1. \quad (14)$$

Această condiție ne spune că pachetul de unde nu se dispersează în mod apreciabil chiar și atunci când se deplasează pe o distanță microscopică r_0 .

Alegînd direcția vectorului \mathbf{k} al undei incidente de-a lungul uneia dintre cele trei direcții carteziene, putem scrie în coordonate sferice

$$\psi_k(r, \theta, \varphi) \simeq e^{ikz} + \frac{f(k, \theta, \varphi) e^{ikr}}{r}.$$

Întrucît H , operatorul Hamiltonian (que hemos considerat pînă acum nu ca operator pentru că rezultatele sunt aceleași) este invariant la rotațiile în axa z , putem alege condițiile de frontieră deasemenea invariante, astfel că :

$$\psi_k(r, \theta, \varphi) \simeq e^{ikz} + \frac{f(\theta) e^{ikr}}{r}.$$

Acest tip de funcții se cunosc ca unde de împrăștiere. Coeficientul $f(\theta)$ al undei divergente se cunoaște ca amplitudine de împrăștiere.

Amplitudinea de probabilitate în împrăștiere

Ecuția Schrödinger de rezolvat este:

$$i\hbar \frac{\partial \psi}{\partial t} = -\frac{\hbar^2}{2m} \nabla^2 \psi + V(\mathbf{r}, t) \psi . \quad (15)$$

Expresia

$$P(\mathbf{r}, t) = \psi^*(\mathbf{r}, t) \psi(\mathbf{r}, t) = |\psi(\mathbf{r}, t)|^2 \quad (16)$$

se interpretează , cf. lui Max Born, ca o densitate de probabilitate dacă funcția de undă se normalizează astfel ca:

$$\int |\psi(\mathbf{r}, t)|^2 d^3 r = 1 . \quad (17)$$

Desigur integrala de normalizare a lui ψ trebuie să fie independentă de timp. Acest lucru se poate nota în felul următor:

$$I = \frac{\partial}{\partial t} \int_{\Omega} P(\mathbf{r}, t) d^3 r = \int_{\Omega} \left(\psi^* \frac{\partial \psi}{\partial t} + \frac{\partial \psi^*}{\partial t} \psi \right) d^3 r \quad (18)$$

și din ec. Schrödinger:

$$\frac{\partial \psi}{\partial t} = \frac{i\hbar}{2m} \nabla^2 \psi - \frac{i}{\hbar} V(\mathbf{r}, t) \psi \quad (19)$$

rezultă :

$$\begin{aligned} I &= \frac{i\hbar}{2m} \int_{\Omega} [\psi^* \nabla^2 - (\nabla^2 \psi^*) \psi] d^3 r = \frac{i\hbar}{2m} \int_{\Omega} \nabla \cdot [\psi^* \nabla \psi - (\nabla \psi^*) \psi] d^3 r = \\ &= \frac{i\hbar}{2m} \int_A [\psi^* \nabla \psi - (\nabla \psi^*) \psi]_n dA , \end{aligned} \quad (20)$$

unde s-a folosit teorema Green pentru evaluarea integralei de volum. dA este elementul de suprafață pe frontiera care delimitează regiunea de integrare și $[]_n$ denotă componenta în direcția normală la elementul de suprafață dA .

Definind:

$$\mathbf{S}(\mathbf{r}, t) = \frac{\hbar}{2im} [\psi^* \nabla \psi - (\nabla \psi^*) \psi] , \quad (21)$$

obținem:

$$I = \frac{\partial}{\partial t} \int_{\Omega} P(\mathbf{r}, t) d^3 r = - \int_{\Omega} \nabla \cdot \mathbf{S} d^3 r = - \int_A S_n dA , \quad (22)$$

pentru pachete de undă în care ψ se pune zero la distanțe mari și integrala de normalizare converge, integrala de suprafață este zero când Ω este tot spațiul. Se poate demonstra (se poate consulta P. Dennery & A. Krzywicki, *Mathematical methods for physicists*) că integrala de suprafață este zero, astfel că integrala de normalizare este constantă în timp și deci se satisface cerința inițială. Din aceeași ecuație pentru \mathbf{S} obținem:

$$\frac{\partial P(\mathbf{r}, t)}{\partial t} + \nabla \cdot \mathbf{S}(\mathbf{r}, t) = 0, \quad (23)$$

care este o ecuație de continuitate cu fluxul de densitate P și curent de densitate \mathbf{S} , fără nici un fel de surse (pozitive sau negative). Dacă interpretăm $\frac{\hbar}{im}\nabla$ ca un fel de ‘operator’ viteză (ca și în cazul timpului nu se poate vorbi de un operator viteză în sens riguros), atunci:

$$\mathbf{S}(\mathbf{r}, t) = \text{Re}(\psi^* \frac{\hbar}{im} \nabla \psi). \quad (24)$$

Calculul efectiv al densității de curent pentru o undă de împrăștiere este de tip ‘truc’ și nu îl considerăm ilustrativ. Rezultatul final este $j_r = \frac{\hbar k}{mr^2} |f(\theta)|^2$, unde direcția $\theta = 0$ nu se include.

Funcția Green în teoria de împrăștiere

O altă formă de a scrie ecuația Schrödinger de rezolvat este $(-\frac{\hbar^2}{2m}\nabla^2 + V)\psi = E\psi$ sau $(\nabla^2 + k^2)\psi = U\psi$ unde: $k^2 = \frac{2mE}{\hbar^2}$ și $U = \frac{2mV}{\hbar^2}$.

Rezultă mai convenabil de transformat această ecuație la o formă integrală. Aceasta se poate face dacă vom considera $U\psi$ din partea dreaptă a ecuației ca o inhomogenitate, ceea ce ne permite să construim soluția ecuației cu ajutorul funcției Green (nucleu integral), care prin definiție este soluția lui:

$$(\nabla^2 + k^2)G(\mathbf{r}, \mathbf{r}') = \delta(\mathbf{r} - \mathbf{r}'). \quad (25)$$

Soluția ecuației Schrödinger se dă ca suma soluției ecuației omogene și a soluției inomogene de tip Green:

$$\psi(\mathbf{r}) = \lambda(\mathbf{r}) - \int \mathbf{G}(\mathbf{r}, \mathbf{r}') \mathbf{U}(\mathbf{r}') \psi(\mathbf{r}') d^3\mathbf{r}'. \quad (26)$$

Căutăm acum o funcție G care să fie un produs de funcții linear independente, cum sunt de exemplu undele plane:

$$G(\mathbf{r}, \mathbf{r}') = \int A(\mathbf{q}) e^{i\mathbf{q} \cdot (\mathbf{r} - \mathbf{r}')} dq. \quad (27)$$

Folosind ecuația 25, avem:

$$\int A(\mathbf{q})(k^2 - q^2)e^{i\mathbf{q}\cdot(\mathbf{r}-\mathbf{r}')}dq = \delta(\mathbf{r} - \mathbf{r}') , \quad (28)$$

care se transformă într-o identitate dacă :

$$A(\mathbf{q}) = (2\pi)^{-3}(k^2 - q^2)^{-1} . \quad (29)$$

De aici rezultă :

$$G(\mathbf{r}, \mathbf{r}') = \frac{1}{(2\pi)^3} \int \frac{e^{i\mathbf{q}\cdot\mathbf{r}}}{k^2 - q^2} d^3q , \quad (30)$$

cu $R = |\mathbf{r} - \mathbf{r}'|$. După un calcul folosind metode de variabilă complexă ¹⁰, ajungem la:

$$G(R) = -\frac{1}{4\pi} \frac{e^{ikR}}{R} . \quad (31)$$

Această funcție nu este determinată în mod univoc; funcția Green poate fi oricare soluție a ecuației 25; Alegerea uneia particulare se face prin impunerea condițiilor de frontieră asupra funcțiilor proprii $\psi_k(\mathbf{r})$.

Funcția Green obținută în aceste condiții este:

$$G(\mathbf{r}, \mathbf{r}') = -\left(\frac{e^{ik|\mathbf{r}-\mathbf{r}'|}}{4\pi|\mathbf{r} - \mathbf{r}'|} \right) . \quad (32)$$

În acest fel, ajungem la ecuația integrală pentru funcția de undă de ciocnire:

$$\psi(k, \mathbf{r}) = \varphi(k, \mathbf{r}) - \frac{m}{2\pi\hbar^2} \int \frac{e^{ik|\mathbf{r}-\mathbf{r}'|}}{|\mathbf{r} - \mathbf{r}'|} U(\mathbf{r}')\psi(k, \mathbf{r}')d\mathbf{r}' , \quad (33)$$

unde φ este o soluție a ecuației Helmholtz. Notînd $|\mathbf{r} - \mathbf{r}'| = R$:

$$(\nabla^2 + k^2)\psi = (\nabla^2 + k^2)[\varphi + \int G(\mathbf{r}, \mathbf{r}')U(\mathbf{r}')\psi(\mathbf{r}')d^3r'] \quad (34)$$

și presupunînd că putem schimba ordinea operațiilor și pune operatorul ∇^2 în interiorul integralei:

$$(\nabla^2 + k^2)\psi = \int (\nabla^2 + k^2)G(\mathbf{r}, \mathbf{r}')U(\mathbf{r}')\psi(\mathbf{r}')d^3r' = U(\mathbf{r})\psi(\mathbf{r}) , \quad (35)$$

ceea ce ne arată că se verifică faptul că $G(R) = \frac{1}{4\pi} \frac{e^{ikR}}{R}$ este soluție.

¹⁰Se poate vedea problema 7.1.

Teorema optică

Secțiunea diferențială totală este dată de:

$$\sigma_{tot}(k) = \int \frac{d\sigma}{d\Omega} d\Omega . \quad (36)$$

Să exprimăm acum $f(\theta)$ ca funcție de șiftul de fază $S_l(k) = e^{2i\delta_l(k)}$ în forma:

$$f(\theta) = \frac{1}{k} \sum_{l=0}^{\infty} (2l+1) e^{i\delta_l(k)} \sin \delta_l(k) P_l(\cos \theta) \quad (37)$$

atunci

$$\begin{aligned} \sigma_{tot} &= \int \left[\frac{1}{k} \sum_{l=0}^{\infty} (2l+1) e^{i\delta_l(k)} \sin \delta_l(k) P_l(\cos \theta) \right] \\ &\quad \left[\int \left[\frac{1}{k} \sum_{l'=0}^{\infty} (2l'+1) e^{i\delta_{l'}(k)} \sin \delta_{l'}(k) P_{l'}(\cos \theta) \right] \right] . \end{aligned} \quad (38)$$

Folosind acum $\int P_l(\cos \theta) P_{l'}(\cos \theta) = \frac{4\pi}{2l+1} \delta_{ll'}$ obținem

$$\sigma_{tot} = \frac{4\pi}{k^2} \sum_{l=0}^{\infty} (2l+1) \sin^2 \delta_l(k) . \quad (39)$$

Ceea ce ne interesează este că :

$$\begin{aligned} \text{Im} f(0) &= \frac{1}{k} \sum_{l=0}^{\infty} (2l+1) \text{Im} [e^{i\delta_l(k)} \sin \delta_l(k)] P_l(1) = \frac{1}{k} \sum_{l=0}^{\infty} (2l+1) \sin^2 \delta_l(k) = \\ &= \frac{k}{4\pi} \sigma_{tot} . \end{aligned} \quad (40)$$

Această relație este cunoscută ca *teorema optică* . Semnificația sa fizică este că interferența unei incidente cu unda dispersată la unghi zero produce “ieșirea” particulei din unda incidentă , ceea ce permite conservarea probabilității.

Aproximația Born

Să considerăm situația din Fig. 7.2:

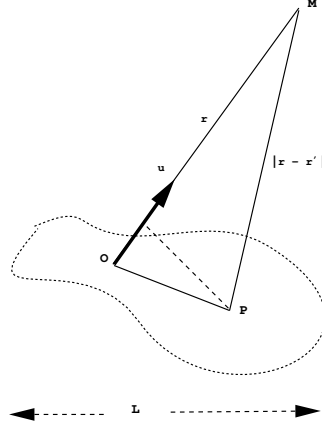


Fig. 7.2

Punctul de observare M este departe de P, care se află în regiunea de influență a potențialului U , cu $r \gg L$, $r' \ll l$. Segmentul MP, care corespunde la $|\mathbf{r} - \mathbf{r}'|$, este în aceste condiții geometrice aproximativ egal cu proiecția lui MP pe MO:

$$|\mathbf{r} - \mathbf{r}'| \simeq r - \mathbf{u} \cdot \mathbf{r}' , \quad (41)$$

unde \mathbf{u} este vectorul unitar (versor) în direcția \mathbf{r} . Atunci, pentru r mare:

$$G = -\frac{1}{4\pi} \frac{e^{ik|\mathbf{r}-\mathbf{r}'|}}{|\mathbf{r} - \mathbf{r}'|} \simeq_{r \rightarrow \infty} -\frac{1}{4\pi} \frac{e^{ikr}}{r} e^{-ik\mathbf{u} \cdot \mathbf{r}'} . \quad (42)$$

Substituim G în expresia integrală a funcției de undă de ciocnire pentru a obține:

$$\psi(\mathbf{r}) = e^{ikz} - \frac{1}{4\pi} \frac{e^{ikr}}{r} \int e^{-ik\mathbf{u} \cdot \mathbf{r}'} U(\mathbf{r}') \psi(\mathbf{r}') d^3 r' . \quad (43)$$

Aceasta deja nu mai este o funcție de distanța $r = OM$, ci numai de θ și ψ ; atunci:

$$f(\theta, \psi) = -\frac{1}{4\pi} \int e^{-ik\mathbf{u} \cdot \mathbf{r}'} U(\mathbf{r}') \psi(\mathbf{r}') d^3 r' . \quad (44)$$

Definim acum vectorul de undă incident \mathbf{k}_i ca un vector de modul k dirijat de-a lungul axei polare a fasciculului astfel că : $e^{ikz} = e^{i\mathbf{k}_i \cdot \mathbf{r}}$; similar, \mathbf{k}_d , de modul k și cu direcția fixată prin θ și φ , se numește vector de undă 'deplasat' în direcția (θ, φ) : $\mathbf{k}_d = k\mathbf{u}$

Vectorul de undă transferat în direcția (θ, φ) se introduce prin: $\mathbf{K} = \mathbf{k}_d - \mathbf{k}_i$.

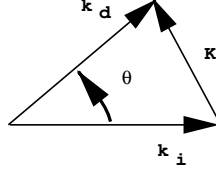


Fig. 7.3

Cu aceasta, putem scrie ecuația integrală de dispersie în forma:

$$\psi(\mathbf{r}) = e^{i\mathbf{k}_i \cdot \mathbf{r}} + \int G(\mathbf{r}, \mathbf{r}') U(\mathbf{r}') \psi(\mathbf{r}') d^3 r' \quad (45)$$

Acum putem încerca rezolvarea acestei ecuații în mod iterativ. Punînd $\mathbf{r} \rightarrow \mathbf{r}'$; $\mathbf{r}' \rightarrow \mathbf{r}''$, putem scrie:

$$\psi(\mathbf{r}') = e^{i\mathbf{k}_i \cdot \mathbf{r}'} + \int G(\mathbf{r}', \mathbf{r}'') U(\mathbf{r}'') \psi(\mathbf{r}'') d^3 r'' . \quad (46)$$

Substituind în 45 obținem:

$$\begin{aligned} \psi(\mathbf{r}) = e^{i\mathbf{k}_i \cdot \mathbf{r}} + \int G(\mathbf{r}, \mathbf{r}') U(\mathbf{r}') e^{i\mathbf{k}_i \cdot \mathbf{r}'} d^3 r' + \\ \int \int G(\mathbf{r}, \mathbf{r}') U(\mathbf{r}') G(\mathbf{r}', \mathbf{r}'') U(\mathbf{r}'') \psi(\mathbf{r}'') d^3 r'' d^3 r' . \end{aligned} \quad (47)$$

Primii doi termeni din partea dreaptă sunt cunoscuți și numai al treilea conține funcția necunoscută $\psi(\mathbf{r})$. Putem repeta acest procedeu: înlocuind \mathbf{r} cu \mathbf{r}'' și \mathbf{r}' cu \mathbf{r}''' obținem $\psi(\mathbf{r}'')$, pe care putem să o reintroducem în ec. 47:

$$\begin{aligned} \psi(\mathbf{r}) = e^{i\mathbf{k}_i \cdot \mathbf{r}} + \int G(\mathbf{r}, \mathbf{r}') U(\mathbf{r}') e^{i\mathbf{k}_i \cdot \mathbf{r}'} + \\ \int \int G(\mathbf{r}, \mathbf{r}') U(\mathbf{r}') G(\mathbf{r}', \mathbf{r}'') U(\mathbf{r}'') e^{i\mathbf{k}_i \cdot \mathbf{r}''} d^3 r' d^3 r'' + \\ \int \int \int G(\mathbf{r}, \mathbf{r}') U(\mathbf{r}') G(\mathbf{r}', \mathbf{r}'') U(\mathbf{r}'') e^{i\mathbf{k}_i \cdot \mathbf{r}''} G(\mathbf{r}'', \mathbf{r}''') U(\mathbf{r}''') \psi(\mathbf{r}''') . \end{aligned} \quad (48)$$

Primii trei termeni sunt cunoscuți; funcția necunoscută $\psi(\mathbf{r})$ se află în al patrulea termen. În acest fel, prin iterații construim funcția de undă de dispersie staționară. Notăm că fiecare termen în dezvoltarea în serie prezintă o putere superioară în potențial față de cel precedent. Putem continua în acest fel pînă cînd obținem o expresie neglijabilă în partea dreaptă, și obținem $\psi(\mathbf{r})$ în funcție numai de mărimi cunoscute.

Substituind expresia lui $\psi(\mathbf{r})$ în $f(\theta, \varphi)$ obținem dezvoltarea în serie Born a amplitudinii de împrăștiere. Limitându-ne la primul ordin în U , trebuie să se facă doar substituirea lui $\psi(\mathbf{r}')$ cu $e^{i\mathbf{k}_i \cdot \mathbf{r}'}$ în partea dreaptă a ecuației pentru a obține:

$$f^{(B)}(\theta, \varphi) = \frac{-1}{4\pi} \int e^{i\mathbf{k}_i \cdot \mathbf{r}'} U(\mathbf{r}') e^{-i\mathbf{k}_d \cdot \mathbf{r}'} d^3 r' = \frac{-1}{4\pi} \int e^{-i(\mathbf{k}_d - \mathbf{k}_i) \cdot \mathbf{r}'} U(\mathbf{r}') d^3 r' = \frac{-1}{4\pi} \int e^{-i\mathbf{K} \cdot \mathbf{r}'} U(\mathbf{r}') d^3 r' \quad (49)$$

\mathbf{K} este vectorul de undă transferat definit mai înainte. Vedem că secțiunea de dispersie se relaționează în mod simplu cu potențialul, dacă ținem cont de $V(\mathbf{r}) = \frac{\hbar^2}{2m} U(\mathbf{r})$ și $\sigma(\theta, \varphi) = |f(\theta, \varphi)|^2$. Rezultatul este:

$$\sigma^{(B)}(\theta, \varphi) = \frac{m^2}{4\pi^2 \hbar^4} \left| \int e^{-i\mathbf{K} \cdot \mathbf{r}} V(\mathbf{r}) d^3 r \right|^2 \quad (50)$$

Direcția și modulul vectorului undei dispersate \mathbf{K} depinde de modulul k al lui \mathbf{k}_i și \mathbf{k}_d precum și de direcția de împrăștiere (θ, φ) . Pentru θ și φ dați, secțiunea eficace este o funcție de k , energia fasciculului incident. Analog, pentru o energie dată, $\sigma^{(B)}$ este o funcție de θ și φ . Aproximația Born permite ca studiind variația secțiunii eficace diferențiale în funcție de direcția de împrăștiere și energia incidentă să obținem informații asupra potențialului $V(\mathbf{r})$.

7N. Notă: Unul dintre primele articole de împrăștiere cuantică este: M. Born, “Quantenmechanik der Stossvorgänge” [“Mecanica cuantică a proceselor de ciocnire”], Zf. f. Physik **37**, 863-867 (1926)

7P. Probleme

Problema 7.1

Calculul de variabilă complexă a funcției Green

Reamintim că am obținut deja rezultatul:

$G(\mathbf{r}, \mathbf{r}') = \frac{1}{(2\pi)^3} \int \frac{e^{iqR}}{k^2 - q^2} d^3 q$, cu $R = |\mathbf{r} - \mathbf{r}'|$. Cum $d^3 q = q^2 \sin \theta dq d\theta d\phi$, ajungem, după ce integrăm în variabilele unghiulare, la:

$$G(\mathbf{r}, \mathbf{r}') = \frac{i}{4\pi^2 R} \int_{-\infty}^{\infty} \frac{(e^{-iqR} - e^{iqR})}{k^2 - q^2} q dq.$$

Să punem: $C = \frac{i}{4\pi^2 R}$; și să separăm integrala în două părți:

$$C \left(\int_{-\infty}^{\infty} \frac{e^{-iqR}}{k^2 - q^2} q dq - \int_{-\infty}^{\infty} \frac{e^{iqR}}{k^2 - q^2} q dq \right) .$$

Să facem acum $q \rightarrow -q$ în prima integrală :

$$\int_{-\infty}^{\infty} \frac{e^{-i(-q)R}}{k^2 - (-q)^2} (-q) d(-q) = \int_{\infty}^{-\infty} \frac{e^{iqR}}{k^2 - q^2} q dq = - \int_{-\infty}^{\infty} \frac{e^{iqR}}{k^2 - q^2} q dq$$

astfel că :

$$G(\mathbf{r}, \mathbf{r}') = -2C \left(\int_{-\infty}^{\infty} \frac{q e^{iqR}}{k^2 - q^2} dq \right) .$$

Substituind C , obținem:

$$G(\mathbf{r}, \mathbf{r}') = \frac{-i}{2\pi^2 R} \int_{-\infty}^{\infty} \frac{q e^{iqR}}{k^2 - q^2} dq$$

În această formă integrala se poate evalua cu ajutorul reziduurilor polilor pe care îi posedă , folosind metodele de variabilă complexă . Notăm că există poli simpli în pozițiile $q = \pm k$.

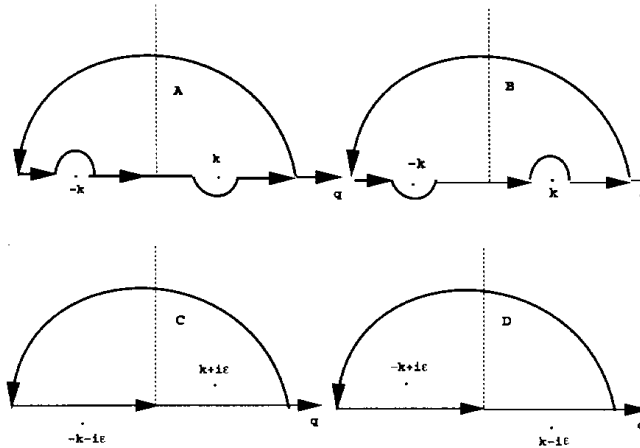


Fig. 7.4: Reguli de contur în jurul polilor pentru G_+ și G_-

Folosim conturul din figura 7.4, care înconjoară polii în modul arătat, pentru că acesta dă efectul fizic corect, pentru că de acord cu teorema reziduurilor,

$$G(r) = -\frac{1}{4\pi} \frac{e^{ikr}}{r} \quad (\text{Im}k > 0) ,$$

$$G(r) = -\frac{1}{4\pi} \frac{e^{-ikr}}{r} \quad (\text{Im}k < 0)$$

Soluția care ne interesează este prima, pentru că dă unde dispersate *divergente*, în timp ce a doua soluție reprezintă unde dispersate convergente. Mai mult, combinația lineară

$$\frac{1}{2} \lim_{\epsilon \rightarrow 0} [G_{k+i\epsilon} + G_{k-i\epsilon}] = -\frac{1}{4\pi} \frac{\cos kr}{r}$$

corespunde undelor staționare.

Evaluarea formală a integralei se poate face luînd $k^2 - q^2 \rightarrow k^2 + i\epsilon - q^2$, astfel că : $\int_{-\infty}^{\infty} \frac{qe^{iqR}}{k^2 - q^2} dq \rightarrow \int_{-\infty}^{\infty} \frac{qe^{iqR}}{(k^2 + i\epsilon) - q^2} dq$.

Aceasta este posibil pentru $R > 0$, de aceea conturul pentru calcul va fi situat în semiplanul complex superior. Astfel, polii integrantului se află în: $q =_{\pm}^+ \sqrt{k^2 + i\epsilon} \simeq_{\pm}^+ (k + \frac{i\epsilon}{2k})$. Procedul de luare a limitei cînd $\epsilon \rightarrow 0$ trebuie efectuat *după* evaluarea integralei.

Problema 7.2

Forma asimptotică a funcției radiale

Cum s-a văzut deja în capitolul *Atomul de hidrogen* partea radială a ec. Schrödinger se poate scrie:

$$\left(\frac{d^2}{dr^2} + \frac{2}{r} \frac{d}{dr}\right) R_{nlm}(r) - \frac{2m}{\hbar^2} [V(r) + \frac{l(l+1)\hbar^2}{2mr^2}] R_{nlm}(r) + \frac{2mE}{\hbar^2} R_{nlm}(r) = 0.$$

n, l, m sunt numerele cuantice sferice. De acum înainte nu se vor mai scrie din motive de comoditate. R este funcția de undă radială (depinde numai de r). Vom presupune că potențialele cad la zero mai repede decît $1/r$, și în plus că $\lim_{r \rightarrow 0} r^2 V(r) = 0$.

Folosim acum $u(r) = rR$, și cum: $\left(\frac{d^2}{dr^2} + \frac{2}{r} \frac{d}{dr}\right) \frac{u}{r} = \frac{1}{r} \frac{d^2}{dr^2} u$, avem

$$\frac{d^2}{dr^2} u + \frac{2m}{\hbar^2} [E - V(r) - \frac{l(l+1)\hbar^2}{2mr^2}] u = 0.$$

Notăm că potențialul prezintă un termen suplimentar:

$$V(r) \rightarrow V(r) + \frac{l(l+1)\hbar^2}{2mr^2},$$

care corespunde unei bariere centrifugale repulsive. Pentru o particulă liberă $V(r) = 0$ și ecuația devine

$$\left[\frac{d^2}{dr^2} + \frac{2}{r} \frac{d}{dr} - \frac{l(l+1)}{r^2}\right] R + k^2 R = 0.$$

Introducînd variabila $\rho = kr$, obținem

$$\frac{d^2 R}{d\rho^2} + \frac{2}{\rho} \frac{dR}{d\rho} - \frac{l(l+1)}{\rho^2} R + R = 0.$$

Soluțiile acestei ecuații sunt așa numitele *funcții Bessel sferice*. Soluția regulată este:

$$j_l(\rho) = (-\rho)^l \left(\frac{1}{\rho} \frac{d}{d\rho}\right)^l \left(\frac{\sin \rho}{\rho}\right),$$

iar cea iregulară :

$$n_l(\rho) = -(-\rho)^l \left(\frac{1}{\rho} \frac{d}{d\rho}\right)^l \left(\frac{\cos \rho}{\rho}\right).$$

Pentru ρ mare, funcțiile de interes sunt funcțiile Hankel sferice:

$$h_l^{(1)}(\rho) = j_l(\rho) + in_l(\rho) \text{ și } h_l^{(2)}(\rho) = [h_l^{(1)}(\rho)]^*.$$

De interes deosebit este comportamentul pentru $\rho \gg l$:

$$j_l(\rho) \simeq \frac{1}{\rho} \sin\left(\rho - \frac{l\pi}{2}\right) \quad (51)$$

$$n_l(\rho) \simeq -\frac{1}{\rho} \cos\left(\rho - \frac{l\pi}{2}\right). \quad (52)$$

și atunci

$$h_l^{(1)} \simeq -\frac{i}{\rho} e^{i(\rho - l\pi/2)} .$$

Soluția regulată în origine este: $R_l(r) = j_l(kr)$

Forma asimptotică este (folosind ec. 51)

$$R_l(r) \simeq \frac{1}{2ikr} [e^{-ikr - l\pi/2} - e^{ikr - l\pi/2}] .$$

Problema 7.3

Aproximația Born pentru potențiale Yukawa

Să considerăm un potențial de forma:

$$V(\mathbf{r}) = V_0 \frac{e^{-\alpha r}}{r} , \quad (53)$$

cu V_0 și α constante reale și α pozitivă . Potențialul este atractiv sau repulsiv în funcție de semnul lui V_0 ; cu cât este mai mare $|V_0|$, cu atât este mai intens potențialul. Presupunem că $|V_0|$ este suficient de mic pentru ca aproximația Born să funcționeze. Conform formulei obținute anterior, amplitudinea de dispersie este dată de:

$$f^{(B)}(\theta, \varphi) = -\frac{1}{4\pi} \frac{2mV_0}{\hbar^2} \int e^{-i\mathbf{K}\cdot\mathbf{r}} \frac{e^{-\alpha r}}{r} d^3r .$$

Cum acest potențial depinde numai de r , integrările unghiulare se pot face ușor, ajungînd astfel la forma:

$$f^{(B)}(\theta, \varphi) = \frac{1}{4\pi} \frac{2mV_0}{\hbar^2} \frac{4\pi}{|\mathbf{K}|} \int_0^\infty \sin |\mathbf{K}|r \frac{e^{-\alpha r}}{r} r dr .$$

Așadar, obținem:

$$f^{(B)}(\theta, \varphi) = -\frac{2mV_0}{\hbar^2} \frac{1}{\alpha^2 + |\mathbf{K}|^2} .$$

Din figură se observă că : $|\mathbf{K}| = 2k \sin \frac{\theta}{2}$; prin urmare:

$$\sigma^{(B)}(\theta) = \frac{4m^2 V_0^2}{\hbar^4} \frac{1}{[\alpha^2 + 4k^2 \sin^2 \frac{\theta}{2}]^2} .$$

Secțiunea totală se obține prin integrare:

$$\sigma^{(B)} = \int \sigma^{(B)}(\theta) d\Omega = \frac{4m^2 V_0^2}{\hbar^4} \frac{4\pi}{\alpha^2(\alpha^2 + 4k^2)} .$$

8. UNDE PARȚIALE

Introducere

Metoda undelor parțiale se referă la particule care interacționează într-o regiune restrînsă de spațiu cu o alta, care prin caracteristicile sale este cunoscută ca centru de împrăștiere (de exemplu faptul că se poate considera fixă). În afara acestei regiuni, interacția între cele două particule se poate considera neglijabilă. În acest fel este posibil să se descrie particula împrăștiată cu următorul Hamiltonian:

$$H = H_0 + V , \quad (1)$$

unde H_0 corespunde Hamiltonianului de particulă liberă. Deci problema noastră este de a rezolva următoarea ecuație:

$$(H_0 + V) | \psi \rangle = E | \psi \rangle . \quad (2)$$

Este evident că spectrul va fi continuu (studiem cazul împrăștierii elastice). Soluția ecuației precedente este dată de:

$$| \psi \rangle = \frac{1}{E - H_0} V | \psi \rangle + | \phi \rangle . \quad (3)$$

Cu o analiză ușoară putem să vedem că pentru $V = 0$ obținem soluția $| \phi \rangle$, adică, soluția corespunzătoare particulei libere. Trebuie notat că operatorul $\frac{1}{E - H_0}$ într-un anumit sens este anomal, pentru că are un continuu de poli pe axa reală care coincid cu valorile proprii ale lui H_0 . Pentru a ‘scăpa’ de această problemă să producem o mică deplasare în direcția imaginară ($\pm i\epsilon$) a tăieturii de pe axa reală :

$$| \psi^\pm \rangle = \frac{1}{E - H_0 \pm i\epsilon} V | \psi^\pm \rangle + | \phi \rangle \quad (4)$$

Această ecuație este cunoscută ca ecuația Lippmann-Schwinger. În final deplasarea polilor va fi în sens pozitiv de la axa imaginară (pentru ca principiul de cauzalitate să nu fie violat [cf. Feynman]). Să luăm reprezentarea \mathbf{x} :

$$\langle \mathbf{x} | \psi^\pm \rangle = \langle \mathbf{x} | \phi \rangle + \int d^3x' \left\langle \mathbf{x} \left| \frac{1}{E - H_0 \pm i\epsilon} \right| \mathbf{x}' \right\rangle \langle \mathbf{x}' | V | \psi^\pm \rangle . \quad (5)$$

Primul termen din partea dreaptă corespunde unei particule libere în timp ce al doilea termen se interpretează ca o undă sferică care ‘iese’ din centrul de împrăștiere. Nucleul integralei anterioare se poate asocia cu o funcție Green (sau propagator) și este foarte simplu să se calculeze:

$$G_{\pm}(\mathbf{x}, \mathbf{x}') = \frac{\hbar^2}{2m} \left\langle \mathbf{x} \left| \frac{1}{E - H_0 \pm i\varepsilon} \right| \mathbf{x}' \right\rangle = -\frac{1}{4\pi} \frac{e^{\pm ik|\mathbf{x}-\mathbf{x}'|}}{|\mathbf{x} - \mathbf{x}'|}, \quad (6)$$

unde $E = \hbar^2 k^2 / 2m$. Așa cum am văzut mai înainte funcția de undă se poate scrie ca o undă plană plus una sferică care iese din centrul de împrăștiere (pînă la un factor constant):

$$\langle \mathbf{x} | \psi^+ \rangle = e^{\mathbf{k} \cdot \mathbf{x}} + \frac{e^{ikr}}{r} f(\mathbf{k}, \mathbf{k}'). \quad (7)$$

Mărimea $f(\mathbf{k}, \mathbf{k}')$ care apare în ec. 7 se cunoaște ca amplitudine de dispersie și se poate scrie explicit în forma:

$$f(\mathbf{k}, \mathbf{k}') = -\frac{1}{4\pi} (2\pi)^3 \frac{2m}{\hbar^2} \langle \mathbf{k}' | V | \psi^+ \rangle. \quad (8)$$

Să definim acum un operator T astfel că :

$$T | \phi \rangle = V | \psi^+ \rangle \quad (9)$$

Dacă multiplicăm ecuația Lippmann-Schwinger cu V și folosim definiția anterioară obținem:

$$T | \phi \rangle = V | \phi \rangle + V \frac{1}{E - H_0 + i\varepsilon} T | \phi \rangle. \quad (10)$$

Iterînd ecuația anterioară (ca în teoria de perturbații) putem obține aproximația Born și corecțiile sale de ordin superior.

Metoda undelor parțiale

Să considerăm acum cazul unui potențial central nenul. În acest caz, pe baza definiției (9) se deduce că operatorul T comută cu \vec{L}^2 și \vec{L} ; de aici se spune că T este un operator scalar. În acest fel pentru a ușura calculele este convenabil să se folosească coordonate sferice, pentru că dată simetria

problemei, operatorul T va fi diagonal. Acum, să vedem ce formă ia expresia (8) pentru amplitudinea de dispersie:

$$f(\mathbf{k}, \mathbf{k}') = \text{const.} \sum_{lm'l'm'} \int dE \int dE' \langle \mathbf{k}' | E' l' m' \rangle \langle E' l' m' | T | Elm \rangle \langle Elm | \mathbf{k} \rangle, \quad (11)$$

unde $\text{const.} = -\frac{1}{4\pi} \frac{2m}{\hbar^2} (2\pi)^3$. După cîteva calcule se obține:

$$f(\mathbf{k}, \mathbf{k}') = -\frac{4\pi^2}{k} \sum_l \sum_m T_l(E) Y_l^m(\mathbf{k}') Y_l^{m*}(\mathbf{k}). \quad (12)$$

Alegînd sistemul de coordonate astfel ca vectorul \mathbf{k} să aibă aceeași direcție cu axa orientată z , se ajunge la concluzia că la amplitudinea de dispersie vor contribui numai armonicile sferice cu m egal cu zero; dacă definim θ ca unghiul între \mathbf{k} și \mathbf{k}' vom avea:

$$Y_l^0(\mathbf{k}') = \sqrt{\frac{2l+1}{4\pi}} P_l(\cos\theta). \quad (13)$$

Cu următoarea definiție:

$$f_l(k) \equiv -\frac{\pi T_l(E)}{k}, \quad (14)$$

ec. (12) se poate scrie în forma următoare:

$$f(\mathbf{k}, \mathbf{k}') = f(\theta) = \sum_{l=0}^{\infty} (2l+1) f_l(k) P_l(\cos\theta). \quad (15)$$

Pentru $f_l(k)$ se poate da o interpretare simplă pe baza dezvoltării unei unde plane în unde sferice. Astfel putem scrie funcția $\langle \mathbf{x} | \psi^+ \rangle$ pentru valori mari ale lui r în forma

$$\begin{aligned} \langle \mathbf{x} | \psi^+ \rangle &= \frac{1}{(2\pi)^{3/2}} \left[e^{ikz} + f(\theta) \frac{e^{ikr}}{r} \right] = \\ &= \frac{1}{(2\pi)^{3/2}} \left[\sum_l (2l+1) P_l(\cos\theta) \left(\frac{e^{ikr} - e^{i(kr-l\pi)}}{2ikr} \right) + \sum_l (2l+1) f_l(k) P_l(\cos\theta) \frac{e^{ikr}}{r} \right] \\ &= \frac{1}{(2\pi)^{3/2}} \sum_l (2l+1) \frac{P_l(\cos\theta)}{2ik} \left[[1 + 2ik f_l(k)] \frac{e^{ikr}}{r} - \frac{e^{i(kr-l\pi)}}{r} \right]. \quad (16) \end{aligned}$$

Această expresie se poate interpreta după cum urmează. Cei doi termeni exponențiali corespund unor unde sferice, primul unei unde emergente și al doilea uneia convergente; în plus efectul de împrăștiere se vede convenabil în coeficientul unei emergente, care este egal cu unu cînd nu există dispensor.

Deplasări (șifturi) de fază

Să ne imaginăm acum o suprafață închisă centrată în dispensor. Dacă presupunem că nu există creare și nici anihilare de particule se verifică :

$$\int \mathbf{j} \cdot d\mathbf{S} = 0 , \quad (17)$$

unde regiunea de integrare este suprafață definită mai înainte și \mathbf{j} este densitatea de curent de probabilitate. În plus, datorită conservării momentului cinetic ecuația anterioară trebuie să se verifice pentru fiecare undă parțială (cu alte cuvinte, toate undele parțiale au diferite valori ale proiecțiilor momentului cinetic, ceea ce le face diferite. Formularea teoretică ar fi echivalentă dacă se consideră pachetul de unde ca un flux de particule care nu interacționează între ele; mai mult, pentru că potențialul problemei noastre este central, momentul cinetic al fiecărei “particule” se va conserva ceea ce ne permite să spunem că particulele continuă să fie aceleași). Cu aceste considerații, putem să afirmăm că atât unda divergentă cât și cea emergentă diferă cel mult printr-un factor de fază . Deci, dacă definim:

$$S_l(k) \equiv 1 + 2ikf_l(k) \quad (18)$$

trebuie să avem

$$| S_l(k) | = 1 . \quad (19)$$

Rezultatele anterioare se pot interpreta cu ajutorul conservării probabilităților și erau de ‘așteptat’ pentru că nu am presupus că există creare și anihilare de particule, astfel că influența centrului dispensor consistă pur și simplu în a adăuga un factor de fază în componentele undelor emergente și în virtutea unitarității factorului de fază îl putem scrie în forma:

$$S_l = e^{2i\delta_l} , \quad (20)$$

unde δ_l este real și este funcție de k . Pe baza definiției (18) putem să scriem:

$$f_l = \frac{e^{2i\delta_l} - 1}{2ik} = \frac{e^{i\delta_l} \sin(\delta_l)}{k} = \frac{1}{k \cot(\delta_l) - ik} . \quad (21)$$

Secțiunea total de împrăștiere ia forma următoare:

$$\sigma_{total} = \int | f(\theta) |^2 d\Omega =$$

$$\begin{aligned} \frac{1}{k^2} \int_0^{2\pi} d\phi \int_{-1}^1 d(\cos(\theta)) \sum_l \sum_{l'} (2l+1)(2l'+1) e^{i\delta_l} \sin(\delta_l) e^{i\delta_{l'}} \sin(\delta_{l'}) P_l P_{l'} \\ = \frac{4\pi}{k^2} \sum_l (2l+1) \sin^2(\delta_{l'}) . \end{aligned} \quad (22)$$

Determinarea șifturilor de fază

Să considerăm acum un potențial V astfel că se anulează pentru $r > R$, unde parametrul R se cunoaște ca “rază de acțiune a potențialului”, astfel că regiunea $r > R$ evident trebuie să corespundă unei unde sferice libere (neperturbată). Pe de altă parte, forma cea mai generală de dezvoltare a unei unde plane în unde sferice este:

$$\langle \mathbf{x} | \psi^+ \rangle = \frac{1}{(2\pi)^{3/2}} \sum_l i^l (2l+1) A_l(r) P_l(\cos \theta) \quad (r > R) , \quad (23)$$

unde coeficientul A_l este prin definiție:

$$A_l = c_l^{(1)} h_l^{(1)}(kr) + c_l^{(2)} h_l^{(2)}(kr) , \quad (24)$$

și unde $h_l^{(1)}$ și $h_l^{(2)}$ sunt funcțiile Hankel sferice ale căror forme asimptotice sunt:

$$\begin{aligned} h_l^{(1)} &\sim \frac{e^{i(kr-l\pi/2)}}{ikr} \\ h_l^{(2)} &\sim -\frac{e^{-i(kr-l\pi/2)}}{ikr} . \end{aligned}$$

Examinînd forma asimptotică a expresiei (23) care este:

$$\frac{1}{(2\pi)^{3/2}} \sum_l (2l+1) P_l \left[\frac{e^{ikr}}{2ikr} - \frac{e^{-i(kr-l\pi)}}{2ikr} \right] , \quad (25)$$

se poate vedea că :

$$c_l^{(1)} = \frac{1}{2} e^{2i\delta_l} \quad c_l^{(2)} = \frac{1}{2} . \quad (26)$$

Aceasta permite scrierea funcției de undă radială pentru $r > R$ în forma:

$$A_l = e^{2i\delta_l} [\cos \delta_l j_l(kr) - \sin \delta_l n_l(kr)] . \quad (27)$$

Folosind ecuația anterioară putem evalua derivata sa logaritmică în $r=R$, i.e., exact la frontiera zonei de acțiune a potențialului:

$$\beta_l \equiv \left(\frac{r}{A_l} \frac{dA_l}{dr} \right)_{r=R} = kR \left[\frac{j_l' \cos \delta_l - n_l'(kR) \sin \delta_l}{j_l \cos \delta_l - n_l(kR) \sin \delta_l} \right]. \quad (28)$$

j_l' este derivata lui j_l în raport cu kr și evaluată în $r = R$. Alt rezultat important pe care îl putem obține cunoscând rezultatul anterior este șiftul de fază :

$$\tan \delta_l = \frac{kR j_l'(kR) - \beta_l j_l(kR)}{kR n_l'(kR) - \beta_l n_l(kR)}. \quad (29)$$

Pentru a obține soluția completa a problemei în acest caz este necesar să se facă calculele pentru $r < R$, adică , în interiorul razei de acțiune al potențialului. Pentru cazul unui potențial central, ecuația Schrödinger în trei dimensiuni este:

$$\frac{d^2 u_l}{dr^2} + \left(k^2 - \frac{2m}{\hbar^2} V - \frac{l(l+1)}{r^2} \right) u_l = 0, \quad (30)$$

unde $u_l = r A_l(r)$ este supusă condiției de frontieră $u_l |_{r=0} = 0$. Astfel, putem calcula derivata logaritmică, care în virtutea proprietății de continuitate a derivatei logaritmice (care este echivalentă cu continuitatea derivatei într-un punct de discontinuitate) ne conduce la:

$$\beta_l |_{interior} = \beta_l |_{exterior}. \quad (31)$$

Un exemplu: împrăștierea pe o sferă solidă

Să tratăm acum un caz specific. Fie un potențial definit prin:

$$V = \begin{cases} \infty & r < R \\ 0 & r > R. \end{cases} \quad (32)$$

Se știe că o particulă nu poate penetra într-o regiune unde potențialul este infinit, astfel că funcția de undă trebuie să se anuleze în $r = R$; din faptul că sfera este impenetrabilă rezultă deasemenea că :

$$A_l(r) |_{r=R} = 0. \quad (33)$$

Astfel, din ec. (27) avem:

$$\tan \delta_l = \frac{j_l(kR)}{n_l(kR)}. \quad (34)$$

Se vede că se poate calcula ușor șiftul de fază pentru orice l . Să considerăm acum cazul $l = 0$ (împrăștiere de undă s) pentru care avem:

$$\delta_l = -kR$$

și din ec. (27):

$$A_{l=0}(r) \sim \frac{\sin kr}{kr} \cos \delta_0 + \frac{\cos kr}{kr} \sin \delta_0 = \frac{1}{kr} \sin(kr + \delta_0) . \quad (35)$$

Vedem că față de mișcarea liberă există o contribuție adițională de o fază . Este clar că într-un caz mai general diferitele unde vor avea diferite șifturi de fază ceea ce provoacă o distorsie tranzitorie în pachetul de unde dispersat. Să studiem acum cazul energiilor mici, i.e., $kR \ll 1$. În acest caz, expresiile pentru funcțiile Bessel (folosite pentru a descrie funcțiile Hankel sferice) sunt următoarele:

$$j_l(kr) \sim \frac{(kr)^l}{(2l+1)!!} \quad (36)$$

$$n_l(kr) \sim -\frac{(2l-1)!!}{(kr)^{l+1}} \quad (37)$$

care ne conduc la:

$$\tan \delta_l = \frac{-(kR)^{2l+1}}{(2l+1)[(2l-1)!!]^2} . \quad (38)$$

Din această formulă putem să vedem că o contribuție apreciabilă la șiftul de fază este dat de undele cu $l = 0$ și cum $\delta_0 = -kR$ obținem pentru secțiunea eficace:

$$\sigma_{total} = \int \frac{d\sigma}{d\Omega} d\Omega = 4\pi R^2 . \quad (39)$$

De aici se ajunge la concluzia că secțiunea eficace de împrăștiere cuantică este de patru ori mai mare decât secțiunea eficace clasică și coincide cu aria totală a sferei dure. Pentru valori mari ale energiei pachetului incident se poate lucra cu ipoteza că toate valorile lui l pînă la o valoare maximă $l_{max} \sim kR$ contribuie la secțiunea eficace totală :

$$\sigma_{total} = \frac{4\pi}{k^2} \sum_{l=0}^{l \sim kR} (2l+1) \sin^2 \delta_l . \quad (40)$$

În acest fel, pe baza ec. (34) avem:

$$\sin^2 \delta_l = \frac{\tan^2 \delta_l}{1 + \tan^2 \delta_l} = \frac{[j_l(kR)]^2}{[j_l(kR)]^2 + [n_l(kR)]^2} \sim \sin^2 \left(kR - \frac{l\pi}{2} \right) , \quad (41)$$

unde am folosit expresiile:

$$j_l(kr) \sim \frac{1}{kr} \sin\left(kr - \frac{l\pi}{2}\right)$$

$$n_l(kr) \sim -\frac{1}{kr} \cos\left(kr - \frac{l\pi}{2}\right) .$$

Vedem că δ_l descrește cu $\frac{\pi}{2}$ de fiecare dată că l se incrementă cu o unitate, și deci este evident că se îndeplinește $\sin^2\delta_l + \sin^2\delta_{l+1} = 1$. Aproximînd $\sin^2\delta_l$ cu valoarea sa medie $\frac{1}{2}$, este simplu de obținut rezultatul pe baza sumei de numere impare:

$$\sigma_{total} = \frac{4\pi}{k^2}(kR)^2\frac{1}{2} = 2\pi R^2 . \quad (42)$$

Odată în plus rezultatul calculului bazat pe metodele de mecanică cuantică, deși asemănător, diferă totuși de rezultatul clasic. Să vedem care este originea factorului 2; mai întii vom separa ec. (15) în două părți:

$$f(\theta) = \frac{1}{2ik} \sum_{l=0}^{l=kR} (2l+1)e^{2i\delta_l} P_l \cos(\theta) + \frac{i}{2k} \sum_{l=0}^{l=kR} (2l+1)P_l \cos(\theta) = f_{\text{refl}} + f_{\text{umbră}} . \quad (43)$$

Evaluînd $\int |f_{\text{refl}}|^2 d\Omega$:

$$\int |f_{\text{refl}}|^2 d\Omega = \frac{2\pi}{4k^2} \sum_{l=0}^{l_{max}} \int_{-1}^1 (2l+1)^2 [P_l \cos(\theta)]^2 d(\cos\theta) = \frac{\pi l_{max}^2}{k^2} = \pi R^2 . \quad (44)$$

Analizînd acum $f_{\text{umbră}}$ pentru unghiuri mici avem:

$$f_{\text{umbră}} \sim \frac{i}{2k} \sum (2l+1)J_0(l\theta) \sim ik \int_0^R b J_0(kb\theta) db = \frac{iR J_1(kR\theta)}{\theta} . \quad (45)$$

Această formulă este destul de cunoscută în optică, fiind formula pentru difracția Fraunhofer; cu ajutorul schimbului de variabilă $z = kR\theta$ putem să evaluăm integrala $\int |f_{\text{umbră}}|^2 d\Omega$:

$$\int |f_{\text{umbră}}|^2 d\Omega \sim 2\pi R^2 \int_0^\infty \frac{[J_1(z)]^2}{z} dz \sim \pi R^2 . \quad (46)$$

În sfîrșit, neglijînd interferența între f_{refl} și $f_{\text{umbră}}$ (pentru că faza oscilează între $2\delta_{l+1} = 2\delta_l - \pi$). Se obține astfel rezultatul (42). Am etichetat unul dintre termeni cu titlul de umbră, pentru că originea sa se explică ușor

dacă se apelează la comportamentul ondulatoriu al particulei dispersate (din punct de vedere ‘fizic’ nu există nici o diferență între un pachet de undă și o particulă în acest caz). Originea sa constă în componentele pachetului de unde împrăștiate înapoi ceea ce produce o diferență de fază față de undele incidente ducând la o interferență distructivă .

Împrăștiere în câmp coulombian

Să considerăm acum un exemplu clasic și ceva mai complicat: împrăștierea de particule într-un câmp coulombian. Pentru acest caz ecuația Schrödinger este:

$$\left(-\frac{\hbar^2}{2m}\nabla^2 - \frac{Z_1 Z_2 e^2}{r} \right) \psi(\mathbf{r}) = E\psi(\mathbf{r}), \quad E > 0, \quad (47)$$

unde m este masa redusă a sistemului în interacție și evident $E > 0$ deoarece tratăm cazul dispersiei fără producere de nici un fel de stări legate. Ecuația anterioară este echivalentă următoarei expresii (pentru valori adecuate ale constantelor k și γ) :

$$\left(\nabla^2 + k^2 + \frac{2\gamma k}{r} \right) \psi(\mathbf{r}) = 0. \quad (48)$$

Dacă nu considerăm bariera centrifugală a potențialului efectiv (unde s) ne găsim în condițiile unei interacțiuni coulombiene pure și putem propune o soluție de forma:

$$\psi(\mathbf{r}) = e^{i\mathbf{k}\cdot\mathbf{r}}\chi(u), \quad (49)$$

cu

$$u = ikr(1 - \cos\theta) = ik(r - z) = ikw,$$

$$\mathbf{k} \cdot \mathbf{r} = kz.$$

$\psi(\mathbf{r})$ este soluția completă a ecuației Schrödinger și se poate aștepta un comportament asimptotic format din două părți, respectiv de undă plană $e^{i\mathbf{k}\cdot\mathbf{r}}$ și undă sferică $r^{-1}e^{ikr}$. Definind noi variabile:

$$z = z \quad w = r - z \quad \lambda = \phi,$$

cu ajutorul relațiilor anterioare, ec. (48) ia forma:

$$\left[u \frac{d^2}{du^2} + (1 - u) \frac{d}{du} - i\gamma \right] \chi(u) = 0. \quad (50)$$

Pentru a rezolva această ecuație, trebuie studiat mai întâi comportamentul său asimptotic, dar cum acesta a fost deja prezentat, funcția de undă asimptotică normalizată care se obține în final ca rezultat al tuturor calculelor anterioare este:

$$\psi_{\mathbf{k}}(\mathbf{r}) = \frac{1}{(2\pi)^{3/2}} \left(e^{i[\mathbf{k}\cdot\mathbf{r}-\gamma\ln(kr-\mathbf{k}\cdot\mathbf{r})]} + \frac{f_c(k, \theta)e^{i[kr+\gamma\ln 2kr]}}{r} \right). \quad (51)$$

După cum vedem, funcția de undă anterioară prezintă termeni care o fac să difere apreciabil de ec. (7). Acest lucru se datorează faptului că forța coulombiană este de rază infinită de acțiune. Efectuarea calculului exact pentru amplitudinea de împrăștiere coulombiană este destul de dificil de realizat. Aici vom da numai rezultatul final pentru funcția de undă normalizată :

$$\psi_{\mathbf{k}}(\mathbf{r}) = \frac{1}{(2\pi)^{3/2}} \left(e^{i[\mathbf{k}\cdot\mathbf{r}-\gamma\ln(kr-\mathbf{k}\cdot\mathbf{r})]} + \frac{g_1^*(\gamma)}{g_1(\gamma)} \frac{\gamma}{2k \sin(\theta/2)^2} \frac{e^{i[kr+\gamma\ln 2kr]}}{r} \right), \quad (52)$$

$$\text{unde } g_1(\gamma) = \frac{1}{\Gamma(1-i\gamma)}.$$

În ceea ce privește analiza de unde parțiale o vom reduce la prezentarea rezultatelor deja discutate într-un mod cât mai clar posibil. Mai întâi scriem funcția de undă (49) $\psi(\mathbf{r})$ în următoarea formă :

$$\psi(\mathbf{r}) = e^{i\mathbf{k}\cdot\mathbf{r}} \chi(u) = A e^{i\mathbf{k}\cdot\mathbf{r}} \int_C e^{ut} t^{i\gamma-1} (1-t)^{-i\gamma} dt, \quad (53)$$

unde A este o constantă de normalizare și toată partea integrală este transformata Laplace inversă a transformatei directe a ecuației (50). O formă convenabilă a ecuației anterioare este:

$$\psi(\mathbf{r}) = A \int_C e^{i\mathbf{k}\cdot\mathbf{r}} (1-t) e^{ikrt} (1-t) d(t, \gamma) dt \quad (54)$$

cu

$$d(t, \gamma) = t^{i\gamma-1} (1-t)^{-i\gamma-1}. \quad (55)$$

În cadrul analizei de unde parțiale procedăm la a scrie:

$$\psi(\mathbf{r}) = \sum_{l=0}^{\infty} (2l+1) i^l P_l(\cos \theta) A_l(kr), \quad (56)$$

unde

$$A_l(kr) = A \int_C e^{ikrt} j_l[kr(1-t)] (1-t) d(t, \gamma). \quad (57)$$

Aplicînd relațiile între funcțiile Bessel sferice și funcțiile Hankel sferice avem:

$$A_l(kr) = A_l^{(1)}(kr) + A_l^{(2)}(kr) . \quad (58)$$

Evaluarea acestor coeficienți nu o vom prezenta aici (fiind destul de complicată). Rezultă că :

$$A_l^{(1)}(kr) = 0 \quad (59)$$

$$A_l^{(2)}(kr) \sim -\frac{Ae^{\pi\gamma/2}}{2ikr} [2\pi ig_1(\gamma)] \left(e^{-i[kr-(l\pi/2)+\gamma \ln 2kr]} - e^{2i\eta_l(k)} e^{i[kr-(l\pi/2)+\gamma \ln 2kr]} \right) \quad (60)$$

unde

$$e^{2i\eta_l(k)} = \frac{\Gamma(1+l-i\gamma)}{\Gamma(1+l+i\gamma)} . \quad (61)$$

Calculul amplitudinii de împrăștiere coulombiană

Dacă efectuăm transformata Laplace a ec. (50) obținem:

$$\chi(u) = A \int_C e^{ut} t^{i\gamma-1} (1-t)^{-i\gamma} dt . \quad (62)$$

Conturul C merge de la $-\infty$ la ∞ și se închide pe deasupra axei reale. În aceste condiții, vedem că există doi poli: cînd $t = 0$ și $t = 1$. Cu schimbul de variabilă $s = ut$ obținem:

$$\chi(u) = A \int_{C_1} e^s s^{i\gamma-1} (u-s)^{-i\gamma} . \quad (63)$$

$\chi(u)$ trebuie să fie regulară în zero și într-adevăr:

$$\chi(0) = (-1)^{-i\gamma} A \int_{C_1} \frac{e^s}{s} ds . = (-1)^{-i\gamma} A 2\pi i \quad (64)$$

Luînd acum limita $u \rightarrow \infty$, să facem o deplasare infimizezimală (pentru a elimina faptul că polii sunt pe contur) și cu un schimb de variabilă astfel că $\frac{s}{u} = -\frac{(s_0 \pm i\varepsilon)}{i\kappa}$, vedem că această expresie tinde la zero cînd $u \rightarrow \infty$. Deci, putem să dezvoltăm $(u-s)$ în serie de puteri de $\frac{s}{u}$ pentru polul cu $s = 0$. Dar această dezvoltare nu este bună în $s = 1$, pentru că în acest caz $s = -s_0 + i(\kappa \pm \varepsilon)$ și de aici rezultă că $\frac{s}{u} = 1 - \frac{(s_0 \pm i\varepsilon)}{\kappa}$ tinde la 1 cînd

$\kappa \rightarrow \infty$; dar dacă facem schimbul de variabilă $s' = s - u$ această problemă se elimină :

$$\chi(u) = A \int_{C_2} \left([e^s s^{i\gamma-1} (u-s)^{-i\gamma}] ds + [e^{s'+u} (-s')^{i\gamma} (u+s')^{i\gamma-1}] ds' \right) . \quad (65)$$

Dezvoltînd seriile de puteri este ușor de calculat integralele precedente, dar în rezultat trebuie să se ia limita $\frac{s}{u} \rightarrow 0$ pentru a obține formele asimptotice corecte pentru împrăștierea coulombiană :

$$\begin{aligned} \chi(u) &\sim 2\pi i A \left[u^{-i\gamma} g_1(\gamma) - (-u)^{i\gamma-1} e^u g_2(\gamma) \right] \\ 2\pi g_1(\gamma) &= i \int_{C_2} e^s s^{i\gamma-1} ds \\ 2\pi g_2(\gamma) &= i \int_{C_2} e^s s^{-i\gamma} ds . \end{aligned} \quad (66)$$

După acest șir de schimbări de variabile, ne întoarcem la s -ul original pentru a obține:

$$\begin{aligned} (u^*)^{i\gamma} &= (-i)^{i\gamma} [k(r-z)]^{i\gamma} = e^{\gamma\pi/2} e^{i\gamma \ln k(r-z)} \\ (u)^{-i\gamma} &= (i)^{-i\gamma} [k(r-z)]^{-i\gamma} = e^{\gamma\pi/2} e^{-i\gamma \ln k(r-z)} . \end{aligned} \quad (67)$$

Calculul lui χ odată efectuat, este echivalent cu a avea $\psi_{\mathbf{k}}(\mathbf{r})$ pornind de la (49).

Aproximația eikonală

Vom face o scurtă expoziție a aproximației eikonale a cărei filosofie este aceeași cu cea care se face cînd se trece de la optica ondulatorie la optica geometrică și de aceea este corectă cînd potențialul variază puțin pe distanțe comparabile cu lungimea de undă a pachetului de unde dispersat, adică , pentru cazul $E \gg |V|$. Astfel această aproximație poate fi considerată ca o aproximație cuasiclasică . Mai întîi propunem că funcția de undă cuasiclasică are forma binecunoscută :

$$\psi \sim e^{iS(\mathbf{r})/\hbar} , \quad (68)$$

unde S satisface ecuația Hamilton-Jacobi, cu soluția:

$$\frac{S}{\hbar} = \int_{-\infty}^z \left[k^2 - \frac{2m}{\hbar^2} V(\sqrt{b^2 + z'^2}) \right]^{1/2} dz' + \text{constantă} . \quad (69)$$

Constanta aditivă se alege în așa fel încît:

$$\frac{S}{\hbar} \rightarrow kz \quad \text{pentru} \quad V \rightarrow 0 . \quad (70)$$

Termenul care multiplică potențialul se poate interpreta ca un schimb de fază al pachetului de unde, avînd următoarea formă explicită

$$\Delta(b) \equiv \frac{-m}{2k\hbar^2} \int_{-\infty}^{\infty} V(\sqrt{b^2 + z^2}) dz . \quad (71)$$

În cadrul metodei de unde parțiale această aproximație are următoarea aplicație. Știm că aproximația eikonală este corectă la energii înalte, unde există multe unde parțiale care contribuie la dispersie. Astfel putem considera l ca o variabilă continuă și prin analogie cu mecanica clasică punem $l = bk$. În plus, cum deja am menționat $l_{max} = kR$, care substituit în expresia (15) conduce la:

$$f(\theta) = -ik \int b J_0(kb\theta) [e^{2i\Delta(b)} - 1] db . \quad (72)$$

8P. Probleme

Problema 8.1

Să se obțină deplasarea de fază (șiftul) și secțiunea diferențială de împrăștiere la unghiuri mici pentru un centru de împrăștiere de potențial $U(r) = \frac{\alpha}{r^2}$. Să se țină cont de faptul că în împrăștierea de unghiuri mici principala contribuție o dau undele parțiale cu l mari.

Soluție:

Rezolvînd ecuația

$$R_l'' + \left[k^2 - \frac{l(l+1)}{r^2} - \frac{2m\alpha}{\hbar^2 r^2} \right] = 0$$

cu condițiile de frontieră $R_l(0) = 0$, $R_l(\infty) = N$, unde N este un număr finit, obținem

$$R_l(r) = A\sqrt{r} I_\lambda(kr) ,$$

unde $\lambda = \left[\left(l + \frac{1}{2} \right)^2 + \frac{2m\alpha}{\hbar^2} \right]^{1/2}$ și I este prima funcția Bessel modificată .

Pentru determinarea lui δ_l se folosește expresia asimptotică a lui I_λ :

$$I_\lambda(kr) \propto \left(\frac{2}{\pi kr} \right)^{1/2} \sin\left(kr - \frac{\lambda\pi}{2} + \frac{\pi}{4} \right) .$$

Prin urmare

$$\delta_l = -\frac{\pi}{2} \left(\lambda - l - \frac{1}{2} \right) = -\frac{\pi}{2} \left(\left[\left(l + \frac{1}{2} \right)^2 + \frac{2m\alpha}{\hbar^2} \right]^{1/2} - \left(l + \frac{1}{2} \right) \right) .$$

Condiția l mari de care se vorbește în problemă ne conduce la:

$$\delta_l = -\frac{\pi m\alpha}{(2l+1)\hbar^2} ,$$

de unde se vede că $|\delta_l| \ll 1$ pentru l mari.

Din expresia generală a amplitudinii de împrăștiere

$$f(\theta) = \frac{1}{2ik} \sum_{l=0}^{\infty} (2l+1) P_l(\cos \theta) (e^{2i\delta_l} - 1) ,$$

la unghiuri mici $e^{2i\delta_l} \approx 1 + 2i\delta_l$ și

$$\sum_{l=0}^{\infty} P_l(\cos \theta) = \frac{1}{2 \sin \frac{\theta}{2}} .$$

Astfel:

$$f(\theta) = -\frac{\pi\alpha m}{k\hbar^2} \frac{1}{2 \sin \frac{\theta}{2}} .$$

Prin urmare:

$$\frac{d\sigma}{d\theta} = \frac{\pi^3 \alpha^2 m}{2\hbar^2 E} \operatorname{ctg} \frac{\theta}{2} .$$